

بِسْمِ اللَّهِ الرَّحْمَنِ الرَّحِيمِ  
وَأَشْرِكُوا بِرَبِّكَ  
الَّذِي قَدَّمَ ذِكْرَكَ  
لِيَذَّبَ عَنْكَ  
الغَيْبَ الَّذِي  
رَأَيْتَ إِذْ  
أَخْرَجْتَ  
الْحَدِيثَ  
أَلَمْ نَقُومِ  
لَكَ الْوَسِيْلَةَ  
إِذْ أَخْرَجْنَاكَ  
مِنَ الْمُؤْمِنِينَ  
وَإِذْ نَجَّيْنَاكَ  
مِنَ الْغَمِّ  
وَإِذْ جَعَلْنَا  
الْبَدْرَ وَالشُّعْرَىٰ  
أَيَّامًا مَّعْدُودَاتٍ  
وَلَئِنْ سَأَلْتَهُ  
أَنْ نُّعِيدَ إِلَيْكَ  
الَّذِي خَلَقْنَا  
أَوَّلَ مَرَّةٍ  
لَقَدْ نَجَّيْنَاكَ  
إِذْ خُلِقْتَ  
وَلَئِنْ سَأَلْتَهُ  
أَنْ يَرْجِعَ  
إِلَيْكَ الْآيَاتِ  
لَقَدْ جَعَلْنَا  
الْآيَاتِ لِقَوْمٍ  
كَافِرِينَ



دانشکده مهندسی مکانیک  
گروه حرارت و سیالات

پایان نامه جهت اخذ درجه کارشناسی ارشد

# بررسی عددی جریان سیال غیر نیوتنی در تبدیلات تدریجی واگرا

دانشجو:

**امین شهبانی ظهیری**

استاد راهنما:

**دکتر محمد محسن شاه مردان**

استاد مشاور:

**دکتر محمود نوروزی**

شهریور ماه ۱۳۹۱

دانشکده : مکانیک

گروه : تبدیل انرژی

پایان نامه کارشناسی ارشد آقای امین شهبانی ظهیری

تحت عنوان : بررسی عددی جریان سیال غیر نیوتنی در تبدیلات تدریجی واگرا

در تاریخ ۱۳۹۱/۶/۳۰ توسط کمیته تخصصی زیر جهت اخذ مدرک کارشناسی ارشد مورد ارزیابی و با درجه بسیار خوب مورد پذیرش قرار گرفت.

امضاء	اساتید مشاور	امضاء	اساتید راهنما
	آقای دکتر محمود نوروزی		آقای دکتر محمد محسن شاه مردان

امضاء	نماینده تحصیلات تکمیلی	امضاء	اساتید داور
	آقای دکتر مجتبی قطعی		آقای دکتر محمد حسن کیهانی
			آقای دکتر علی جباری مقدم

تقدیم بہ

محضر مبارک حضرت ولی عصر (عج)

## تقدیر و تشکر :

آنچه پدید آمده است حاصل تلاش عده زیادیست.  
پیش از همه زحمات پدر و مادر مهربان و فداکارم  
و ایجاد انگیزه و دلداری توسط برادر و خواهر خوبم،  
زمینه ساز نوشته حاضر بوده اند، که صمیمانه از آنها سپاسگزارم.  
همچنین راهنمایی های ارزنده استاد گرانقدر، جناب آقای دکتر شاه مردان  
در تمام مراحل پروژه شایسته قدردانی فراوان است.  
همچنین از کمک های بی دریغ آقای دکتر نوروزی تشکر می نمایم.  
در پایان از تمام اساتید گرانقدر دانشکده مکانیک دانشگاه صنعتی شاهرود تشکر و  
قدردانی نموده، توفیق و عزت همه را از خداوند متعال مسئلت می نمایم.

امین شهبانی ظهیر

## تعهد نامه

اینجانب **امین شهبانی ظهیری** دانشجوی دوره کارشناسی ارشد رشته مهندسی مکانیک - گرایش تبدیلی انرژی دانشکده مهندسی مکانیک دانشگاه صنعتی شاهرود نویسنده پایانی نامه با عنوان "**بررسی عددی جریان سیال غیر نیوتنی در تبدیلات تدریجی واگرا**" تحت راهنمایی **دکتر محمد محسن شاه مردان و دکتر محمود نوروزی** متعهد می شوم:

- تحقیقات در این پایان نامه توسط اینجانب انجام شده است و از صحت و اصالت برخوردار است.
- در استفاده از نتایج پژوهش های محققان دیگر به مرجع مورد استفاده استناد شده است.
- مطالب مندرج در پایان نامه تاکنون توسط خود یا فرد دیگری برای دریافت هیچ نوع مدرک یا امتیازی در هیچ جا ارائه نشده است.
- کلیه حقوق معنوی این اثر متعلق به دانشگاه صنعتی شاهرود می باشد و مقالات مستخرج با نام «دانشگاه صنعتی شاهرود» و یا «Shahrood University of Technology» به چاپ خواهد رسید.
- حقوق معنوی تمام افرادی که در به دست آمدن نتایج اصلی پایان نامه تأثیرگذار بوده اند در مقالات مستخرج از پایان نامه رعایت می گردد.
- در کلیه مراحل انجام این پایان نامه، در مواردی که از موجود زنده (یا بافتهای آنها) استفاده شده است، ضوابط و اصول اخلاقی رعایت شده است.
- در کلیه مراحل انجام این پایان نامه، در مواردی که به حوزه اطلاعات شخصی افراد دسترسی یافته یا استفاده شده است اصل رازداری، ضوابط و اصول اخلاق انسانی رعایت شده است.

### تاریخ

### امضای دانشجو

### مالکیت نتایج و حق نشر

- کلیه حقوق معنوی این اثر و محصولات آن (مقالات مستخرج، کتاب، برنامه های رایانه ای، نرم افزارها و تجهیزات ساخته شده است) متعلق به دانشگاه صنعتی شاهرود می باشد. این مطلب باید به نحو مقتضی در تولیدات علمی مربوطه ذکر شود.
- استفاده از اطلاعات و نتایج موجود در پایان نامه بدون ذکر مرجع مجاز نمی باشد.

## مجوز بهره‌برداری از پایان‌نامه

بهره‌برداری از این پایان‌نامه در چهارچوب مقررات کتابخانه و با توجه به محدودیتی

که توسط استاد راهنما به شرح زیر تعیین می‌شود، بلامانع است:

بهره‌برداری از این پایان‌نامه/ رساله برای همگان بلامانع است.

بهره‌برداری از این پایان‌نامه/ رساله با اخذ مجوز از استاد راهنما، بلامانع است.

بهره‌برداری از این پایان‌نامه/ رساله تا تاریخ ..... ممنوع است.

نام استاد یا اساتید راهنما:

تاریخ:

امضا:

## چکیده

جریان‌های فروسوتی در کانالهای انبساطی از جمله مسائل مهم و اساسی در مکانیک سیالات به شمار می‌آیند که دارای کاربردهای فراوانی در شیپوره‌ها، تبدیلات لوله‌کشی، مبدل‌های حرارتی، پر شدن قالب‌های ریخته‌گری، شکل‌دهی فلزات، و ... می‌باشد. از اینرو در طی چند دهه اخیر بسیاری از محققان به بررسی تحلیلی، تجربی و عددی این جریان‌ها پرداخته‌اند. بر خلاف تحقیقات مشابه پیشین که همگی به مطالعه جریان در کانال‌های دارای انبساط ناگهانی (زاویه ۹۰ درجه) پرداخته‌اند، در پژوهش حاضر جریان در کانال دارای انبساط تدریجی در زوایای مختلف بررسی شده که این امر از مهمترین نوآوری آن به شمار می‌آید. در مطالعه حاضر نسبت انبساط ۱:۳ و زوایای انبساط ۳۰، ۴۵، ۶۰ و ۹۰ درجه در نظر گرفته شده است. هدف اصلی از این پژوهش شناخت بهتر اثرات مقدار زوایا، عدد رینولدز و عدد وایزنبرگ بر ساختار و الگوی جریان در زوایای مختلف می‌باشد. به منظور مدل‌سازی این جریان، از نرم‌افزار منبع‌باز OpenFOAM که یک جعبه ابزار دینامیک سیالات محاسباتی (CFD) می‌باشد، استفاده شده است.

ابتدا معادلات پیوستگی و مومنتوم به فرم کلی در مختصات کارترین بیان شده و سپس روابط کلی معادله ساختاری سیال ویسکوالاستیک (مدل MPTT) و توابع ویسکومتریکی لزجت ارائه شده است. معادلات حاکم در این تحقیق، با استفاده از روش حجم محدود به صورت صریح گسسته‌سازی شده‌اند. جهت حل پیمایش زمانی مجازی، از الگوریتم پیزو در حالت گذرا استفاده شده است تا پارامترهای جریان در هر گام زمانی پایدار و ثابت شوند و بعد گام زمانی افزایش یابد تا همگرایی پارامترها به جواب‌های صحیح و منطقی حاصل شود. بررسی دقت و صحت نتایج حل عددی بر اساس نتایج انبساط ناگهانی (با زاویه ۹۰ درجه) صورت گرفته است. در انتها برای جریان سیال نیوتنی، تمام مشخصه‌های طولی و عرضی گردابه‌ها در مجاورت دیوار



بالا و پایین کانال به صورت منظم و دسته‌بندی شده در جداول فصل نتایج آورده شده است. همچنین نتایج حاصل از بررسی عددی برای جریان سیال نیوتنی و سیال ویسکوالاستیک به صورت خطوط جریان، کانتور سرعت و سرعت روی خط مرکزی کانال ترسیم شده و نتایج حاصل از بررسی آن به طور مفصل در فصل آخر آورده شده است.

**واژه‌های کلیدی:** بررسی عددی، سیال غیرنیوتنی، جریان سیال، تبدیل واگرا

# فهرست

عنوان

صفحه

## فصل اول ( مقدمه )

۱-۱- مقدمه	۲
۲-۱- طبقه بندی سیالات	۴
۱-۲-۱- سیالات غیرنیوتنی مستقل از زمان	۴
۲-۲-۱- سیالات غیرنیوتنی تابع زمان	۶
۳-۱- سیالات ویسکوالاستیک	۷
۴-۱- اندازه گیری خواص	۹
۱-۴-۱- تست رهایی از تنش	۱۰
۲-۴-۱- تست خزش	۱۰
۳-۴-۱- تست ریکویل	۱۰
۴-۴-۱- تست نوسان	۱۱
۵-۴-۱- اندازه گیری ویسکوزیته	۱۱
۶-۴-۱- تعیین تنش های نرمال	۱۱
۵-۱- پارامترهای مهم در جریان سیالات ویسکوالاستیک	۱۲
۶-۱- معادلات متشکله در سیالات ویسکوالاستیک	۱۴
۱-۶-۱- مدل‌های ویسکوالاستیک خطی	۱۶
۲-۶-۱- مدل‌های ویسکوالاستیک غیر خطی	۱۹

## فصل دوم ( پیشینه تحقیق )

۱-۲- مقدمه	۳۲
۲-۲- جریان سیال در تبدیل واگرای صفحه‌ای	۳۲
۳-۲- جریان سیال در تبدیل واگرای متقارن محوری	۴۴
۴-۲- تحقیق حاضر	۵۰
۵-۲- جنبه‌های نوآوری	۵۲
۶-۲- ساختار کلی	۵۳

## فصل سوم ( معادلات حاکم )

۱-۳- مقدمه	۵۵
۲-۳- معادلات حاکم بر جریان	۵۵
۳-۳- فرضیات مساله	۵۷

۵۸	.....هندسه مسئله	۴-۳
۵۹	.....شرایط مرزی و شرایط اولیه	۵-۳
۵۹	.....توابع ویسکومتریک	۶-۳

### فصل چهارم ( روش حل عددی )

۶۴	.....مقدمه	۱-۴
۶۵	.....شبکه بندی مناسب دامنه محاسباتی	۲-۴
۶۶	.....گسسته سازی معادلات حاکم	۳-۴
۶۸	.....نرم افزار OpenFOAM	۴-۴
۷۵	.....الگوریتم حل در نرم افزار OpenFOAM	۵-۴
۷۷	.....فرایند کلی حل در نرم افزار OpenFOAM	۶-۴
۷۸	.....۱-۶-۴ پیش پردازش	۱-۶-۴
۷۸	.....۲-۶-۴ پردازش	۲-۶-۴
۷۹	.....۳-۶-۴ پس پردازش	۳-۶-۴
۷۹	.....۷- معرفی حل گر مورد استفاده در نرم افزار OpenFOAM	۷-۴
۸۳	.....۸- بررسی ساختار و مدل حل	۸-۴
۸۴	.....۱-۸-۴ اعمال شرایط اولیه و مرزی پارامترها	۱-۸-۴
۸۸	.....۲-۸-۴ تعریف شبکه و مقادیر ثابت مسأله	۲-۸-۴
۹۱	.....۳-۸-۴ کنترل فرآیند حل عددی	۳-۸-۴

### فصل پنجم ( نتایج )

۱۰۰	.....مقدمه	۱-۵
۱۰۰	.....بررسی استقلال حل از شبکه محاسباتی	۲-۵
۱۰۳	.....بررسی صحت نتایج	۳-۵
۱۰۷	.....بحث در نتایج	۴-۵
۱۲۷	.....جمع بندی	۵-۵
۱۳۰	.....پیشنهادات	۶-۵

منابع و مراجع

## فهرست شکل‌ها

عنوان	صفحه
شکل (۱-۱) منحنی های تنش برشی در برابر نرخ برش برای سیالات مستقل از زمان [۳].....	۶
شکل (۲-۱) منحنی های تنش برشی در برابر نرخ برش برای سیالات غیر نیوتنی تابعی از زمان [۳] ....	۷
شکل (۳-۱) دیاگرام پیپکین [۴] .....	۱۳
شکل (۴-۱) مدل ماکسول [۴] .....	۱۷
شکل (۵-۱) مدل کلوین-ویت [۴] .....	۱۸
شکل (۶-۱) مدل برگرز [۴] .....	۱۸
شکل (۷-۱) رابطه بین معادلات متشکله [۲] .....	۳۱
شکل (۱-۲) تغییرات فشار بدون بعد در راستای محور مرکزی [۴۸].....	۳۸
شکل (۲-۲) تغییرات طول گردابه با رینولدز تعمیم یافته برای سیال رقیقشونده [۴۸].....	۳۹
شکل (۳-۲) تغییرات طول گردابه نسبت به رینولدز برای سیال نیوتنی، کوآدراتیک و توانی [۵۲].....	۴۱
شکل (۴-۲) مقایسه خطوط جریان برای سیال نیوتنی و ویسکوالاستیک (با مدل UCM) [۵۴].....	۴۲
شکل (۵-۲) اثر افزایش رینولدز بر شاخه‌های شدن جریان سیال ویسکوالاستیک [۳۳].....	۴۳
شکل (۶-۲) خطوط جریان سیال ویسکوالاستیک برای $Re=40$ [۵۶].....	۴۴
شکل (۷-۲) تنش برشی روی دیواره دیفیوزر در اعداد ریتولدز مختلف برای $d=0.25$ [۵۸].....	۴۷
شکل (۸-۲) سرعت روی خط مرکزی دیفیوزر در اعداد ریتولدز مختلف برای $d=0.25$ [۵۸].....	۴۷
شکل (۹-۲) سرعت روی خط مرکزی دیفیوزر در ارتفاع های مختلف بخش انبساطی برای $Re=1200$ [۵۸].....	۴۸
شکل (۱۰-۲) ارزیابی ضریب افت برگشت ناپذیر در اعداد رینولدز مختلف و مقایسه با ضریب اصطکاک داری در زاویه $0/5$ درجه [۵۹].....	۴۸
شکل (۱۱-۲) شکل شماتیک هندسه مسئله .....	۵۱
شکل (۱-۴) ساختار حل گر viscoelasticFluidFoam .....	۸۰
شکل (۲-۴) ساختار پوشه Giesekus و فایل های موجود در هریک از پوشه ها .....	۸۵

# فهرست جداول

عنوان	صفحه
جدول (۱-۴) عملیات ریاضی در نرم‌افزار OpenFOAM [۷۵].....	۷۰
جدول (۲-۴) تعریف توابع در نرم‌افزار OpenFOAM [۷۵].....	۷۱
جدول (۳-۴) عملیات تانسوری بر روی تانسور مرتبه دو در نرم‌افزار OpenFOAM [۷۵].....	۷۲
جدول (۴-۴) تعریف عملگرهای دیفرانسیلی در نرم‌افزار OpenFOAM [۷۵].....	۷۳
جدول (۵-۴) تعریف عملگرهای دیفرانسیلی در نرم‌افزار OpenFOAM [۷۵].....	۹۲
جدول (۶-۴) انواع روش‌های حل دستگاه معادلات خطی [۷۵].....	۹۵
جدول (۱-۵) تعداد سلول سه نوع شبکه برای زاویه ۳۰ درجه.....	۱۰۱
جدول (۲-۵) تعداد سلول سه نوع شبکه برای زاویه ۴۵ درجه.....	۱۰۱
جدول (۳-۵) مقایسه طول گردابه‌ها در ۳ نوع شبکه برای زاویه ۴۵ درجه همراه با درصد خطای نسبی.....	۱۰۲
جدول (۴-۵) مقایسه طول گردابه‌ها با نتایج البیورا [۳۳].....	۱۰۴
جدول (۵-۵) اعداد رینولدز بحرانی اول و دوم برای جریان سیال نیوتنی.....	۱۱۴
جدول (۶-۵) مشخصات طولی گردابه‌ها در مجاورت دیوار پایین کانال برای سیال نیوتنی در زاویه ۳۰ درجه.....	۱۲۱
جدول (۷-۵) مشخصات طولی گردابه‌ها در مجاورت دیوار بالای کانال برای سیال نیوتنی در زاویه ۳۰ درجه.....	۱۲۱
جدول (۸-۵) مشخصات عرضی گردابه‌ها در مجاورت دیوار پایین کانال برای سیال نیوتنی در زاویه ۳۰ درجه.....	۱۲۲
جدول (۹-۵) مشخصات عرضی گردابه‌ها در مجاورت دیوار بالای کانال برای سیال نیوتنی در زاویه ۳۰ درجه.....	۱۲۲
جدول (۱۰-۵) مشخصات طولی گردابه‌ها در مجاورت دیوار پایین کانال برای سیال نیوتنی در زاویه ۴۵ درجه.....	۱۲۳
جدول (۱۱-۵) مشخصات طولی گردابه‌ها در مجاورت دیوار بالای کانال برای سیال نیوتنی در زاویه ۴۵ درجه.....	۱۲۳
جدول (۱۲-۵) مشخصات عرضی گردابه‌ها در مجاورت دیوار پایین کانال برای سیال نیوتنی در زاویه ۴۵ درجه.....	۱۲۴
جدول (۱۳-۵) مشخصات عرضی گردابه‌ها در مجاورت دیوار بالای کانال برای سیال نیوتنی در زاویه ۴۵ درجه.....	۱۲۴

- سیال نیوتنی در زاویه ۶۰ درجه ..... ۱۲۵
- جدول (۱۵-۵) مشخصات طولی گردابه ها در مجاورت دیوار بالای کانال برای
- سیال نیوتنی در زاویه ۶۰ درجه ..... ۱۲۵
- جدول (۱۶-۵) مشخصات عرضی گردابه ها در مجاورت دیوار پایین کانال برای
- سیال نیوتنی در زاویه ۶۰ درجه ..... ۱۲۶
- جدول (۱۷-۵) مشخصات عرضی گردابه ها در مجاورت دیوار بالای کانال برای
- سیال نیوتنی در زاویه ۶۰ درجه ..... ۱۲۶

# ۱- فصل اول

## مقدمه

## ۱-۱- مقدمه

شاید بتوان سرآغاز دانش مکانیک سیالات نوین را به اوایل قرن هفدهم نسبت داد. در آن تاریخ، همزمان با تولد مکانیک نیوتنی و حساب دیفرانسیل و انتگرال، نیوتن مدلی برای قانون پایه حاکم بر رفتار سینتیکی سیالات پیشنهاد نمود و سیالاتی که از این قانون تبعیت می‌کردند به سیالات نیوتنی معروف شدند. سیال نیوتنی، ماده‌ای است که در آن تنش برشی بدون وجود تنش تسلیم (صفر بودن تنش برشی در نرخ برش صفر) تنها تابعی خطی از نرخ برش بوده و در این ماده نسبت تنش برشی به نرخ برش، ویسکوزیته نامیده می‌شود. در اواخر قرن نوزدهم، دانش مکانیک سیالات شروع به توسعه در دو جهت متفاوت نمود. در یک جهت تئوری هیدرودینامیک قرار داشت که با استفاده از دیدگاه اوپلری سعی بر ارائه روابط جریان برای یک سیال غیر ویسکوز داشت. از این تئوری روابط تحلیلی متنوعی برای جریان سیالات غیرچسبنده (بدون اصطکاک) در هندسه‌های مختلف ارائه گردید. روابط بدست آمده از این تئوری در تعارض آشکار با مشاهدات تجربی قرار داشت و لذا این تئوری در عمل مورد استفاده چندانی قرار نگرفت. لذا با استفاده از روش تجربی به حل این مسائل اقدام نمودند و دانشی که بر مبنای این مشاهدات تجربی توسعه یافت به هیدرولیک معروف شد. در آغاز قرن بیستم، پранتل نشان داد که چگونه می‌توان این دو شاخه از مکانیک سیالات را به یکدیگر پیوند داد. در سال ۱۹۰۴ وی نظریه لایه مرزی را مطرح نمود و طی آزمایشات بسیار ساده‌ای نشان داد که در جریان حول یک جسم، اثر ویسکوزیته و اصطکاک سیال در یک لایه بسیار نازک نزدیک سطوح قابل ملاحظه است، اما در ناحیه دور از جسم می‌توان از اثر ویسکوزیته صرف‌نظر نمود. این نظریه، پایه اصلی مکانیک سیالات لزوج محسوب می‌شود که از آن زمان تاکنون موضوع بسیاری از مطالعات تجربی، آزمایشگاهی و تحلیلی بوده است [۱]. با رشد صنایع مختلف، مهندسان و دانشمندان با سیالاتی روبرو شدند که رفتار برشی آنها با استفاده از مدل سیال نیوتنی قابل توصیف نبود. دانشمندان دریافتند که مدل نیوتنی برای گازها و مایعات دارای وزن مولکولی کمتر از ۱۰۰۰ با دقت بسیار مناسبی قابل به کار گیری



است؛ اما این مدل برای مواد درشت مولکول چندان دقیق نیست و جریان برخی محلول ها و مذاب های پلیمری رفتارهای متفاوت و بعضاً متضادی را نسبت به سیالات نیوتنی نشان می دهند [۲].

نیاز به مطالعه جریان این سیالات منجر به پیدایش شاخه جدیدی از علم به نام رئولوژی<sup>۱</sup> گردید. دانش رئولوژی در سالهای بین جنگ جهانی دوم توسعه یافت و انگیزه اصلی از رشد این دانش عمدتاً به مسائل عملی مربوط می شد. به مرور زمان دانش رئولوژی در جنبه های مختلف صنعت گسترش یافت. به طوری که امروزه کاربرد و گسترش آن را در صنایعی نظیر صنعت پلیمر، صنعت نفت و پتروشیمی، مواد غذایی، علوم نظامی، صنایع شیمیایی سبک و سنگین، تولید انواع لاستیک، رنگ، رزین و مواد پوشش دهنده (نظیر اپوکسی و ...)، تولید مواد آرایشی و بهداشتی، شوینده ها و صابونها، تولید دارو (انواع سوسپانسیونها و امولوسیونها)، صنعت چاپ، تولید کاغذ، تولید سیمان، صنایع هسته ای، فرآیند های تخمیری، تولید سیمان، تولید مواد روانکار حفاری و ... شاهد هستیم.

با توجه به وسعت صنایعی که با سیالات غیرنیوتنی روبرو هستند، مشخص است که شناخت علم رئولوژی از ضرورتی اجتناب ناپذیری برخوردار است. به دلیل وجود پیچیدگی و تنوع خانواده های سیالات غیرنیوتنی، این شاخه از علم هنوز رشد چندان نیافته و لذا زمینه های فراوانی جهت مطالعه و تحقیق در علم رئولوژی وجود دارد.

در این فصل، قصد داریم تا مروری کوتاه بر مکانیک سیالات غیرنیوتنی مخصوصاً سیالات ویسکوالاستیک را داشته باشیم. به طوری که ابتدا تفاوت سیالات نیوتنی با سیالات غیرنیوتنی را تشریح کرده و سپس معادلات ساختاری سیالات ویسکوالاستیک را به صورت اجمالی مورد بررسی قرار می دهیم.

## ۱-۲- طبقه‌بندی سیالات

سیالی که دارای تنش تسلیم نباشد و رابطه تنش برشی با نرخ برش به صورت خطی باشد را سیال نیوتنی می‌نامند. برای سیال نیوتنی نسبت تغییرات تنش به نرخ برش همواره مقداری ثابت می‌باشد، که این مقدار ثابت را لزجت (ویسکوزیته) نامگذاری می‌کنند. به سیالی که یکی از شرایط سیال نیوتنی را نداشته باشد، سیال غیرنیوتنی می‌گویند. این سیالات به سه گروه زیر تقسیم‌بندی می‌شوند [۱]:

- سیالات غیرنیوتنی مستقل از زمان
- سیالات غیرنیوتنی وابسته به زمان
- سیالات ویسکوالاستیک

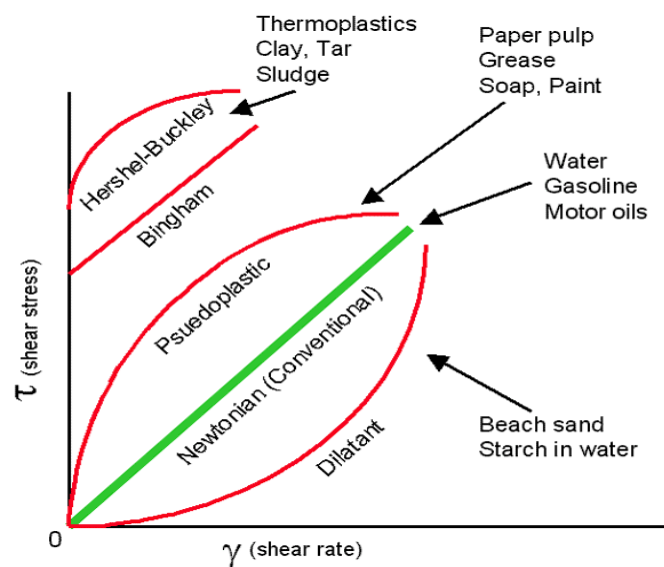
در ادامه هر یک از این گروه‌ها معرفی شده و در مورد خواص این سیالات بحث می‌شود.

### ۱-۲-۱- سیالات غیرنیوتنی مستقل از زمان

سیالات غیرنیوتنی مستقل از زمان، سیالاتی هستند که در آنها ویسکوزیته تابعی از نرخ برش می‌باشد. مطابق شکل (۱-۱) این گروه از سیالات نیز در حالت‌های خاص دارای تنش تسلیم می‌باشند. منظور از تنش تسلیم این می‌باشد که تا تنش سیال به یک حد مشخصی نرسد سیال نمی‌تواند شروع به سیلان کند. برای نمونه خمیر دندان مثال مناسبی می‌باشد. به طوری که اگر میزان فشردگی پوسته به یک حد مشخص نرسد، خمیر دندان نمی‌تواند خارج شود.

در واقع این تنش تسلیم مربوط به ساختمان مواد می‌شود. یعنی ساختمان مواد بعد از تنش تسلیم شکسته شده و ماده اجازه حرکت برشی را پیدا می‌کند. معروف‌ترین این دسته از مواد، پلاستیک بینگهام می‌باشد. در واقع پلاستیک بینگهام یک سیال نیوتنی دارای تنش تسلیم است (ویسکوزیته

آن ثابت است). سیالاتی که فاقد تنش تسلیم هستند، به دو دسته سیالات شبه پلاستیک<sup>۱</sup> و سیالات دایلاتنت<sup>۲</sup> تقسیم می شوند. این سیالات بصورت سیالات نیوتنی تعمیم یافته<sup>۳</sup> نیز نامیده می شوند. اما پرکاربردترین و ساده ترین مدل حاکم بر آنها مدل پاورلا<sup>۴</sup> است که در آن تنش برشی تابعی از توان  $n$  ام نرخ برش است [۱]. یکی از اشکالات این مدل، پیش بینی ویسکوزیته صفر در نرخ برش بی نهایت و ویسکوزیته بی نهایت در نرخ برش صفر برای سیالات شبه پلاستیک می باشد. از جمله مدل هایی که مشکل مدل پاورلو را ندارند، می توان به مدل کراس<sup>۵</sup>، مدل کاریو-یاسودا<sup>۶</sup> و راینر-فیلیپوف<sup>۷</sup> اشاره نمود [۲]. در سیالات شبه پلاستیک، ویسکوزیته در نرخ های برش کوچک و بسیار زیاد تقریباً ثابت می باشد. که آنها را به ترتیب با  $(\eta_0)$  و  $(\eta_\infty)$  نشان می دهند. چنانچه از مدل پاورلا برای سیالات شبه پلاستیک استفاده شود، مقدار  $n$  کمتر از یک و اگر برای سیال دایلاتنت باشد مقدار  $n$  بیشتر از یک می باشد [۲]. شکل (۱-۱) رفتار تنش در برابر نرخ برش را برای انواع سیالات نمایش می دهد.



1. Pseudoplastic
2. Dilatant
3. Generalized Newtonian fluids
4. Power-Law
5. Cross
6. Carreau-Yasuda
7. Reiner-Philippoff

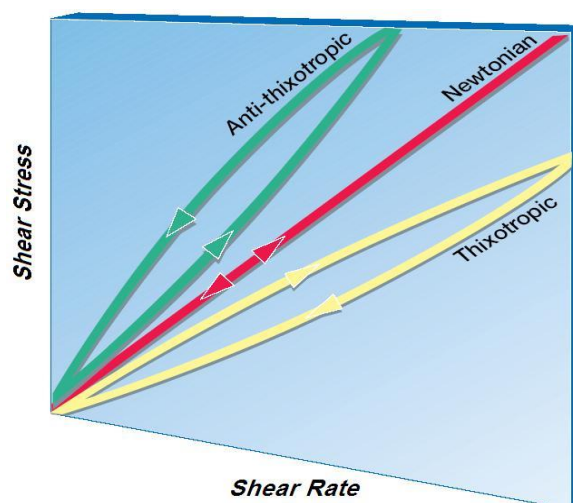
شکل (۱-۱) منحنی های تنش برشی در برابر نرخ برش برای سیالات مستقل از زمان [۳]

### ۱-۲-۲- سیالات غیر نیوتنی تابع زمان

در این دسته از سیالات غیر نیوتنی، ویسکوزیته تابعی از نرخ برش و زمان می باشد. به طوری که در نرخ برش ثابت، ساختمان ماده مدام تغییر می کند و تنش برشی نیز تابعی از زمان خواهد بود. این مواد به دو دسته سیالات تیکسوتروپیک<sup>۱</sup> و سیالات رئوپکتیک<sup>۲</sup> (آنتی تیکسوتروپیک<sup>۳</sup>) تقسیم می شوند [۱]. در سیالات تیکسوتروپیک، اگر ماده تحت شرایط نرخ برش ثابت و دمای معین باشد، تنش برشی یک کاهش برگشت پذیر نسبت به زمان پیدا می کند. که این به دلیل شکست تدریجی ساختمان مولکولی سیال تیکسوتروپیک می باشد و باعث کاهش ویسکوزیته با زمان می شود. با گذشت زمان بر تعداد مولکول های شکسته افزوده شده و امکان برخورد مولکولها و مکانیزم ترمیم آنها بیشتر می شود. به همین دلیل با برقراری تعادل بین فرآیندهای شکست و ترمیم، ویسکوزیته نیز به یک مقدار حدی ثابت میل خواهد کرد.

اما رفتار سیالات رئوپکتیک کاملاً برعکس سیال تیکسوتروپیک می باشد، یعنی در نرخ برش ثابت و در دمای معین، تنش برشی و ویسکوزیته دارای یک افزایش برگشت پذیری می باشند. که این به دلیل نداشتن ساختار مولکولی اولیه و امکان تشکیل ساختار جدید با برخورد مولکولها می باشد. در شکل (۱-۲) منحنی تنش در برابر نرخ برش برای مواد رئوپکتیک و تیکسوتروپیک نشان داده شده است.

- 
1. Thixotropic
  2. Rheoplectic
  3. Antithixotropic



شکل (۲-۱) منحنی های تنش برشی در برابر نرخ برش برای سیالات غیر نیوتنی تابعی از زمان [۳]

### ۳-۱- سیالات ویسکوالاستیک

سیالات ویسکوالاستیک موادی هستند که به طور توأمان خواص ویسکوز و الاستیک را دارا می باشند. از آنجایی که تنش در سیالات تابعی از نرخ برش و در جامدات تابعی از خود برش است، لذا این مواد دارای خواص همزمان جامد و سیال می باشد. ساده ترین و بهترین مثال برای درک بهتر خاصیت سیال ویسکوالاستیک جریان این سیال بین دو صفحه تخت می باشد. چنانچه یک سیال ویسکوالاستیک بین دو صفحه تخت موازی قرار گیرد و صفحه بالایی با سرعت ثابت  $U$  حرکت نماید، یک جریان برشی ساده ایجاد می شود. اگر حرکت صفحه بالایی به طور ناگهانی متوقف شود، بر خلاف سیال نیوتنی که در آنها تنش بطور آنی صفر می شود، در مواد ویسکوالاستیک کاهش تنش برشی دارای بازه زمانی یا به عبارت دیگر دارای زمان آسودگی از تنش<sup>۱</sup> می باشد. یعنی اگر نیرو از روی صفحه بالایی برداشته شود، صفحه مقداری به عقب بر می گردد که این به خاطر خاصیت الاستیک آن می باشد و خاصیت ویسکوز آن سبب می شود که این میزان برگشت به عقب نسبت به مواد الاستیک کمتر باشد. به همین دلیل می توان گفت که این مواد به نوعی دارای حافظه می باشند و از تغییر

1. Relaxation Time

شکل قبلی خود آگاهی دارند [۴].

در جریان برشی برای یک سیالات ویسکوالاستیک، تنش‌های نرمال اول و دوم در آن با هم برابر نیستند، در صورتی که برای سیال نیوتنی، تنش‌های نرمال با هم برابر بوده و برابر با فشار استاتیکی می‌باشد. به طور کلی جریان برشی این مواد، آرایش و موقعیت مولکول‌ها را تحت تاثیر قرار داده و همراستا شدن مولکول‌های طویل پلیمری در راستای خطوط جریان را در پی دارد. لذا تغییر جهت قرارگیری مولکول‌ها، میدان تنش را تحت تاثیر قرار می‌دهد و اختلاف تنش‌های نرمال پدید می‌آیند. در جریان برشی ساده، اگر جهت جریان را جهت ۱ و راستای تغییرات سرعت (عمود بر جهت جریان) را جهت ۲ بنامیم، اختلاف تنش نرمال اول به صورت زیر تعریف می‌شود:

$$N_1 = \sigma_{11} - \sigma_{22} \quad (1-1)$$

حال، اگر جهت راستگرد عمود بر جهت‌های ۱ و ۲ را جهت ۳ بنامیم، می‌توان اختلاف تنش نرمال دوم را نیز به صورت زیر تعریف کرد:

$$N_2 = \sigma_{22} - \sigma_{33} \quad (2-1)$$

ثابت‌های اختلاف تنش نرمال نیز بر اساس روابط (۱-۱) و (۲-۱) به دست می‌آیند:

$$\psi_1 = \frac{N_1}{\dot{\gamma}^2} \quad (3-1)$$

$$\psi_2 = \frac{N_2}{\dot{\gamma}^2} \quad (4-1)$$

که در آن،  $\psi_1$  و  $\psi_2$  ثابت‌های تنش نرمال اول و دوم و  $\dot{\gamma}$  نرخ برش می‌باشد. همانطور که قبلاً اشاره شد لزجت در سیالات غیرنیوتنی تابعی از نرخ برش می‌باشد. بنابراین برای سیال ویسکوالاستیک می‌-

توان بر اساس تنش برشی و نرخ برش، لزجت سیال ویسکوالاستیک را به دست آورد [۱]:

$$\eta = \frac{\sigma_{12}}{\dot{\gamma}} \quad (5-1)$$

بر اساس روابط مذکور، لزجت، اختلاف تنش نرمال اول و دوم در سیال ویسکوالاستیک همگی تابعی از نرخ برش می‌باشد. علاوه بر ویسکوزیته، ثابت‌های اختلاف تنش‌های نرمال اول و دوم نیز از جمله خواص رئولوژیکی سیال ویسکوالاستیک محسوب می‌شوند. شایان ذکر است که تقریباً در تمامی مواد پلیمری رفتار ویسکوزیته و ثابت‌های اختلاف تنش‌های نرمال بصورت نازک شونده<sup>۱</sup> (شبه پلاستیک) می‌باشد. همچنین  $N_1$  مقداری مثبت و  $N_2$  اغلب دارای مقداری منفی است. در بیشتر کاربردهای عملی، معمولاً مقدار  $N_2$  اندازه‌گیری نمی‌شود و از نظر بزرگی مقدار آن ۱۰٪ مقدار  $N_1$  در نظر گرفته می‌شود و این توصیفات برای مدل‌های خطی در سیالات ویسکوالاستیک به درستی معتبر است ولی برای مدل‌های غیر خطی اعتباری ندارد [۵].

#### ۱-۴- اندازه‌گیری خواص

برای شناسایی خواص اصلی سیال نیاز به آزمایشاتی می‌باشد، که این خواص را از آزمایشات رئومتری بدست می‌آورند. به طور خلاصه معروفترین و پرکاربردترین این آزمایشات عبارتند از:

تست‌هایی از تنش

تست خزش

تست ریکویل<sup>۲</sup>

تست نوسان

اندازه‌گیری ویسکوزیته

تعیین تنش‌های نرمال

در ادامه به توضیح هر یک از این تست‌ها پرداخته می‌شود.

1. Shear thinning

2. Recoil

### ۱-۴-۱- تست رهایی از تنش

یکی از اهداف این آزمایش اندازه‌گیری زمان لازم برای صفر شدن مقدار تنش و مدول صلبیت در زمان‌های مختلف می‌باشد. در دستگاه رئومتر، ابتدا یک تغییر شکل کوچک  $\gamma = \gamma_0$ ، در ماده ایجاد می‌کنند تا به تنش  $\sigma_0$  می‌رسد ( $\sigma_0 = G\gamma_0$ ) سپس تغییر شکل برداشته می‌شود تا تنش به صفر میل کند. با اندازه‌گیری زمان این آزمایش  $\lambda$  بدست می‌آید و با داشتن رابطه بین  $\lambda$  و  $G(t)$  می‌توان مدول صلبیت را هم بدست آورد. چنانچه سیال بصورت یک سیال ماکسول مدل شود، می‌توان نشان داد که  $\lambda = \eta/G$  و  $G(t) = Ge^{-t/\lambda}$  است ( $\eta$  ویسکوزیته سیال می‌باشد) [۶].

### ۲-۴-۱- تست خزش

هدف از این آزمایش اندازه‌گیری زمان تأخیر ماده<sup>۱</sup> و می‌زان مطلوبیت خزش<sup>۲</sup> ( $J(t) = \gamma(t) / \sigma_0$ ) می‌باشد و این تست عمدتاً برای جامدات ویسکوالاستیک انجام می‌شود. در این تست ابتدا یک تنش اولیه  $(\sigma = \sigma_0)$  به ماده اعمال می‌شود و سپس می‌زان تغییرات  $\gamma$  در زمان‌های مختلف جهت حفظ این تنش اندازه‌گیری می‌شود [۶].

### ۳-۴-۱- تست ریکویل

هدف از این آزمایش تعیین حافظه سیال می‌باشد، که معمولاً پس از تست خزش انجام می‌شود. در این تست ابتدا ماده تحت یک بار اولیه قرار می‌دهند و پس از آنکه ماده به تغییر شکل نهایی خود رسید، بار اعمالی بر روی ماده برداشته می‌شود و زمان لازم برای توقف این تغییرات شکل اندازه‌گیری می‌شود. [۶].

1. Retardation time  
2. Creep compliance



### ۱-۴-۴- تست نوسان

هدف از این آزمایش تعیین می‌زان سهم رفتار ویسکوز و الاستیک ( $\delta$ ) ماده می‌باشد. ابتدا در این آزمایش ماده را تحت بار نوسانی قرار داده و تغییر شکل‌های آن بر حسب زمان اندازه‌گیری می‌شود. بایده فرکانس نوسان بالا باشد (بیشتر از ۵۰۰ هرتز) تا تغییر شکل‌ها کوچک بماند. با اندازه‌گیری مقدار هم فاز و غیر هم فاز مدول صلبیت ( $G'$  و  $G''$ ) بر حسب فرکانس می‌توان زاویه اختلاف فاز را از رابطه  $\delta = \tan^{-1}(G''/G')$  تعیین کرد [۶]. در مدل ماکسول با بدست آوردن فرکانس نقطه تقاطع دو منحنی  $G''$  و  $G'$  می‌توان  $\lambda$  را از رابطه  $\lambda = 1/(\omega_0 \tan \delta)$  بدست آورد.

### ۱-۴-۵- اندازه‌گیری ویسکوزیته

برای اندازه‌گیری ویسکوزیته بر حسب نرخ برش در آزمایشگاه‌ها و صنایع مختلف، ویسکومترهای متنوعی وجود دارد. معروفترین این ویسکومترها، ویسکومتر لوله مویین<sup>۱</sup> می‌باشد. در این نوع ویسکومتر می‌زان افت فشار جریان سیال اندازه‌گیری شده و دی‌اگرام تنش برشی در برابر نرخ برش با استفاده از روابط آن ترسیم می‌شود. شیب نمودار بیان‌کننده می‌زان ویسکوزیته سیال می‌باشد [۱].

### ۱-۴-۶- تعیین تنش‌های نرمال

1. Capillary tube viscometer

همانطور که در قبل اشاره شد تنش‌های نرمال اول و دوم برای سیال ویسکوالاستیک بر خلاف سیال نیوتنی با هم برابر نیستند. برای اندازه‌گیری تنش برشی و تنش‌های نرمال از رئوگونیومتر<sup>۱</sup> استفاده می‌شود، که در انواع مختلفی مانند مخروط-صفحه و نوع وایزبرگ ساخته می‌شود. وسیله دیگری جهت تعیین تنش‌های نرمال اکستنسیومتر<sup>۲</sup> می‌باشد، که در انواع مختلفی مانند تنش ثابت و مونستر<sup>۳</sup> ساخته می‌شود. در این وسیله اندازه‌گیری تنش‌ها با ایجاد انواع جریانهایی کششی انجام می‌شود [۱].

### ۱-۵- پارامترهای مهم در جریان سیالات ویسکوالاستیک

معمولاً برای بررسی جریان سیال ویسکوالاستیک، از دو عدد دوبرا<sup>۴</sup> و عدد وایزبرگ<sup>۵</sup> استفاده می‌کنند. عدد دوبرا، بر اساس نسبت زمان آسودگی از تنش به زمان مشخصه تعریف می‌شود. نسبت نیروی ناشی از خاصیت الاستیک به نیروی حاصل از ویسکوزیته سیال را نیز به صورت عدد وایزبرگ نمایش می‌دهند [۴]:

$$De = \lambda \omega = \lambda / T \quad (۶-۱)$$

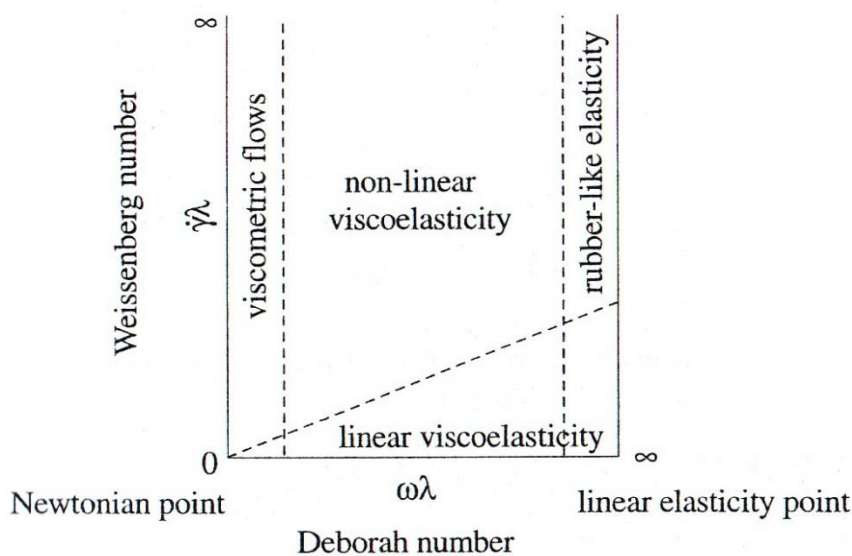
$$Wi = \lambda \dot{\gamma} \quad (۷-۱)$$

که در آن،  $\lambda$  زمان مشخصه ماده (زمان آسودگی از تنش)،  $T$  زمان مشخصه جریان،  $\omega$  فرکانس مشخصه جریان و  $\dot{\gamma}$  نرخ برش جریان می‌باشد. زمان آسودگی از تنش برای سیالات نیوتنی بسیار کوچک (کمتر از  $10^{-6}$  تا  $10^{-4}$  ثانیه) و برای جامدات الاستیک عددی بزرگ (بزرگتر از 100 ثانیه) است [۳]. در نتیجه برای سیال ویسکوالاستیک زمان آسودگی از تنش بین این محدوده می‌باشد. هر

- 
1. Rheogoniometer
  2. Exten Siometer
  3. Munstedt
  4. Deborah Number
  5. Weissenberg Number

چه اعداد دبورا و وایزنبرگ برای یک ماده کوچکتر باشد ماده شانس بیشتری برای جریان یافتن، پیدا می کند. یکی از راه های انتخاب معادله متشکله مناسب برای سیال ویسکوالاستیک با توجه به عدد وایزنبرگ و عدد دبورا استفاده از نمودار پیپکن است [۴].

همانطور که در شکل (۳-۱) مشاهده می شود، محور افقی بر حسب عدد دبورا و محور قائم بر حسب عدد وایزنبرگ می باشد. هنگامی که  $De = Wi = 0$  باشد، ماده یک سیال نیوتنی است و زمانی که عدد  $De$  به سمت بی نهایت میل می کند، ماده یک جامد الاستیک خواهد بود. در ناحیه میانی مربوط به عدد  $De$ ، ماده از خود رفتار ویسکوالاستیک نشان می دهد. به نحوی که در این ناحیه به ازای اعداد  $Wi$  کوچک، مدل های ویسکوالاستیک خطی و در اعداد  $Wi$  بزرگ مدل های ویسکوالاستیک غیر خطی برای ماده مناسب هستند. همچنین برای ناحیه میانی مربوط به اعداد وایزنبرگ، در اعداد  $De$  کوچک ماده رفتار ویسکومتریکی و در اعداد  $De$  بزرگ رفتاری شبیه لاستیک ها را از خود نشان می دهد. به عبارت دیگر عدد دبورا حالت ماده (می-زان الاستیک بودن آن) و عدد وایزنبرگ رفتار ماده (خطی یا غیرخطی بودن تغییرات تنش بر حسب نرخ برش) را نشان می دهد [۴].



شکل (۳-۱) دیاگرام پیپکن [۴]

### ۱-۶- معادلات متشکله در سیالات ویسکوالاستیک

منظور از معادله متشکله<sup>۱</sup>، معادله‌ای است که قادر به بیان رابطه بین تنش و تغییر شکل یک ماده مشخص باشد. در این بخش مروری اجمالی بر معادلات متشکله سیالات ویسکوالاستیک صورت می‌گیرد. همچنین انواع خانواده‌های مدل‌های ویسکوالاستیک معرفی شده و روابط چند مدل معروف ویسکوالاستیک خطی و غیر خطی ارائه شده و در مورد محدودیت‌ها و مزایای آنها بحث می‌شود.

معادله متشکله برای سیال نیوتنی توسط اسحاق نیوتن بیان شد و قانون پایه یک سیال نیوتنی به شکل زیر قابل بیان است [۷]:

$$\tau_{ij} = (-P + \lambda \dot{\epsilon}_{kk}) \delta_{ij} + 2\eta \dot{\epsilon}_{ij} \quad (۸-۱)$$

در رابطه (۸-۱)،  $P$  فشار استاتیکی،  $\dot{\epsilon}$  نرخ برش و  $\lambda$  و  $\eta$  ثابت‌های ویسکوز هستند.

به‌طور کلی برای مواد ویسکوالاستیک می‌توان بی‌نهایت معادله متشکله در نظر گرفت! این معادلات می‌توانند به اشکال متنوعی رابطه‌ای بین بسط مشتقات تنش یا انتگرال‌های تنش همراه با نرخ برش را در بر بگیری‌رند. بطور کلی جهت بدست آوردن مدل‌های ویسکوالاستیک چند دی‌دگاه مختلف وجود دارد [۸]:

۱. در طی سال‌های ۱۹۵۰ تا ۱۹۸۰ برخی از مدل‌های ویسکوالاستیک بر اساس اصول

اولدرویید و با استفاده از نتایج آزمایشگاهی بدست آمدند. در واقع این مدل‌ها کاملاً

تجربی هستند و همچنان امروزه نیز از این مدل‌ها استفاده می‌شود. برای کسب اطلاعات

بیشتر در رابطه با این مدل‌ها به مراجع [۲] و [۹] رجوع شود.

۲. در دی‌دگاه دوم که بر مبنای ریاضی است، برای بدست آوردن می‌زان انحراف رفتار سیال غیر نیوتنی از رفتار نیوتنی از بسط‌های ریاضی استفاده می‌کردند. این مدل‌ها به بسط حرکت تاخیری<sup>۱</sup> نیز موسوم هستند و مشکل اصلی در استفاده از این مدل‌ها همگرایی کند آنها می‌باشد. یکی از بسط‌هایی که می‌زان انحراف از رفتار ویسکوالاستیک خطی را بیان می‌کند، از بسط فرچت<sup>۲</sup> می‌باشد.
۳. در دی‌دگاه سوم برای نشان دادن بهتر رفتار فیزیکی برخی جریان‌های شناخته، به توسعه مدل‌ها پرداختند. به طور مثال برای تغییری در شکل‌های کوچک، مدل‌های ویسکوالاستیک خطی توسعه داده شد و برای جریان‌های دائمی برشی، مدل CEF پدید آمد.
۴. دی‌دگاه چهارم بر مبنای تئوری مولکولی می‌باشد. در این دی‌دگاه که بر اساس تقریب-های ریاضیاتی و آرایش فضایی مولکول‌ها می‌باشد، معادله متشکله استخراج می‌شود. از آنجایی که در این روش مولکول‌ها بصورت زنجیره‌ای از جرم و فنر در نظر گرفته می‌شوند. در نتیجه آرایش‌های فضایی بسیار متنوعی بر اساس می‌زان کشیدگی و جهت‌گیری مولکول‌ها قابل ارائه می‌باشند. برای کسب اطلاعات بیشتر راجع به این مدل‌ها، به مرجع [۲] مراجعه شود.
۵. دی‌دگاه پنجم بر مبنای فرآیندهای بازگشت ناپذیری ترمودینامیکی استوار است و دی‌دگاه نسبتاً جدی‌دی می‌باشد. در این روش برای استخراج معادلات متشکله، از نتایج آزمایشات شناخته شده، مکانیک محیط‌های پیوسته و مکانیک آماری استفاده می‌شود. در مجموع می‌توان معادلات متشکله را به دو دسته تقسیم نمود [۱۰].

- معادلات خطی

---

1. Retarded expansion motion  
2. Frechet

## • معادلات غیر خطی

در ادامه در مورد این معادلات بحث شده و تعدادی از معروفترین این معادلات معرفی می-شوند.

## ۱-۶-۱- مدل های ویسکوالاستیک خطی

مدل های ویسکوالاستیک خطی بر پایه تلفیق خواص جامدات خطی و سیالات نیوتنی ارائه شده اند. به عبارتی این مدل ها از ترکیب های مختلف مجموعه ای از فنرها و دمپرهای خطی حاصل شده اند. لذا معادله متشکله هر مدل ویسکوالاستیک خطی به شکل زیر قابل بیان است [۹]:

$$(1 + \lambda_1 \frac{\partial}{\partial t} + \lambda_2 \frac{\partial^2}{\partial t^2} + \dots + \lambda_n \frac{\partial^n}{\partial t^n}) \tau_{ij} = \eta_0 (1 + \xi_1 \frac{\partial}{\partial t} + \xi_2 \frac{\partial^2}{\partial t^2} + \dots + \xi_m \frac{\partial^m}{\partial t^m}) \gamma_{ij} \quad (9-1)$$

در رابطه (۹-۱)، مقادیر  $\lambda_i$  و  $\xi_i$  به ترتیب زمان رهایی از تنش و زمان تاخیر سیال از مرتبه  $i$  بوده و  $\eta_0$  لزجت در نرخ برش صفر،  $\tau_{ij}$  تنش برشی و  $\gamma_{ij}$  نرخ برش است. همچنین مقادیر  $m$  و  $n$  بصورت  $n=m$  یا  $n=m+1$  با هم رابطه دارند. بنابراین با انتخاب مقادیر اختیاری برای  $n$  و  $m$ ، می توان مدل ویسکوالاستیک جدیدی را برای یک ماده تشکیل داد. در اینجا ثابت های زمانی مرتبه پایینی از ثابت های زمانی مرتبه بالا غالب تر هستند. همچنین به ازای  $\lambda_i = \xi_i = 0$  مدل مشابه سیالات نیوتنی خواهد بود [۹]. مقدار نرخ برش ( $\gamma_{ij}$ ) نیز به شکل زیر تعریف می-شود:

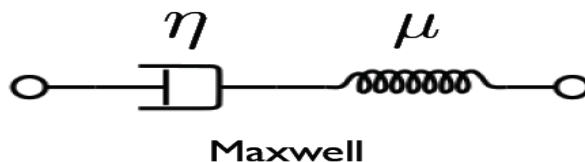
$$\gamma_{ij} = \frac{\partial u_i}{\partial x_j} + \frac{\partial u_j}{\partial x_i} \quad (10-1)$$

که در رابطه (۱۰-۱)،  $u$  سرعت و  $x$  جهت مختصات است. مدل های ویسکوالاستیک خطی برای شبیه سازی جریان محلول های رقیق پلی مری و سوسپانسیون های رقیق ذرات کروی جامد در سیالات نیوتنی بسیار مناسب هستند. اصولاً برای تغییر شکل های کوچک پاسخ این مدل ها با

فیزیکی جریان سازگار بوده اما برای تغییر شکل‌های بزرگ پاسخ آن دارای خطای زیادی می‌باشد.

یکی از اولین و معروفترین مدل‌های ویسکوالاستیک خطی مدل ماکسول است. مطابق شکل (۴-۱) این مدل بر اساس تئوری قرار گرفتن یک فنر و دمپر به صورت سری تعریف شده است [۴]:

$$\tau_{ij} + \frac{\eta}{\mu} \frac{\partial \tau_{ij}}{\partial t} = \eta \gamma_{ij} \quad (11-1)$$



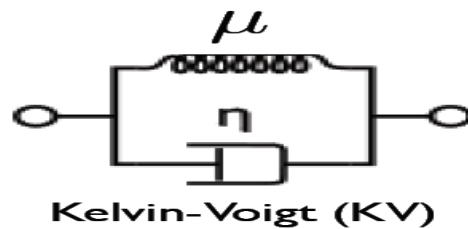
شکل (۴-۱) مدل ماکسول [۴]

در رابطه (۱۱-۱)،  $\eta$  لزجت و  $\mu$  مدول برشی ماده است. مطابق مدل ماکسول ماده دارای زمان‌هایی از تنش و فاقد زمان‌هایی از تغییر شکل است. در این مدل با توقف اعمال تنش، نرخ تغییر شکل در سرتاسر ماده به‌طور آنی صفر خواهد شد. بنابراین مدل ماکسول برای تغییر شکل‌های کوچک محلولهای پلیمری رقیق (مواد ویسکوالاستیک دارای خواص ویسکوز و الاستیک تقریباً خطی) که دارای زمان‌هایی از تغییر شکل کوچک هستند، مناسب می‌باشد.

در مدل کلون-ویت، مطابق شکل (۵-۱) رفتار سیال ویسکوالاستیک بر اساس یک فنر و دمپر موازی خطی شبیه‌سازی شده است.

رابطه بین تنش و نرخ برش در این مدل به شکل زیر تعریف می‌شود:

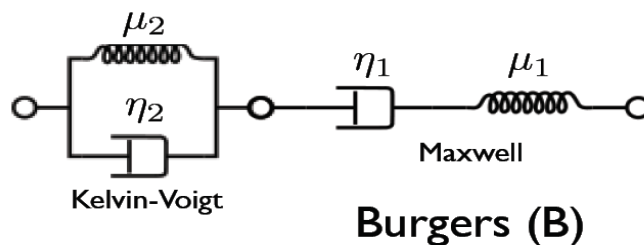
$$\frac{\partial \tau_{ij}}{\partial t} = \mu(\gamma_{ij} + \frac{\eta}{\mu} \frac{\partial \gamma_{ij}}{\partial t}) \quad (12-1)$$



شکل (۵-۱) مدل کلوین-ویت [۴]

رفتار این مدل (۱-۱۲) بر عکس مدل ماکسول است و هرچند در این مدل یکی از زمان‌های رهایی از تغییر شکل لحاظ شده اما مدل دارای زمان رهایی از تنش نیست. یعنی اگر تغییر شکل ماده برداشته شود، تنش ماده بلافاصله صفر می‌شود. برای آنکه مدل هر دو زمان رهایی از تنش و زمان رهایی از تغییر شکل را داشته باشد، مدل برگرز به صورت زیر تعریف شد.

$$\tau_{ij} + (\lambda_1 + \lambda_2) \frac{\partial \tau_{ij}}{\partial t} + \lambda_1 \lambda_2 \frac{\partial^2 \tau_{ij}}{\partial t^2} = (\eta_1 + \eta_2) \gamma_{ij} + (\lambda_1 \eta_2 + \lambda_2 \eta_1) \frac{\partial \gamma_{ij}}{\partial t} \quad (۱-۱۳)$$



شکل (۶-۱) مدل برگرز [۴]

در مدل برگرز مطابق شکل (۵-۱) یک المان ماکسول با یک المان کلویین-ویت سری شده است. مسلم است که مدل برگرز رفتار کاملتری را از یک ماده ویسکوالاستیک ارائه می‌کند. در مدل برگرز اگر یکی از فنرها یا دمپرها المان ماکسول حذف شود، مدل جدیدی به نام مدل جفریز به دست می‌آید [۴]:



$$\tau_{ij} + \lambda_1 \frac{\partial \tau_{ij}}{\partial t} = \eta(\dot{\gamma}_{ij} + \lambda_2 \frac{\partial \dot{\gamma}_{ij}}{\partial t}) \quad (14-1)$$

مدل جفریز مدل ساده و نسبتاً مناسبی برای بررسی رفتار یک ماده ویسکوالاستیک است زیرا در آن یک زمان آسودگی از تنش و یک زمان رهایی از تغییر شکل لحاظ شده است.

مدل ماکسول توسعه یافته از طریق موازی کردن تعداد متناهی از المانهای ماکسول به دست می آید. اصولاً یک ماده پلی مری از تعداد زیادی از مولکولهای رشته ای با طولهای مختلف و احیاناً ساختارهای فضایی متنوع تشکیل شده که سبب ایجاد زمانهای مختلف آسودگی از تنش در این مواد می شود. به همین دلیل این مدل برای ایجاد زمانهای متعدد آسودگی از تنش ایجاد شده است.

می توان نشان داد که در مدل ماکسول توسعه یافته، ضریب الاستیک و لزجت معادل (که تابعی از زمان هستند) به شکل زیر قابل بیان می باشد [۳]:

$$\mu(t) = \sum_{i=1}^n \mu_i \exp(-t/\lambda_i) \quad (15-1)$$

$$\eta(t) = \sum_{i=1}^n \eta_i (1 - \exp(-t/\lambda_i)) \quad (16-1)$$

به طور مشابه، مدل کلین-ویت توسعه یافته نیز از طریق سری کردن المانهای کلین-ویت قابل تعریف است. (جهت ایجاد زمانهای بیشتری برای رهایی از تغییر شکل).

### ۱-۶-۲- مدل های ویسکوالاستیک غیر خطی

همانطور که در بخش قبل مشاهده کردید، مدل های ویسکوالاستیک خطی دارای روابط دیفرانسیلی ساده ای هستند. اما این مدل ها نیز دارای مشکلات زیر هستند.

۱. این مدل ها برای محلول های رقیق پلی مری بسیار مناسب می باشند، اما برای محلولهای

غلظت و مذابهای پلی مری که رفتاری کاملاً غیر خطی دارند، قابل استفاده نمی باشند.

۲. مدل های خطی نمی توانند وابستگی توابع رئولوژیکی به نرخ برش را بیان کنند و به عبارت دیگرم وی سکوزیته در این مدل ها همواره مقداری ثابت در نظر گرفته می شود  
 $(\eta = \eta_0)$ .

۳. در این مدل ها تنش های نرمال باهم برابر در نظر گرفته می شود، در حالی که تفاوت اصلی سیالات ویسکوالاستیک نسبت به سیالات نیوتنی، وجود اختلاف تنش های نرمال می باشد.

با این وجود استفاده از مدل های خطی برای تحلیل تغییر شکل های کوچک مواد ویسکوالاستیک رایج می باشد. همچنین به دلیل واگرایی حل های عددی در مدل های غیر خطی، توصیه می شود که در ابتدا حل عددی با استفاده از مدل های خطی انجام شود و سپس پاسخ های حاصل از آن به عنوان فرض اولیه در مدل های غیر خطی به کار رود.

یکی از معروفترین مدل های تیبیین رفتار سیالات ویسکوالاستیک، خانواده مدل های اولدرویید است، که تقریباً یک مدل تجربی محسوب می شود. خانواده اولدرویید دارای مبحث مفصلی از مکانیک محیط های پیوسته است که پرداختن به آن از حوصله این بحث خارج است. در اینجا تنها معادلات متشکله ای که در زمینه مدل سازی جریان سیالات ویسکوالاستیک کاربرد دارند، بیان می شود. مدل های اولدرویید نی از به محاسبه مشتق زمانی همرفتی همبسته و نیز مشتق زمانی همرفتی پاد همبسته تانسور تنش دارند که این مشتقات به ترتیب در روابط (۱) - (۱۷) تا (۲۰-۱) آمده اند [۲].

$$\tau^{(1)} = \frac{D\tau}{Dt} + \left\{ (\nabla V) \cdot \tau + \tau \cdot (\nabla V)^T \right\} \quad (17-1)$$

⋮

$$\tau^{(n)} = \frac{D\tau^{(n-1)}}{Dt} + \left\{ (\nabla V) \cdot \tau^{(n-1)} + \tau^{(n-1)} \cdot (\nabla V)^T \right\} \quad (18-1)$$

$$\tau_{(1)} = \frac{D\tau}{Dt} - \left\{ (\nabla V)^T \cdot \tau + \tau \cdot (\nabla V) \right\} \quad (19-1)$$

:

$$\tau_{(n)} = \frac{D\tau_{(n-1)}}{Dt} - \left\{ (\nabla V)^T \cdot \tau_{(n-1)} + \tau_{(n-1)} \cdot (\nabla V) \right\} \quad (20-1)$$

در روابط بالا،  $\tau$  تانسور تنش،  $V$  بردار سرعت و  $T$  نیز نماد ترانهاده تانسور است. همچنین مشتقات زمانی همرفتی همبسته و مشتقات زمانی همرفتی پاد همبسته نرخ برش نیز به ترتیب به شکل زیر

تعریف می‌شوند:

$$\gamma^{(1)} = \nabla V + (\nabla V)^T \quad (21-1)$$

$$\gamma^{(2)} = \frac{D\gamma^{(1)}}{Dt} + \left\{ (\nabla V) \cdot \gamma^{(1)} + \gamma^{(1)} \cdot (\nabla V)^T \right\} \quad (22-1)$$

:

$$\gamma^{(n)} = \frac{D\gamma^{(n-1)}}{Dt} + \left\{ (\nabla V) \cdot \gamma^{(n-1)} + \gamma^{(n-1)} \cdot (\nabla V)^T \right\} \quad (23-1)$$

$$\gamma_{(1)} = \nabla V + (\nabla V)^T \quad (24-1)$$

$$\gamma_{(2)} = \frac{D\gamma_{(1)}}{Dt} - \left\{ (\nabla V)^T \cdot \gamma_{(1)} + \gamma_{(1)} \cdot (\nabla V) \right\} \quad (25-1)$$

:

$$\gamma_{(n)} = \frac{D\gamma_{(n-1)}}{Dt} - \left\{ (\nabla V)^T \cdot \gamma_{(n-1)} + \gamma_{(n-1)} \cdot (\nabla V) \right\} \quad (26-1)$$

در میان مدل‌های اولدروید، دو مدل اولدروید-ای<sup>۱</sup> و اولدروید-بی<sup>۲</sup> از همه معروفتر هستند که معادله

مشکله این دو مدل به ترتیب در روابط (۲۷-۱) و (۲۸-۱) آمده است [۲]:

$$\tau + \lambda_1 \tau^{(1)} = \eta_0 (\gamma^{(1)} + \lambda_2 \gamma^{(2)}) \quad (27-1)$$

$$\tau + \lambda_1 \tau_{(1)} = \eta_0 (\gamma_{(1)} + \lambda_2 \gamma_{(2)}) \quad (28-1)$$

هرچند این دو مدل به خوبی اصول مکانیک محیط‌های پیوسته را ارضا می‌کنند اما در زمینه تعیین

اختلاف تنش نرمال دوم دارای ضعف‌هایی هستند. رابطه (۲۷-۱)، معادله مشکله مدل اولدروید-ای

1. Oldroyd-A

2. Oldroyd-B

بوده که در آن ثابت تنش نرمال دوم قرینه ثابت تنش نرمال اول است ( $\Psi_2 = -\Psi_1$ )، درحالیکه در مدل اولدرویید-بی ثابت اختلاف تنش نرمال اول وجود داشته اما ثابت تنش نرمال دوم برابر صفر است ( $\Psi_2 = 0$  و  $\Psi_1 > 0$ ). از آنجا که در اکثر سیالات ویسکوالاستیک اختلاف تنش نرمال دوم دارای مقداری نسبتاً کوچک و حداکثر ۲۰٪ اختلاف تنش نرمال اول می باشد، بنابراین به نظر می رسد که پاسخهای مدل اولدرویید-بی به واقعیت نزدیک است. به همین دلیل استفاده از مدل اولدرویید-بی چندان رایج نبوده، حال آنکه تحقیقات عددی و تحلیلی فراوانی بر اساس مدل اولدرویید-بی انجام شده است. مدل اولدرویید-بی به مدل همرفتی جفریز<sup>۱</sup> نیز معروف است. این مدل در حالت‌های خاصی به مدل‌های دیگری ساده می شود:

اگر  $\lambda_2 = 0$  باشد، در این صورت مدل فوق همرفتی ماکسول<sup>۲</sup> (UCM) به دست می آید:

$$\tau + \lambda_1 \tau_{(1)} = \eta_0 \gamma_{(1)} \quad (29-1)$$

اگر  $\lambda_1 = 0$  شود، مدل اولدرویید-بی به مدل سیال مرتبه دو تبدیل می گردد:

$$\tau = \eta_0 (\gamma_{(1)} + \lambda_2 \gamma_{(2)}) \quad (30-1)$$

اگر  $\lambda_1 = \lambda_2$  باشد، این مدل به سیال نیوتنی با لزجت  $\eta_0$  ساده می شود.

شایان ذکر است که استفاده از مدل اولدرویید-بی برای مدل سازی رفتار محلول های پلی مری بسیاری رایج است. برای این منظور ماده حل شونده بصورت ماده پلی مری UCM و حلال بصورت سیال نیوتنی در نظر گرفته می شود.

$$\tau_p + \lambda_1 \tau_{p(1)} = \eta_p \gamma \quad (31-1)$$

$$\tau_s = \eta_s \gamma \quad (32-1)$$

1. Convected Jeffreys Model

2. Upper Convected Maxwell Model (UCM Model)

در رابطه فوق، اندی‌س  $p$  مربوط به ماده حل شونده پلی‌مری و  $s$  مربوط به حلال نیوتنی است. همچنین مقادیر زیر به ویسکوزیته و تنش کل محلول نسبت داده می‌شود:

$$\tau = \tau_p + \tau_s \quad (33-1)$$

$$\eta = \eta_p + \eta_s \quad (34-1)$$

با جمع نمودن روابط (31-1) و (32-1) داری می‌شود:

$$(\tau_p + \tau_s) + \lambda_1 \tau_{p(1)} = (\eta_p + \eta_s) \gamma \quad (35-1)$$

بنابراین با توجه به روابط (33-1) و (34-1) معادله (35-1) به شکل زیر ساده می‌شود:

$$\tau + \lambda_1 (\tau_{(1)} - \tau_{s(1)}) = \eta \gamma \quad (36-1)$$

ی،

$$\tau + \lambda_1 \tau_{(1)} = \eta \left( \gamma + \frac{\lambda_1 \eta_s}{\eta} \gamma_{(2)} \right) \quad (37-1)$$

با مقایسه روابطه (28-1) و (37-1) می‌توان دریافت که رابطه (37-1) صورتی خاص از معادله

اولدروی‌دبی است که در آن رابطه ای بین ثابت‌های زمانی به شکل  $\lambda_2 = \lambda_1 \eta_s / \eta$  برقرار است.

با توجه به رابطه (37-1) می‌توان دریافت که برخلاف صورت عمومی مدل اولدروی‌دبی (رابطه 1-)

(28)، چنانچه مقدار  $\lambda_1$  برابر صفر لحاظ شود، این مدل به مدل سیال مرتبه دو ساده نمی‌شود بلکه

به سیال نیوتنی با ویسکوزیته  $\eta_p + \eta_s$  ساده می‌شود.

به طور کلی صورت عمومی مدل اولدروی‌د، مدل هشت ثابتته اولدروی‌د<sup>1</sup> است که در سال ۱۹۵۸ ارائه

شده است [۲] و [۱۱]

$$\tau + \lambda_1 \tau_{(1)} + \frac{\lambda_3}{2} (\tau \gamma_1 + \gamma_1 \tau) + \frac{\lambda_5}{2} [tr(\tau)] \gamma_1 + \frac{\lambda_6}{2} [tr(\tau \gamma_1)] I = \quad (38-1)$$

$$-\eta_0 \left( \gamma_{(1)} + \lambda_2 \gamma_{(2)} + \lambda_4 \gamma_{(1)}^2 + \frac{\lambda_7}{2} [\text{tr}(\gamma_{(1)}^2)] \right) I$$

این مدل قادر به ارائه رفتار بسیار کاملی از یک سیال ویسکوالاستیک می باشد، ولی معادله آن بسیار پیچیده و ناپایداری عددی آن بالا می باشد.

در جدول (۱-۱)، ویسکوزیته و ثابتهای اختلاف تنش های نرمال اول و دوم برای مدل های مختلف اولدرویید و مدل های دارای مرتبه های پایینی تر آمده است [۱۰].

جدول (۱-۱) ویسکوزیته و ثابتهای اختلاف تنش های نرمال اول و دوم

برای مدل های مختلف اولدرویید و مدل های دارای مرتبه پایین تر [۲]

مدل	$\eta$	$\Psi_1$	$\Psi_2$
مدل سیال مرتبه دو	$\eta_0$	$-2\eta_0\lambda_2$	$\eta_0\lambda_2$
مدل UCM	$\eta_0$	$2\eta_0\lambda_2$	0
مدل اولدرویید-ای	$\eta_0$	$2\eta_0(\lambda_1 - \lambda_2)$	$2\eta_0(\lambda_2 - \lambda_1)$
مدل اولدرویید-بی	$\eta_0$	$2\eta_0(\lambda_1 - \lambda_2)$	0
مدل n ثابت اولدرویید (n = ۴, ۶ و ۸)	$\eta_0 \frac{1 + \sigma_2 \dot{\gamma}^2}{1 + \sigma_1 \dot{\gamma}^2}$	$2(\lambda_1 \eta - \lambda_2 \eta_0)$	$-\frac{\Psi_1}{2} + (\lambda_1 - \lambda_3)\eta - (\lambda_2 - \lambda_4)\eta_0$

در جدول فوق:

$$\sigma_i = \lambda_i(\lambda_3 + \lambda_5) + \lambda_{i+2}(\lambda_1 - \lambda_3 - \lambda_5) + \lambda_{i+5} \left( \lambda_1 - \lambda_3 - \frac{3}{2}\lambda_5 \right)$$

برای مدل چهار ثابت اولدرویید:  $\lambda_3 = \lambda_4 = \lambda_6 = \lambda_7 = 0$

برای مدل شش ثابت اولدرویید:  $\lambda_6 = \lambda_7 = 0$

با توجه به جدول (۱-۱) می توان دریافت که مدل های n ثابت اولدرویید (n = ۴, ۶ و ۸) قادر به

ایجاد اختلاف تنش های نرمال اول و دوم و نیز ویسکوزیته غیر خطی (ویسکوزیته تابع نرخ برش) می

باشند و لذا می توانند رفتار ویسکوالاستیک را با دقت بالایی مدل سازی نمایند.

مدل راینر-ریولین<sup>۱</sup> یکی از مدل‌های غیرخطی ساده برای بررسی جریان‌های برشی سیالات ویسکوالاستیک است. معادله متشکله مدل راینر-ریولین در حالت کلی به شکل زیر است [۲]:

$$\tau = \eta(I, III)\dot{\gamma} + \Psi_2(I, III)\dot{\gamma} \cdot \dot{\gamma} \quad (39-1)$$

در رابطه (۳۹-۱)،  $\dot{\gamma}$  تانسور نرخ برش،  $\eta$  لزجت و  $\Psi_2$  ثابت اختلاف تنش‌های نرمال دوم است. همچنین مقادیر  $I$  و  $III$  ناوردایی‌های دوم و سوم تانسور نرخ برش هستند.

مدل کریمینال-اریکسون-فیلبی<sup>۲</sup> (CEF) مدل مناسبی برای شبیه‌سازی جریان‌های برشی دائمی سیالات ویسکوالاستیک است. معادله متشکله این مدل به شکل زیر است [۲]:

$$\tau = \eta(\dot{\gamma})\dot{\gamma}_{(1)} - \frac{1}{2}\Psi_1(\dot{\gamma})\dot{\gamma}_{(2)} + \Psi_2(\dot{\gamma})\{\dot{\gamma}_{(1)} \cdot \dot{\gamma}_{(1)}\} \quad (40-1)$$

از جمله مزایای این مدل می‌توان به امکان اعمال مستقیم توابع رئولوژیک وابسته به نرخ برش تعمیم-یافته (شامل لزجت و ثابت‌های اختلاف تنش نرمال اول و دوم) در مدل اشاره نمود. پاسخ‌های این مدل در ناحیه اعداد دورای کوچک و محدوده وسیعی از اعداد وایزنبرگ دقیق بوده و استفاده از آن جهت محاسبات صنعتی رایج است.

مدل چهار ثابت فان-تین-تنر<sup>۳</sup> (PTT) در اصل بر اساس تئوری شبکه برای مذاب‌های پلیمری طراحی شده است. صورت عمومی این مدل به شکل زیر است [۱۲]:

$$g\tau + \lambda\tau_{(1)} + \frac{1}{2}\xi\lambda(\dot{\gamma} \cdot \tau - \tau \cdot \dot{\gamma}) = \eta_0\dot{\gamma} \quad (41-1)$$

در رابطه فوق  $g$  تابعی از ناوردایی اول تانسور نرخ برش است [۱۲]:

$$g = \exp[-\varepsilon(\lambda/\eta_0)tr(\tau)] \approx 1 - \varepsilon(\lambda/\eta_0)tr(\tau) \quad (42-1)$$

از صورت اصلاح‌شده مدل فان-تین-تنر<sup>۴</sup> (MPTT) می‌توان برای مدل‌سازی رفتار محلول‌های پلیمری

- 
1. Reiner-Rivlin
  2. Criminale-Eriksen-Filbey model (CEF model)
  3. Phan-Thien-Tanner model
  4. Modified Phan-Thien-Tanner model

استفاده نمود. در مدل MPTT صورت کلی تنش به صورت مجموع تنش ویسکوز ناشی از ماده حلال نیوتنی و تنش ویسکوالاستیک ماده حل شونده تعریف می شود [۱۲]:

$$\sigma_{total} = -PI + \eta_N \gamma + \tau \quad (43-1)$$

در رابطه فوق،  $P$  فشار استاتیکی،  $\eta_N \gamma$  نشان دهنده تنش ناشی از ماده حلال نیوتنی و  $\tau$  تنش ویسکوالاستیک ماده حل شونده بوده و  $\eta_N$  لزجت ماده حلال نیوتنی و  $\gamma$  تانسور نرخ برش است. معادله متشکله مدل MPTT به شکل زیر است [۱۲]:

$$g \tau + \lambda \left( \frac{\partial \tau}{\partial t} + V \cdot \nabla \tau - L \tau - \tau L^T \right) = \eta_m \gamma \quad (44-1)$$

در رابطه (۴۴-۱)، مقادیر  $g$ ،  $L$  و  $\eta_m$  به شکل زیر تعریف می شوند:

$$g = 1 - \frac{\lambda \varepsilon}{\eta_{m0}} tr(\tau) \quad (45-1)$$

$$L = \nabla V^T - \xi \gamma / 2 \quad (46-1)$$

$$\eta_m = \eta_{m0} \frac{1 + \xi(2 - \xi)\lambda^2 \dot{\gamma}^2}{(1 + \Gamma^2 \dot{\gamma}^2)^{(1-n)/2}} \quad (47-1)$$

در روابط فوق،  $\lambda$  زمان آسودگی از تنش،  $\varepsilon$  عدد وایزبرگ،  $\xi$  از ثابت های ماده،  $\eta_m$  لزجت ماده حل شونده،  $\eta_{m0}$  لزجت ماده حل شونده در نرخ برش صفر،  $n$  توان نمایی برای ماده حل شونده (جهت مدل سازی لزجت تابع نرخ برش برای ماده حل شونده) و  $\dot{\gamma}$  نرخ برش تعمیم یافته است. همچنین  $\Gamma$  یک پارامتر زمانی است که معمولاً برابر زمان آسودگی از تنش ( $\lambda$ ) فرض می شود. به این ترتیب لزجت برای کل محلول در نرخ برش صفر به شکل  $\eta_0 = \eta_N + \eta_{m0}$  به دست می آید. بنابراین با تعریف پارامتر  $\beta = \eta_{m0} / \eta_0$ ، مقدار لزجت حلال را می توان به شکل  $\eta_N = (1 - \beta)\eta_0$  نمایش داد. در این حالت مقدار تنش کل و معادله متشکله مدل MPTT به صورت زیر خواهد بود [۱۲]:

$$\sigma_{total} = -PI + (1 - \beta)\eta_0 \gamma + \tau \quad (48-1)$$



$$\lambda \left( \frac{\partial \tau}{\partial t} + \nabla \cdot (V \tau) \right) = \mu \beta \eta_0 \dot{\gamma} + \lambda (L \tau + \tau L^T) - g \tau \quad (49-1)$$

که  $\mu$  در رابطه فوق به شکل زیر خواهد بود:

$$\mu = \frac{1 + \xi(2 - \xi)\lambda^2 \dot{\gamma}^2}{(1 + \Gamma^2 \dot{\gamma}^2)^{(1-n)/2}} \quad (50-1)$$

مدل MPTT در شش حالت خاص به مدل های دی-گری ساده می شود:

- اگر  $\lambda = \varepsilon = \xi = \beta = 0$  و  $\eta_0 = \eta_N$  باشد، مدل به مدل سیال نیوتنی تبدیلی می شود.
- اگر  $\varepsilon = \xi = 0$ ،  $\beta = 1$  و  $\eta_0 = \eta_m = \eta_{m0}$  باشد، مدل UCM بدست می آید.
- اگر  $\varepsilon = \xi = 0$ ،  $0 < \beta < 1$  و  $\eta_0 = \eta_m = \eta_{m0}$  باشد، مدل اولدروی-دی-بی بدست می آید.
- اگر  $\xi = 0$ ،  $\beta = 1$  و  $\eta_0 = \eta_m = \eta_{m0}$  باشد، مدل MPTT به مدل ساده شده فان-تن-تنر<sup>۱</sup> (SPTT) تبدیلی می شود.
- اگر  $\beta = 1$  و  $\eta_0 = \eta_m = \eta_{m0}$  باشد، خود مدل PTT بدست می آید. مدل PTT در واقع حالتی از مدل MPTT است که برای یک ماده ویسکوالاستیک (و نه محلول آن در سیال نیوتنی) ارائه شده است.

- کاربرد مدل MPTT در حالت  $\beta = 1$  بسیاری متداول است.

مدل MPTT در جهات مختلفی برای ارائه رفتار الاستیک غیر هوکی و موده های مختلف (صورت اصلاح شده مدل فان-تن-تنر دارای چند مود<sup>۲</sup>) توسعه یافته است. که در تحقیق حاضر از این مدل به عنوان معادله متشکله استفاده شده است.

مدل سه ثابتگی-زی-کس<sup>۱</sup> [۱۳] بر مبنای دی-دگاه مولکولی بدست آمده است. امتیاز اصلی این مدل آن است که قادر به ارائه رفتار پاورلو برای ویسکوزیته و ثابت های اختلاف تنش های نرمال است. معادله متشکله این مدل به شکل زیر است:

1. Simplified Phan-Thien-Tanner model

2. Multi-mode Modified Phan-Thien-Tanner model

$$\tau + \lambda \tau_{(1)} - (\alpha \lambda / \eta_0)(\tau \cdot \tau) = \eta_0 \dot{\gamma} \quad (51-1)$$

در مدل دامبل<sup>۲</sup>، معادله متشکله بر اساس تئوری سی-نتی-ک مولکولی برای محلول های رقیق پلی-مری بدست آمده است. در اینجا نیز تنش بصورت مجموع سهم تنش حلال نیوتنی ( $\tau_s$ ) و تنش پلی-مری ( $\tau_p$ ) مدل شده است.

$$\tau = \tau_p + \tau_s \quad (52-1)$$

مطابق این مدل، رابطه زیر برای تنش پلی-مری پیشنهاد می شود [۱۴]:

$$Z \tau_p + \lambda_H \tau_{p(1)} - \lambda_H \left( \tau_p - \frac{b}{b+2} nkT \delta \right) \frac{D \ln Z}{Dt} = - \left( \frac{b}{b+2} \right) nkT \lambda_H \dot{\gamma} \quad (53-1)$$

در رابطه (۵۳-۱)،  $\lambda_H$  ثابت زمانی و  $Z$  تابعی از ناوردای اول تانسور نرخ برش است:

$$Z = 1 + \frac{3}{b} \left( \frac{b}{b+2} - \frac{tr(\tau_p)}{3nkT} \right) \quad (54-1)$$

در روابط فوق،  $b$  نسبت انرژی پتانسیلی بین مولکولی به انرژی حرارتی است. مدل دامبل مدل بسیاری مناسبی بر اساس توصیف کشیدگی و تغییر شکل مولکول ها در اثر جریان محلول است. این مدل به اشکال بسیاری متنوعی توسعه و ساده شده است. برای کسب اطلاعات بیشتر به مراجع [۱۵-۱۹] مراجعه نمایید.

مدل کای-BKZ<sup>۳</sup> بر اساس انتگرال حافظه جریان سیال ایجاد شده است [۲۰]:

$$\tau = + \int_{-\infty}^t M(t-t') \left[ \frac{\partial W}{\partial I_1} \gamma_{[0]} + \frac{\partial W}{\partial I_2} \gamma_{[0]} \right] dt' \quad (55-1)$$

این مدل بصورت عمومی رفتار غیر نیوتنی به مدل های خطی بدست آمده است. در اینجا  $M(t-t')$  تابع حافظه و  $W(I_1, I_2)$  تابع پتانسیل است. در رابطه فوق مشتقات  $\gamma_{[0]}$  و  $\gamma_{[0]}^{[1]}$

1. Giesekus model
2. Dumbbell model
3. Kaye-BKZ model

بصورت  $\gamma_{[0]} = \delta - B$  و  $\gamma^{[0]} = B^{-1} - \delta$  تعریف می شود که  $B$  معرف مشتق انگشتی تانسور نرخ برش است. لازم است که تابع پتانسیل در رابطه  $\partial W / \partial I_1 + \partial W / \partial I_2 = 1$  در  $I_1 = I_2 = 3$  صدق کند تا مدل قابل ساده شدن به مدل ویسکوالاستیک خطی باشد. در سال ۱۹۹۲ کای اقدام به اصلاح مدل خود نمود و تابع پتانسیل را بصورت جملاتی از تفرقی شکل های اصلی بیان نمود. همچنین وی ادعا نمود که  $W(I_1, I_2)$  را می توان بصورت تابعی از توان  $n$  تنش های اصلی نیز تعریف نمود.

مدل کورتیس-برد<sup>۱</sup> یک مدل انتگرالی بر اساس حافظه جریان سیال بوده که از تئوری مولکولی حاصل شده است. این مدل اصولاً برای مذاب های پلی مری طراحی شده و معادله آن بصورت زیر است [۲۱، ۲۲]:

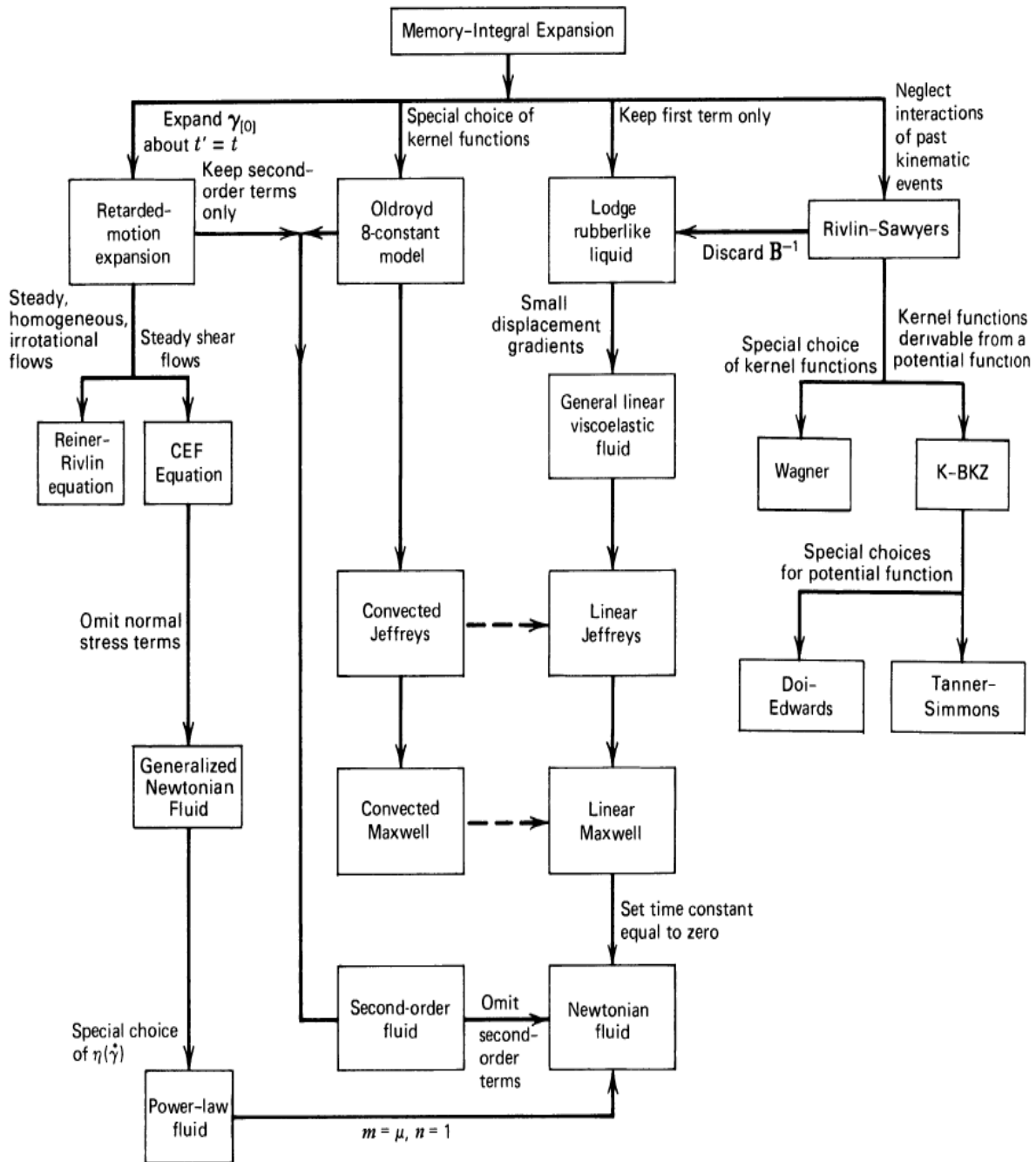
$$\tau = NnkT \left\{ \frac{1}{3} \delta - \int_{-\infty}^t \mu(t-t') A^{(2)} dt' - \frac{1}{2} \varepsilon \gamma : \int_{-\infty}^t \nu(t-t') A^{(4)} dt' \right\} \quad (۵۶-۱)$$

در رابطه فوق،  $N$  تعداد ذرات در زنجیره های مولکولی،  $n$  عدد دانسیته زنجیره ها،  $\mu$  و  $\nu$  توابع حافظه،  $A^{(2)}$  مشتق مرتبه دوم و  $A^{(4)}$  مشتق مرتبه چهارم تانسور  $\gamma^{[0]}$  است. این مدل قادر به ارائه صورت واقعی تری از توابع رئولوژیکی می باشد.

در پایان خاطر نشان می شود که یکی از روش های رایج در طبقه بندی سیالات ویسکوالاستیک، طبقه بندی یک سیال بر اساس مدل ویسکوالاستیکی است، که به نحو بهتری نسبت به سایر مدل ها قادر به ارائه رفتار آن سیال باشد. به همین دلیل روش دیگری در نامگذاری سیالات ویسکوالاستیک به صورت سیال اولدروید-بی، سیال ماکسول، سیال فان-تین-تنر و ... می باشد. در شکل (۷-۱) دیاگرام رابطه معادلات متشکله مختلف نشان داده شده است [۲].

بطور کلی برای بررسی تحلیلی یا عددی یک مسأله خاص توصیه می شود که معادله متشکله‌ای انتخاب گردد که دارای شرایط زیر باشد [۱۰]:

۱. حتی‌المکان ساده و تعداد ثابت‌های آن کم باشد.
۲. ضرایب و ثابت‌های معادله موجود بوده و یا اندازه‌گیری و تعیین آنها حتی‌المکان ساده باشد.
۳. ترجیحاً با اصول مکانیک محیط‌های پیوسته سازگار باشد.
۴. قادر به ارائه خواص مورد نظر باشد (مثلاً ارائه اثر اختلاف تنش نرمال دوم).
۵. برای شرایط عمومی مسأله طراحی شده باشد (برای مثال از مدل‌هایی که برای مسائل جریان‌های دائمی طراحی شده‌اند نمی‌توان در شرایط غیردائم استفاده نمود).
۶. ترجیحاً توسط مراجع معتبری برای حل مسأله مورد نظر و یا مسائل مشابه توصیه شده باشد.



شکل (۷-۱) رابطه بین معادلات متشکله [۲].

## ۲- فصل دوم

### پیشینه تحقیق

## ۲-۱- مقدمه

از اوایل قرن بیستم تاکنون دانش مکانیک سیالات غیر نیوتنی، موضوع بسیاری از تحقیقات تئوری و آزمایشگاهی بوده است. در این میان مطالعه سیالات ویسکوالاستیک به سبب پیچیدگی‌های حاکم بر رفتار فیزیکی و نیز کاربردهای گسترده صنعتی، نظامی و پزشکی از اهمیت خاصی برخوردار است. هدف از این تحقیق، بررسی جریان سیال ویسکوالاستیک در داخل کانال صفحه‌ای با انبساط تدریجی می‌باشد. در این فصل، گزارش مختصری از تحقیقات گذشته پیرامون جریان در تبدیلات واگرا آورده شده است. که این مطالعات در زمینه حل تجربی، تحلیلی و عددی برای جریان‌های سیال نیوتنی، غیرنیوتنی و ویسکوالاستیک می‌باشد. اما از آنجایی که فیزیک جریان سیال در کانال تفاوت زیادی با جریان در لوله‌ها دارد، تبدیلات واگرای مورد بررسی در تحقیقات پیشین به دو گروه زیر تقسیم بندی می‌شود.

- تبدیل واگرای صفحه‌ای

- تبدیل واگرای متقارن محوری

همچنین با مقایسه نتایج حاصل از این مطالعات با تحقیق اخیر، جنبه‌های نوآوری و ضرورت مطالعه تحقیق حاضر آشکارتر می‌شود. در پایان این فصل، تحقیق حاضر معرفی شده و مشخصات کلی، اهداف، کاربردها و موارد نوآوری این تحقیق مورد بحث قرار می‌گیرد. همچنین در انتها، مروری اجمالی بر ساختار کلی تحقیق حاضر صورت می‌گیرد.

## ۲-۲- جریان سیال در تبدیل واگرای صفحه‌ای

جریان سیال در تبدیل‌های واگرای صفحه‌ای از اهمیت خاصی برخوردار می‌باشد. این تبدیلات دارای هندسه تقریباً ساده و شکل جریانی نسبتاً پیچیده هستند. ابتدا تحقیقاتی که برای سیال نیوتنی انجام گرفته به صورت مختصر آورده شده است. سپس تاریخچه جریان سیالات غیرنیوتنی و ویسکوالاستیک

در تبدیل واگرا مطالعه شده است.

در بررسی جریان سیال نیوتنی داخل هندسه انبساط ناگهانی، تحقیقات ابتدایی در قالب کار تجربی، بوسیله دیورست<sup>۱</sup> و همکارانش [۲۳]، چردون<sup>۲</sup> و همکارانش [۲۴] و اووا<sup>۳</sup> و همکارانش [۲۵] انجام شده است. آنها با بررسی جریان در منطقه پایین دست انبساط ناگهانی متقارن دو بعدی، نشان دادند که برای مقادیر اعداد رینولدز کم، جریان متقارن باقی می ماند اما برای اعداد رینولدز بزرگتر شرایط عدم تقارن برای گردابه‌ها باعث ایجاد نواحی چرخشی با اندازه‌های مختلف می شود. هنگامی که جریان در تبدیلات واگرای متقارن صفحه‌ای، تقارن خود را از دست می دهد، باعث شکل گیری گردابه‌هایی با طول مختلف می شود. چنین پدیده‌ای که منجر به تولید گردابه‌های نامتقارن می شود، را پدیده شاخه‌ای شدن<sup>۴</sup> می نامند. اگر طول گردابه بر حسب رینولدز ترسیم شود این پدیده به وضوح قابل مشاهده می باشد.

مطالعه عددی جریان برای انبساط ناگهانی با نسبت انبساط ۱:۳ توسط فیرن<sup>۵</sup> و همکارانش [۲۶] و دیورست و همکارانش [۲۷] منجر به پیدا کردن عدد رینولدز بحرانی برای انتقال جریان از حالت متقارن به حالت نامتقارن و همچنین ترسیم نمودار دوشاخه‌ای شده است. بررسی عددی تأثیر نسبت انبساط روی پدیده دو شاخه شدن طول گردابه‌ها، برای سیال نیوتنی توسط بتاگلیا<sup>۶</sup> و همکارانش [۲۸] و آلربون<sup>۷</sup> و همکارانش [۲۹] انجام شده است. آنها با استفاده از حل متقارن در مطالعات خود با کاهش نسبت انبساط، بهبود پایداری را مشاهده کردند. بررسی پدیده دو شاخه‌ای برای جریان انبساط

- 
1. Durst
  2. Cherdron
  3. Ouwa
  4. Bifurcation Phenomena
  5. Fearn
  6. Battaglia
  7. Allerborn



ناگهانی صفحه‌ای در نسبت‌های انبساطی بزرگتر، توسط رویولتا<sup>۱</sup> [۳۰] مورد مطالعه قرار گرفت. همچنین آبت<sup>۲</sup> و کلین<sup>۳</sup> [۳۱] در تحقیق خود، جریان‌های آشفته نامتقارن را از میان مجراهای انبساطی متقارن صفحه‌ای مورد بررسی قرار دادند. ساختار ناپایداری پدیده چندشاخه‌ای نیز توسط میزوشیما<sup>۴</sup> و شیوتانی<sup>۵</sup> [۳۲] با استفاده از تحلیل غیر خطی مورد مطالعه قرار گرفته است.

الیویرا<sup>۶</sup> [۳۳]، ترنیک<sup>۷</sup> و همکارانش [۳۴] با استفاده از شبیه سازی عددی، مقدار عدد رینولدز بحرانی را براساس ارتفاع بالادست و میانگین سرعت ورودی کانال برابر با ۵۴ بدست آورده‌اند. با به کار گیری روش اختلاف محدود مرتبه چهار در بررسی جریان داخل کانال واگرای ناگهانی با نسبت انبساط ۱:۳ در تحقیق دریکاکیس<sup>۸</sup> [۳۵]، مقدار عدد رینولدز بحرانی ۵۳/۳ گزارش شده است. هاوا<sup>۹</sup> و روساک<sup>۱۰</sup> [۳۶] با استفاده از روش تحلیل پایداری خطی و روش اختلاف محدود روی تابع جریان و تابع ورتیسیت، برای جریان داخل کانال با نسبت انبساط ناگهانی ۱:۳ مقدار عدد رینولدز بحرانی را ۵۳/۸ گزارش کرده‌اند و در این هندسه میشر<sup>۱۱</sup> و جایارامان<sup>۱۲</sup> [۳۷] در پژوهش خود با به کار گیری روش المان محدود و روش تمدید-اختلال<sup>۱۳</sup> مقدار رینولدز بحرانی را ۵۴ بدست آورده‌اند.

در تحقیق داگتکین<sup>۱۴</sup> و اونسال<sup>۱۵</sup> [۳۸] که در زمینه سیالات نیوتنی برای تبدیل ناگهانی واگرا انجام

- 
1. Revuelta
  2. Abbott
  3. Kline
  4. Mizushima
  5. Shiotani
  6. Oliveira
  7. Ternik
  8. Drikakis
  9. Hawa
  10. Rusak
  11. Mishra
  12. Jayaraman
  13. Continuation–Perturbation
  14. Dagtekin
  15. Unsal

شده است، محدوده اعداد رینولدز و نسبت واگرایی در آن گسترده‌تر است. ( $0.1 \leq Re \leq 500$ ) و ( $1/5 \leq ER \leq 500$ ). در این تحقیق، گردابه‌ها در هر دو حالت صفحه‌ای و متقارن محوری مورد بررسی قرار گرفته است. اسکات<sup>۱</sup> و میرزا<sup>۲</sup> [۳۹] نیز در تحقیقات خود جریان آرام سیال نیوتنی در تبدیل ناگهانی واگرای صفحه‌ای را مورد بررسی قرار دادند. آنها با حل معادلات ناویر-استوکس دو بعدی با استفاده از روش المان محدود نشان دادند که گردابه‌ها در تبدیل واگرای صفحه‌ای به صورت خطی با رینولدز تغییر می‌کنند.

الیویرا و همکارانش [۴۰] با حل عددی جریان سیال نیوتنی در تبدیل واگرای ناگهانی متقارن صفحه‌ای برای نسبت‌های انبساط  $1/5 \leq ER \leq 4$  و در محدوده اعداد رینولدز  $0.1 \leq Re \leq 200$ ، طول گردابه‌ها و ضریب افت فشار را در حالت‌های مختلف به دست آوردند. همانطور که از تحقیق آنها مشاهده می‌شود، طول گردابه رابطه مستقیم با عدد رینولدز دارد و در تمام نسبت‌های واگرایی، با افزایش عدد رینولدز طول گردابه افزایش پیدا می‌کند. در اعداد رینولدز پایین، افزایش نسبت تبدیل باعث کاهش طول گردابه و در اعداد رینولدز بالا، افزایش نسبت تبدیل باعث افزایش طول گردابه‌ها می‌شود. همچنین چرک<sup>۳</sup> و چافر<sup>۴</sup> [۴۱] نیز میدان جریان در انبساط ناگهانی را با استفاده از روش حجم محدود مطالعه کردند و تأثیر نسبت انبساط‌های مختلف بر روی طول گردابه‌ها را مورد بررسی قرار دادند.

شاپیرا<sup>۵</sup> و همکارانش [۴۲] با تحلیل پایداری خطی برای جریان متقارن در انبساط ناگهانی صفحه‌ای، پدیده اتفاق افتاده در طول گردابه را مورد بررسی قرار دادند. دیورست و همکارانش [۴۳] نیز با مطالعه تجربی و عددی برای انبساط ناگهانی با نسبت انبساط ۱:۲، طول گردابه‌ها و اختلاف طول آنها

- 
1. Scott
  2. Mirza
  3. Schreck
  4. Schafe
  5. Shapira

مورد بررسی قرار دادند. فلتچر<sup>۱</sup> و همکارانش [۴۴] در تحقیقات خود با بررسی جریان در انبساط ناگهانی متقارن، تأثیر نوع پروفیل سرعت ورودی بر روی پارامترهای جریان را مورد مطالعه قرار دادند. پینهو<sup>۲</sup> و همکارانش [۴۵] نیز در تحقیقات خود با بررسی جریان در انبساط ناگهانی صفحه‌ای نشان دادند که برای اعداد رینولدز پایین، توزیع سرعت در سطح بخش انبساطی از پروفیل سهموی خود کمی منحرف می‌شود. همچنین هاوا<sup>۳</sup> و روساک<sup>۴</sup> [۴۶] نیز تأثیر عدم تقارن هندسه کانال را روی رفتار این جریان‌ها مورد مطالعه قرار دادند.

در چند دهه اخیر جریان نامتقارن سیالات غیرنیوتنی در تبدیل واگرای متقارن صفحه‌ای مورد توجه بسیاری از محققین می‌باشد. هدف بیشتر تحقیقات انجام شده در این زمینه، پیدا کردن عدد رینولدز بحرانی در نسبت‌های واگرایی مختلف و بررسی طول گردابه‌ها می‌باشد. در جریان سیالات غیرنیوتنی، تغییرات جریان که منجر به تغییرات شدت و اندازه گردابه‌ها می‌گردد، علاوه بر عدد رینولدز، به خواص غیرنیوتنی سیال نیز وابسته است. به همین دلیل، در اکثر این تحقیقات از عدد رینولدز تعمیم-یافته یا عدد رینولدز اصلاح شده استفاده می‌کنند که خواص غیرنیوتنی سیال در آن لحاظ شده باشد. بل<sup>۵</sup> و سورانا<sup>۶</sup> [۴۷] جریان همدمای سیال غیر نیوتنی را در انبساط ناگهانی متقارن با نسبت انبساط ۱:۲ مورد بررسی قرار دادند. آنها در تحقیقات خود با استفاده از مدل قانون توانی<sup>۷</sup> برای عدد رینولدز ۱۰، میزان وابستگی اندازه و طول گردابه به مقدار شاخص توانی را مورد بررسی قرار دادند. ترنیک [۴۸] تأثیرات خواص غیرنیوتنی را بر انتقال جریان از حالت متقارن به حالت نامتقارن در تبدیل واگرای ناگهانی با نسبت ۱:۳ بررسی کرده است. مدل مورد استفاده وی، سیال رقیق‌شونده توانی و

- 
1. Fletcher
  2. Pinho
  3. Hawa
  4. Rusak
  5. Bell
  6. Surana
  7. Power law

محدوده اندیس توانی و رینولدز به صورت زیر در نظر گرفته شده است:

$$10 \leq Re_{gen} \leq 150, \quad 0.6 \leq n \leq 1 \quad (1-2)$$

ترنیک [۴۸] تعریف‌های مختلفی را برای عدد رینولدز ارائه کرده است. اعداد رینولدز مورد استفاده وی، عدد رینولدز تعمیم‌یافته  $Re_{gen}$ ، عدد رینولدز اصلاح‌شده  $Re_{Mod}$  و عدد رینولدز دیواره  $Re_{wall}$  می‌باشند که همگی بر اساس مدل توانی به دست آمده‌اند و به صورت زیر تعریف شده‌اند [۴۸]:

$$Re_{gen} = \frac{6\rho V_{ave}^{2-n} H^n}{K [(4n+2)/n]}$$

$$Re_{mod} = \frac{\rho V_{Max}^{2-n} (H/2)^n}{K} \quad (2-2)$$

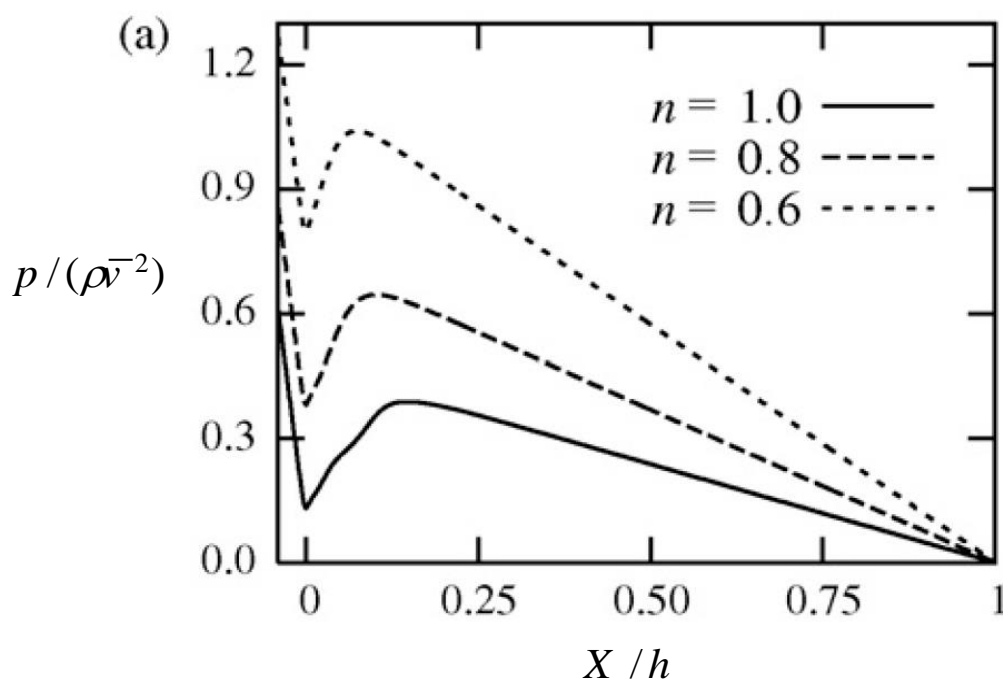
$$Re_{wall} = \frac{\rho V_{ave}^{2-n} H^n}{K [(4n+2)/n]^{n-1}}$$

که در آن،  $\rho$  چگالی سیال،  $V_{ave}$  سرعت متوسط سیال،  $H$  ارتفاع کانال،  $K$  ثابت مدل توانی،  $n$  اندیس توانی و  $V_{max}$  سرعت بیشینه سیال می‌باشد. شایان ذکر است که اعداد رینولدز مذکور، به صورت زیر با یکدیگر رابطه دارند [۴۸]:

$$Re_{mod} = \frac{1}{6} \left( \frac{2n+1}{n+1} \right)^2 \left( \frac{n+1}{n} \right)^n Re_{gen}$$

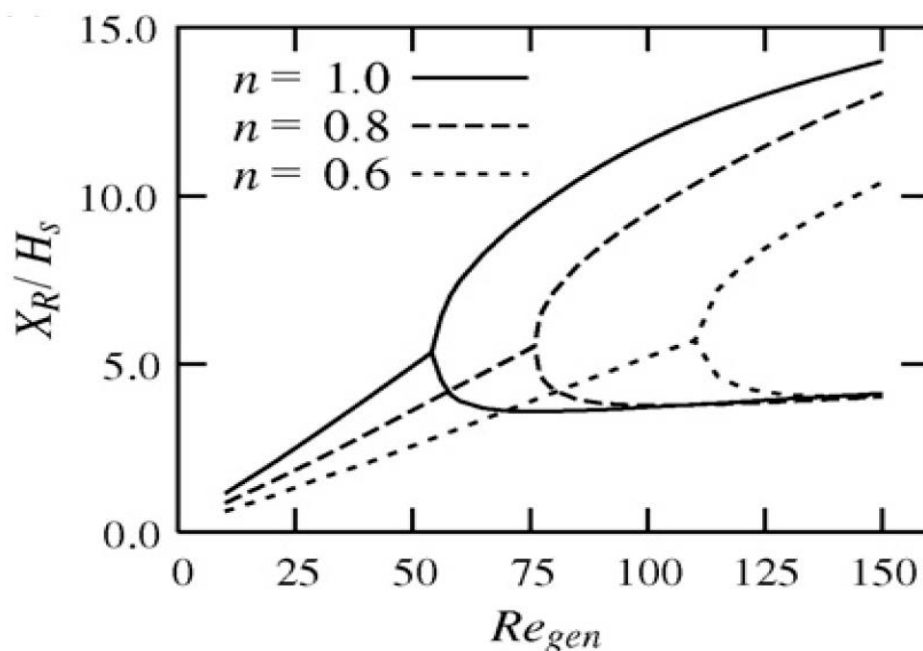
$$Re_{wall} = \frac{1}{6} \left( \frac{4n+2}{n} \right) Re_{gen} \quad (3-2)$$

نتایج ترنیک [۴۸] نشان می‌دهد که رفتار رقیق‌شوندگی سیال (کاهش اندیس توانی  $n$ ) از یک طرف باعث کاهش افت فشار جریان در تبدیلات واگرا و از طرف دیگر باعث افزایش عدد رینولدز تعمیم‌یافته بحرانی می‌شود. به عبارت دیگر رفتار رقیق‌شوندگی سیال باعث می‌شود تا جریان در سرعت‌های بالاتری نامتقارن شود. • کاهش افت فشار سیال رقیق‌شونده را به وضوح نشان می‌دهد.



شکل (۲-۱) تغییرات فشار بدون بعد در راستای محور مرکزی [۴۸].

همانطور که از شکل (۲-۲) مشاهده می شود با افزایش خاصیت رقیق شوندگی (کاهش اندیس توانی  $n$ ) سیال، نقطه آستانه ناپایداری (یعنی شروع تبدیل جریان متقارن به نامتقارن) در اعداد رینولدز بزرگتری واقع می شود. به عبارت دیگر هرچه سیال رقیق تر باشد حالت ناپایداری جریان در سرعت-های بالاتر اتفاق می افتد و عدد رینولدز تعمیم یافته بحرانی برای مدل توانی رقیق شونده بیشتر از مقدار آن برای سیال نیوتنی می باشد. همچنین در شکل (۲-۲) مشاهده می شود که هرچه خاصیت رقیق شوندگی سیال بیشتر شود فاصله بین دو شاخه کمتر می شود. این بدان معناست که در یک عدد رینولدز مشخص با افزایش خاصیت رقیق شوندگی سیال، طول گردابه کوچکتر تغییر نمی کند، اما طول گردابه بزرگتر کاهش می یابد.



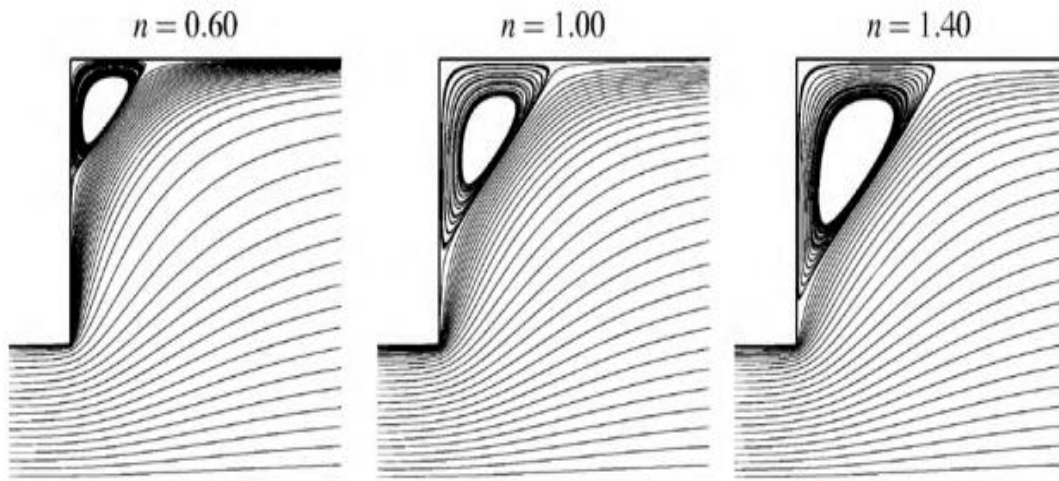
شکل (۲-۲) تغییرات طول گردابه با رینولدز تعمیم یافته برای سیال رقیق شونده [۴۸].

با افزایش بیشتر عدد رینولدز، گردابه سوم نیز تشکیل می شود و پدیده سه شاخه ای اتفاق می افتد. مشابه تأثیر رفتار رقیق شوندگی سیال بر روی طول گردابه بزرگتر، طول گردابه سوم نیز تحت تأثیر خاصیت رقیق شوندگی کاهش می یابد. همچنین با کاهش اندیس توانی  $n$ ، گردابه سوم نیز در عدد رینولدز بحرانی بزرگتری تشکیل می گردد [۴۸].

همچنین ترنیک [۴۹] با استفاده از مدل توانی، جریان خزشی را نیز در انبساط ناگهانی با نسبت تبدیل ۱:۳ مدل کرده است. ایشان برای مدل سازی خواص غیر نیوتنی، محدوده عدد رینولدز و اندیس توانی را به صورت زیر در نظر گرفته است:

$$0.0001 \leq Re_{gen} \leq 10, \quad 0.6 \leq n \leq 1 \quad (۴-۲)$$

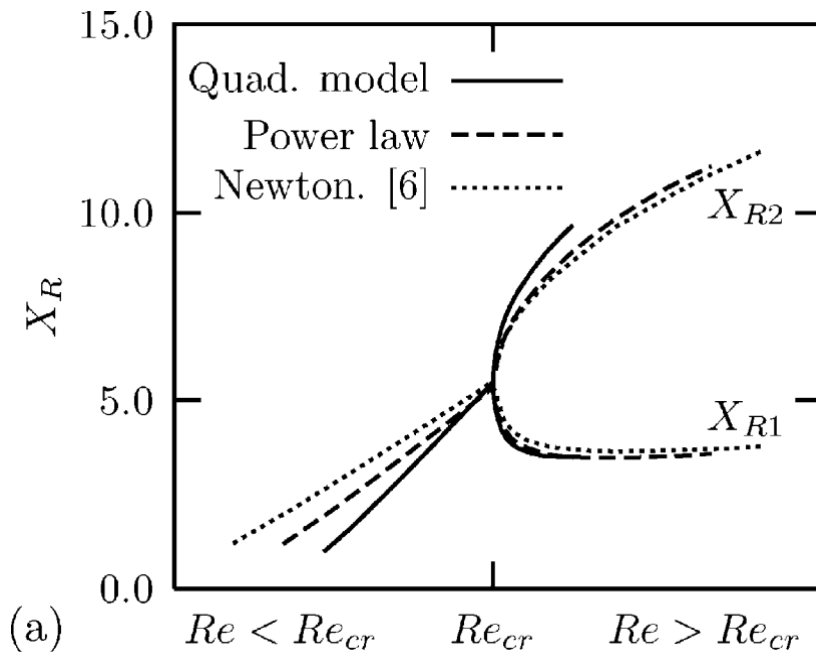
همانطور که در شکل (۱-۲) مشاهده می شود خاصیت غیر نیوتنی  $n$  رابطه مستقیم با طول گردابه دارد و با افزایش آن طول گردابه نیز زیاد می شود.



شکل (۱-۲) مقایسه خطوط جریان برای سیال غیر نیوتنی در  $Re_{gen} = 0.0001$  [۴۹].

مونیکا و همکارانش [۵۰] با استفاده از روش عددی اختلاف محدود، جریان آرام سیال غیر نیوتنی را با مدل توانی  $(0 < n \leq 2)$  برای تبدیل واگرای ناگهانی در نسبت انبساط ۱:۳ مورد بررسی قرار داده و برای هر اندیس توانی  $n$  عدد رینولدز بحرانی را گزارش کرده است. با توجه به محدوده اندیس توانی  $n$  در این تحقیق، هر دو رفتار رقیق شونده و غلیظ شونده بررسی شده است و نتایج نشان می‌دهد که رفتار رقیق شونده  $n < 1$  باعث تاخیر در ایجاد پدیده دوشاخه‌ای می‌شود و برای حالت غلیظ-شونده نتیجه عکس آن می‌باشد. البته باید به این نکته توجه کرد که در اکثر تحقیقات از عدد رینولدز تعمیم یافته  $Re_{gen}$  استفاده شده است تا تأثیر اندیس توانی  $n$  در عدد رینولدز نیز لحاظ گردد. نوفیتو [۵۱] با بررسی عددی جریان سیال غیر نیوتنی غلیظ شونده برای مدل توانی و مدل کوآدراتیک، مقادیر عدد رینولدز بحرانی را به ترتیب ۳۳ و ۴۴ گزارش کرده است. همچنین نتایج او نشان می‌دهد که طول توسعه یافتگی و افت فشار برای سیال غلیظ شونده در مقایسه با سیال نیوتنی بیشتر می‌باشد. همچنین ترنیک و همکارانش [۵۲] نیز جریان سیال غیر نیوتنی را با این دو مدل مورد بررسی قرار دادند و با بررسی طول گردابه، مقدار عدد رینولدز بحرانی را گزارش کرده و نمودار چند شاخه‌ای را

برای آن ترسیم کردند. همانطور که از شکل (۳-۲) مشاهده می شود، نقطه آستانه ناپایداری برای طول گردابه در سیال نیوتنی و سیال غیرنیوتنی (با مدل کوآدراتیک و مدل توانی) یکسان می باشد.



شکل (۳-۲) تغییرات طول گردابه نسبت به رینولدز برای سیال نیوتنی، کوآدراتیک و توانی [۵۲].

پول و همکارانش [۵۳] با تحلیل عددی جریان خزشی سیال ویسکوالاستیک برای مدل UCM<sup>۱</sup> تاثیرات عدد دבורا (De) و نسبت انبساط را بر روی پارامترهای جریان مورد بررسی قرار دادند و مشاهده کردند که با افزایش عدد دבורا، اندازه و شدت گردابه‌های ایجاد شده کاهش پیدا می کند. همچنین آنها در تحقیقات خود با بررسی جریان سیال نیوتنی و سیال ویسکوالاستیک در نسبت انبساط‌های مختلف، روابطی کلی برای طول گردابه و افت فشار ارائه دادند. روابط زیر برای محاسبه طول گردابه و ضریب افت فشار در جریان سیال نیوتنی برای نسبت انبساط‌های مختلف می باشد [۵۳].

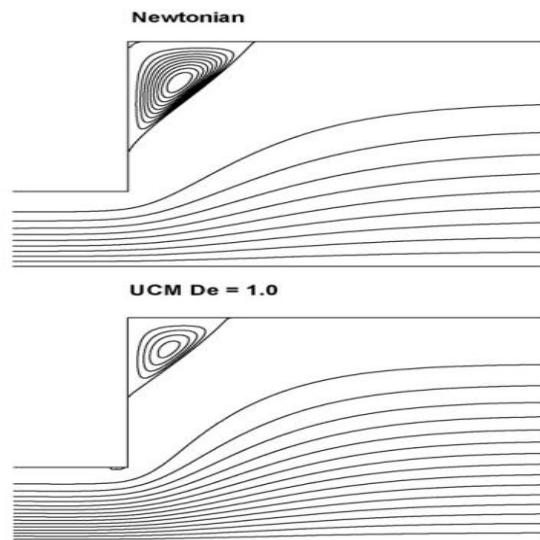
1. Upper Convected Maxwell



$$\frac{X_R}{D} = \frac{1.01(ER - 1)^{1.1}}{1 + 2.42(ER - 1)^{1.1}} \quad (5-2)$$

$$C = \frac{0.31(ER - 1)}{\sqrt{1 + 0.56(ER - 1)^2}} \quad (6-2)$$

همچنین پول و همکارانش [۵۴] در تحقیقی دیگر نیز، جریان خزشی سیال ویسکوالاستیک را با استفاده از سه مدل UCM<sup>۱</sup>، اولدرویید B<sup>۲</sup> و LPTT<sup>۳</sup> برای انبساط ناگهانی با نسبت تبدیل ۱:۳ مورد مطالعه قرار دادند. آنها مشاهده کردند که خاصیت الاستیک سیال ویسکوالاستیک، باعث کاهش اندازه و شدت گردابه‌های جریان می‌شود. برای سیال نیوتنی که فقط خاصیت ویسکوز دارد، مقدار عدد دבורا برابر صفر می‌باشد. سیال ویسکوالاستیک هر دو خاصیت ویسکوز و الاستیک را با هم دارا می‌باشد، که هرچه عدد دבורا بزرگتر باشد تأثیر خاصیت ویسکوز کم و خاصیت الاستیک بیشتر می‌شود. در شکل (۴-۲) تأثیر این خاصیت الاستیک (عدد دבורا) بر روی گردابه مشاهده می‌شود.

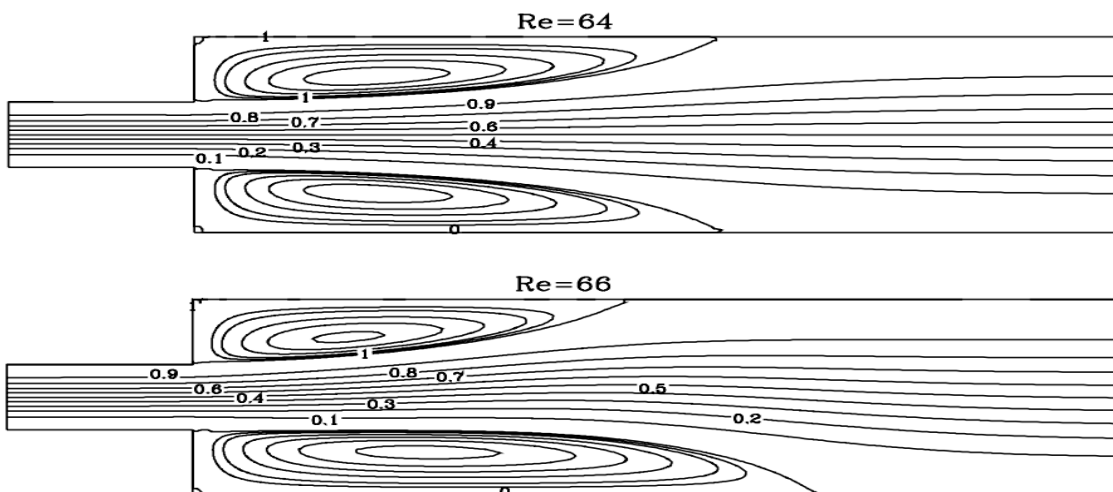


شکل (۴-۲) مقایسه خطوط جریان برای سیال نیوتنی و ویسکوالاستیک (با مدل UCM) [۵۴]

1. Upper Convected Maxwell
2. Oldroyd-B
3. Linear Phan-Thien-Tanner

بلاچ و همکارانش [۵۵] تحلیل عددی جریان سیال ویسکوالاستیک را در تبدیلهای همگرا و واگرا با استفاده از روش المان محدود انجام داده‌اند. در این تحقیق، بیشتر روی اندازه گردابه‌ها بحث شده است. از نتایج این تحقیق این است که افزایش اینرسی جریان در تبدیلات واگرا باعث افزایش طول گردابه شده، در صورتی که عکس این قضیه در تبدیلات همگرا صادق است.

الیویرا [۳۳] جریان سیال ویسکوالاستیک با لزجت ثابت را برای تبدیل واگرای صفحه‌ای به صورت عددی حل کرده است، که مدل مورد استفاده در آن، مدل FENE-CR و نسبت تبدیل ۱:۳ می باشد. در این تحقیق تأثیرات پارامترهای غلظت، توسعه‌پذیری و عدد وایزبرگ بر روی طول گردابه و خطوط جریان مورد بررسی قرار گرفته و در نهایت نمودار شاخه‌ای آن نیز ترسیم شده است. در شکل (۲-۵) تأثیرات افزایش رینولدز بر ناپایداری جریان سیال ویسکوالاستیک کاملاً واضح است.



شکل (۲-۵) اثر افزایش رینولدز بر شاخه‌ای شدن جریان سیال ویسکوالاستیک [۳۳].

همچنین از نتایج مطالعه عددی الیوی را [۱۱] می‌توان به موارد زیر اشاره کرد:

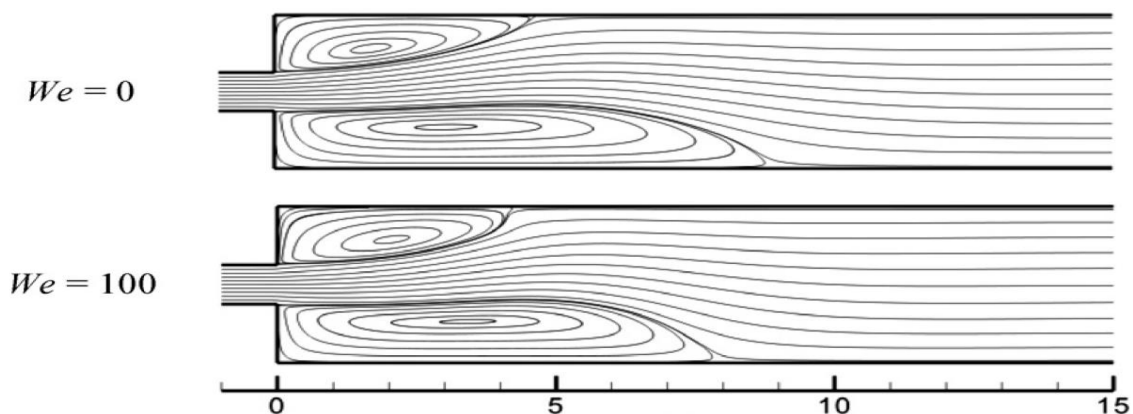
- بیشتر شدن خاصیت الاستیک باعث افزایش افت فشار جریان می‌شود، در نتیجه افت فشار سیال ویسکوالاستیک بیشتر از سیال نیوتنی می‌باشد.

• عدد ری-نولدز بحرانی برای سیال ویسکوالاستیک نسبت به سیال نیوتنی و غیر نیوتنی بزرگتر است. بنابراین می توان گفت که خاصیت الاستیک پایداری رژی-م جریان آرام را افزایش می دهد.

• اندازه و شدت گردابه های ویسکوالاستیک در مقایسه با سیال نیوتنی کوچکتر هستند. همچنین روچا و همکارانش [۵۶] جریان سیال ویسکوالاستیک را با استفاده از مدل FENE-CR و حل عددی برای نسبت تبدیل ۱:۴ انجام دادند. در تحقیق آنها محدوده اعداد  $Re$  و  $We$  به صورت زیر در نظر گرفته شده است:

$$0.01 \leq Re \leq 100, \quad 0 \leq We \leq 100 \quad (7-2)$$

در این مطالعه نیز مانند سایر مطالعات پیشین، خاصیت الاستیک سیال باعث کاهش طول گردابه ها می شود که این نتیجه در شکل (۶-۲) به وضوح دیده می شود.



شکل (۶-۲) خطوط جریان سیال ویسکوالاستیک برای  $Re=40$  [۵۶].

### ۳-۲- جریان سیال در تبدیل واگرای متقارن محوری

جریان سیال در تبدیل واگرای متقارن محوری نسبت به جریان در تبدیل واگرای صفحه ای مورد توجه کمتری واقع شده است. این در صورتی است که کاربردهای صنعتی جریان در تبدیل واگرای متقارن محوری بیشتر می باشد [۳۵].

الیویرا در مرجع [۳۳] بیان می‌کند که در تبدیلات واگرای متقارن محوری، پدیده شاخه‌ای شدن یا همان اختلاف اندازه گردابه‌ها، اتفاق نمی‌افتد. همچنین الیویرا و همکارانش [۴۰] جریان سیال نیوتنی را برای تبدیل واگرای متقارن محوری در نسبت انبساط‌های  $1.5 \leq ER \leq 4$  و اعداد رینولدز  $0.5 \leq Re \leq 200$  به صورت عددی حل کردند و ضریب افت فشار و طول گردابه‌ها را به دست آوردند. همچنین آنها در تحقیق خود، طول گردابه بدون بعد  $\frac{x_R}{h}$  در اعداد رینولدز و نسبت‌های واگرایی مختلف را به صورت جدول (۱-۲) ارائه دادند.

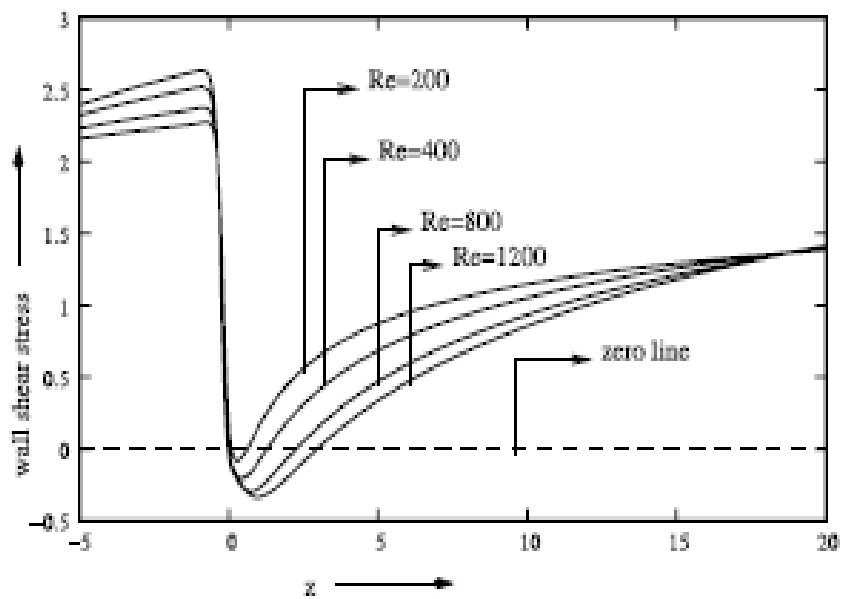
جدول (۱-۲) طول گردابه بدون بعد سیال نیوتنی در اعداد رینولدز و نسبت‌های واگرایی مختلف [۴۰].

ER=۴	ER=۳	ER=۲/۶	ER=۲	ER=۱/۵	Re
۰/۴۵۰	۰/۴۸۱	۰/۴۹۰	۰/۵۲۹	۰/۶۰۳	۰/۵
۰/۴۷۵	۰/۵۰۵	۰/۵۱۰	۰/۵۴۹	۰/۶۱۵	۱
۰/۵۲۹	۰/۵۵۷	۰/۵۶۰	۰/۵۹۲	۰/۶۴۲	۲
۰/۶۲۱	۰/۶۴۵	۰/۶۵۰	۰/۶۶۴	۰/۶۸۹	۳/۵
۰/۷۲۶	۰/۷۴۶	۰/۷۴۰	۰/۷۴۶	۰/۷۳۶	۵
۱/۱۴	۱/۱۵	۱/۱۱	۱/۰۷	۰/۹۲۶	۱۰
۱/۳۸	۱/۳۸	۱/۳۳	۱/۲۶	۱/۰۳	۱۲/۵
۱/۸۹	۱/۸۷	۱/۷۹	۱/۶۵	۱/۲۴	۱۷/۵
۲/۶۹	۲/۶۴	۲/۵۱	۲/۲۷	۱/۵۷	۲۵
۳/۷۹	۳/۷۱	۳/۵۱	۳/۱۲	۲/۰۳	۳۵
۵/۴۸	۵/۳۳	۵/۰۴	۴/۴۳	۲/۷۳	۵۰
۱۱/۱	۱۰/۸	۱۰/۲	۸/۸۷	۵/۲۰	۱۰۰

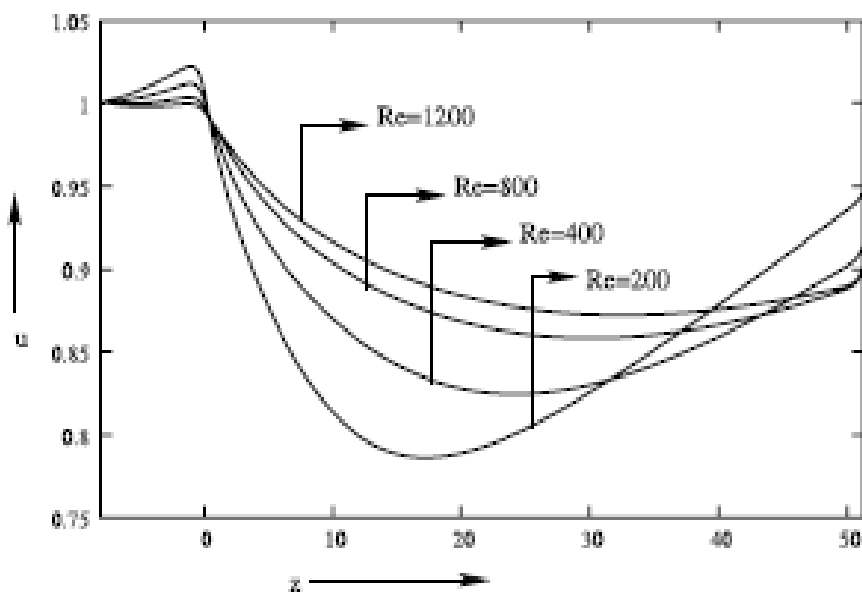
همانطور که از جدول (۱-۲) مشخص است، طول گردابه رابطه مستقیم با عدد رینولدز دارد و در همه نسبت‌های واگرایی با افزایش رینولدز، طول گردابه نیز افزایش پیدا می‌کند. در اعداد رینولدز پایین، افزایش نسبت تبدیل باعث کاهش طول گردابه و در اعداد رینولدز بالا، افزایش نسبت تبدیل باعث

افزایش طول گردابه‌های سیال نیوتنی در تبدیل واگرای متقارن محوری می‌شود. اسکات و همکارش [۳۹] با حل معادلات ناویر-استوکس دو بعدی با استفاده از روش المان محدود، جریان آرام سیال نیوتنی در تبدیل واگرای متقارن محوری را مورد بررسی قرار دادند. نتایج این تحقیق نشان می‌دهد که طول گردابه‌ها در تبدیل متقارن محوری به صورت خطی با عدد رینولدز تغییر می‌کنند و این مشابه تغییرات طول گردابه‌ها با عدد رینولدز در تبدیل واگرای صفحه‌ای می‌باشد. همچنین در تحقیقی دیگر که توسط داگتکین و اونسال [۳۸] برای سیال نیوتنی در تبدیل متقارن محوری انجام شده، محدوده عدد رینولدز و نسبت واگرایی در آن گسترده‌تر است ( $0.1 \leq Re \leq 500$ ,  $1.5 \leq ER \leq 10$ ). در این تحقیق نیز طول گردابه‌ها مورد بررسی قرار گرفته و خطوط جریان برای آن ترسیم شده است.

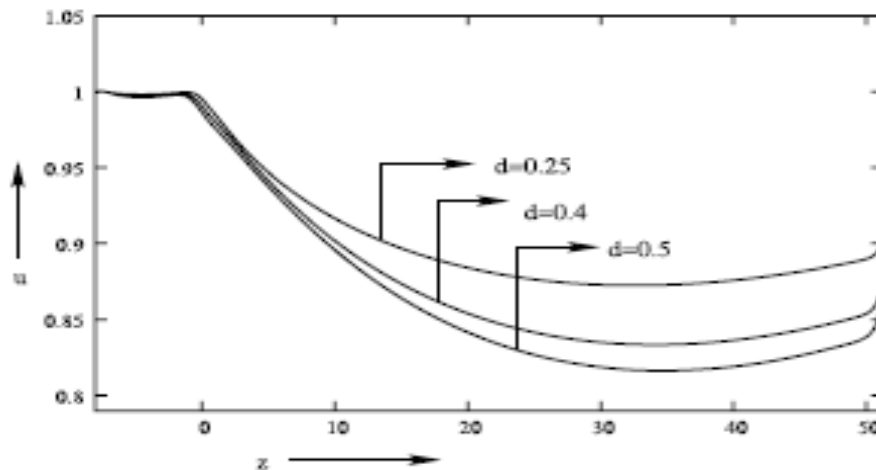
لایک و همکارش [۵۸] جریان آرام سیال نیوتنی را در تبدیل متقارن محوری برای انبساط تدریجی با روش اختلاف محدود مورد بررسی قرار دادند. آنها در تحقیقات خود اثر عدد رینولدز و ارتفاع بخش انبساطی را بر روی تنش دیواره، سرعت محوری و توزیع فشار مورد مطالعه قرار دادند. آنها در تحقیق خود با توجه به شکل (۲-۷) مشاهده کردند که با افزایش ارتفاع بخش انبساطی یا افزایش عدد رینولدز، مقدار بیشینه تنش برشی روی دیواره کاهش می‌یابد. همچنین آنها با ترسیم شکل (۲-۸) و شکل (۲-۹) نشان دادند که با افزایش عدد رینولدز یا کاهش ارتفاع بخش انبساطی، سرعت روی خط مرکزی لوله کمتر افت پیدا می‌کند.



شکل (۷-۲) تنش برشی روی دیواره دیفیوزور در اعداد ریتولدز مختلف برای  $d=0.25$  [۵۸].

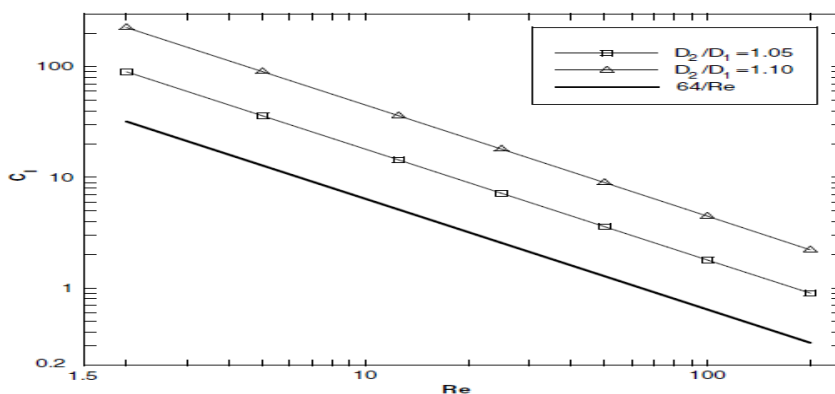


شکل (۸-۲) سرعت روی خط مرکزی دیفیوزور در اعداد ریتولدز مختلف برای  $d=0.25$  [۵۸].



شکل (۲-۹) سرعت روی خط مرکزی دیفیوزر در ارتفاع های مختلف بخش انبساطی برای  $Re=1200$  [۵۸].

روسا و پینهو [۵۹] با استفاده از روش حجم محدود و شبکه نامتعامل، ضریب افت فشار جریان سیال نیوتنی را برای دیفیوزر مورد مطالعه قرار دادند، که از نتایج تحقیق آنها، بدست آمدن جدولی برای ضریب افت فشار بر حسب عدد رینولدز در نسبت تبدیل ها و زوایای مختلف می باشد. همانطور که در شکل (۲-۱۰) مشاهده می کنید برای زاویه  $0.5^\circ$  درجه، ضریب افت برگشت ناپذیر با افزایش عدد رینولدز کاهش پیدا می کند و مقدار این ضریب افت از ضریب اصطکاک داری در نسبت تبدیل های مختلف بیشتر می باشد.



شکل (۲-۱۰) ارزیابی ضریب افت برگشت ناپذیر در اعداد رینولدز مختلف

و مقایسه با ضریب اصطکاک داری در زاویه  $0.5^\circ$  درجه [۵۹].

نوفیتو [۵۱] با بررسی عددی جریان سیال غیرنیوتنی رقیق‌شونده برای مدل توانی در تبدیل واگرای متقارن محوری، یک رابطه کلی برای افت فشار بدست آورده است که این رابطه تابعی از عدد رینولدز و اندیس توانی  $n$  می باشد.

پاک و همکارانش [۶۰] با بررسی تجربی جریان سیال ویسکوالاستیک در تبدیل واگرای متقارن محوری، تأثیر خواص غیرنیوتنی و ویسکوالاستیک را بر روی طول گردابه‌ها در نسبت‌های تبدیل ۲ و ۲/۶۶۷ مورد مطالعه قرار دادند. نتایج این تحقیق نشان می‌دهد که برای رژیم جریان آرام، طول گردابه‌ها در سیال ویسکوالاستیک نسبت به سیال نیوتنی کمتر است و در رژیم جریان آشفته طول گردابه‌های سیال ویسکوالاستیک چند برابر سیال نیوتنی می‌باشد. همچنین عدد رینولدز در مطالعه مذکور، به صورت عدد رینولدز تعمیم‌یافته تعریف شده است تا اندیس توانی  $n$ ، در آن منظور شده باشد.

در پایان نامه مسیبی درچه [۵۷] با استفاده از روش اختلاف محدود بر مبنای شبکه جابجا شده، جریان سیال غیر نیوتنی و سیال ویسکوالاستیک در تبدیل واگرای متقارن محوری به صورت عددی مورد بررسی قرار گرفته است. ایشان با استفاده از مدل توانی برای سیال غیر نیوتنی و مدل CEF<sup>۱</sup> برای سیال ویسکوالاستیک، پارامترهای جریان را مورد مطالعه قرار داده است. از نتایج این تحقیق می‌توان به طور خلاصه به موارد زیر اشاره کرد [۵۷].

- خاصیت الاستیک سیال، باعث کاهش بی‌شی‌نه سرعت محور در مرکز می‌شود.
- کم شدن اندیس توانی ( $n \leq 1$ ) باعث کاهش افت فشار و افزایش خاصیت الاستیک باعث افزایش افت فشار می‌گردد.

1. Criminale-Eriksen-Filbey model



- طول جریان در حال توسعه سیال رقیق‌شونده و ویسکوالاستیک از سیال نیوتنی بی‌شتر می‌باشد. در حالت کلی، کاهش اندیس توانی، باعث افزایش طول در حال توسعه جریان و افزایش خاصیت الاستیک باعث کاهش این طول می‌شود.
- گردابه‌های ایجاد شده برای سیال ویسکوالاستیک و سیال رقیق‌شونده بزرگتر از سیال نیوتنی می‌باشد.
- کاهش اندیس توانی  $n$  باعث افزایش طول گردابه و افزایش اختلاف تنش نرمال اول باعث کاهش طول گردابه می‌شود و اختلاف تنش نرمال دوم تاثیری بر طول گردابه‌ها ندارد.

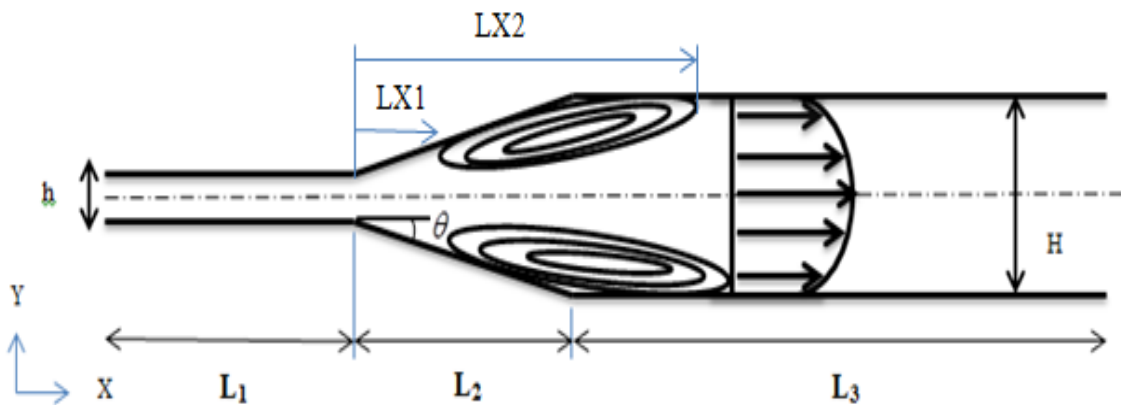
## ۴-۲- تحقیق حاضر

در این تحقیق، جریان سیال ویسکوالاستیک برای کانال صفحه‌ای با انبساط تدریجی در زوایای مختلف مورد بررسی قرار می‌گیرد. در این تحقیق، میدان جریان به شکل آرام و توسعه یافته می‌باشد و جریان فاقد هر گونه انتقال حرارتی است. سیال ویسکوالاستیک به صورت تراکم ناپذیر در نظر گرفته شده و مساله به صورت دو بعدی می‌باشد. در این مطالعه برای نخستین بار، از مدل چهار ثابت  $MPTT^1$  [۶۱] به عنوان معادله ساختاری سیال ویسکوالاستیک برای کانال واگرا بهره گرفته شده است. از این مدل برای بررسی رفتار محلول‌های پلیمری در غلظت‌های مختلف استفاده می‌شود. امتیاز اصلی این مدل آن است که قادر به ارائه رفتار توانی برای ویسکوزیته و ثابت‌های اختلاف تنش های نرمال<sup>۲</sup> می‌باشد. بنابراین می‌توان با استفاده از آن، اثرات اختلاف تنش نرمال اول و دوم بر جریان را نیز مشاهده نمود. همچنین در این مدل به دلیل وابستگی ویسکوزیته به نرخ برش، رفتار سیال ویسکوالاستیک با دقت بالایی مدل‌سازی می‌شود.

---

1. Giesekus  
2. Stress differences

در شکل (۱۱-۲) نمایی شماتیک از هندسه مساله به همراه ابعاد آن نشان داده شده است. در این پژوهش، به دلیل وجود شرایط ناپایداری و غیر متقارن بودن جریان، هندسه مساله به صورت کامل در نظر گرفته شده است. مطابق شکل (۱۱-۲) پارامترهای هندسی مسئله، شامل طول و ارتفاع بخش بالادست جریان یا بخش اول  $(L_1, h)$ ، طول و ارتفاع بخش پایین دست جریان یا بخش سوم  $(L_3, H)$ ، طول و زاویه دهانه بخش دوم  $(L_2, \theta)$ ، اختلاف طول ابتدا و انتهای هر گردابه از ابتدای گردابه اول  $(DX_r)$  می باشد.



شکل (۱۱-۲) شکل شماتیک هندسه مسئله

در اینجا به منظور مدل سازی عددی جریان سیال ویسکوالاستیک، از نرم افزار منبع باز OpenFOAM<sup>۱</sup>، که یک جعبه ابزار دینامیک سیالات محاسباتی<sup>۲</sup> (CFD) است، استفاده شده است. نرم افزار OpenFOAM توسط "OpenCFD Ltd" تحت مجوز عمومی گنو و در تاریخ ۱۱ دسامبر ۲۰۰۴ ایجاد شده و به صورت منبع باز و آزاد موجود می باشد. به علت آزاد یا باز بودن منبع کد مذکور امکان بررسی تمامی جنبه های کد نویسی از جمله تغییر و توسعه آن برای کاربر فراهم می باشد. هسته انعطاف پذیر و کارآمد OpenFOAM، از مجموعه ای از کدهای نوشته شده توسط برنامه ++C ایجاد

1. Open File Operation and Manipulation  
2. Computational Fluid Dynamics

شده است که در قالب حل‌گره‌هایی<sup>۱</sup>، توانایی شبیه‌سازی انواع جریان‌ات سیال را برای هندسه‌های مختلف دارا می‌باشد. لازم به توضیح است که روش عددی به کار گرفته شده در این نرم افزار، روش حجم محدود می‌باشد. در این تحقیق، گسسته‌سازی ترم‌های مکانی و زمانی از مرتبه دو می‌باشد تا دقت بیشتری در حل معادلات حاکم حاصل شود. همچنین به منظور کوپلینگ میدان سرعت و فشار از الگوریتم تکرار پیزو<sup>۲</sup> استفاده شده است [۶۲]. همچنین اثرات خاصیت الاستیک سیال بر پارامترهای جریان نیز مورد مطالعه قرار گرفته است.

## ۵-۲- جنبه‌های نوآوری

به طور خلاصه جنبه‌های نوآوری حاصل از تحقیق حاضر عبارتند از:

- تحقیقات انگشت شماری در خصوص جریان سیال ویسکوالاستیک در داخل کانال واگرا صورت گرفته است. اما پژوهش حاضر نخستین تحقیقی محسوب می‌شود که در آن از مدل MPTT به عنوان معادله ساختاری سیال ویسکوالاستیک بهره گرفته شده است.
- همچنین برای اولین بار، در این تحقیق جریان سیال ویسکوالاستیک در داخل کانالی با انبساط تدریجی در زوایای مختلف مورد مطالعه قرار گرفته است.
- در این تحقیق جریان سیال ویسکوالاستیک در داخل کانال، برای زوایای مختلف در محدوده وسیعی از عدد وایزبرگ بررسی شده و تأثیرات زوایا و خاصیت الاستیک سیال ویسکوالاستیک، بر روی مشخصات گردابه‌ها مورد مطالعه قرار گرفته است.
- تأثیرات عدد رینولدز بر پارامترهای جریان سیال ویسکوالاستیک با استفاده از مدل رئولوژیکی MPTT مورد مطالعه قرار گرفته است.

1. Solvers  
2. PISO

## ۲-۶- ساختار کلی

به طور خلاصه ساختار کلی تحقیق حاضر به صورت زیر می باشد :

- در فصل سوم، روابط فیزیکی حاکم بر جریان سیال ویسکوالاستیک در داخل کانال و برخی روابط مورد نیاز ارائه می شود.
- در فصل چهارم، روش عددی به کار گرفته شده در تحقیق حاضر معرفی شده و نحوه گسسته سازی معادلات حاکم و همچنین اعمال شرایط مرزی با استفاده از نرم افزار OpenFOAM آورده شده است.
- در فصل پنجم نتایج حاصل از حل عددی ارائه شده است. در این فصل، ابتدا صحت نتایج حاصل از حل عددی ارزیابی شده و استقلال پاسخهای عددی از شبکه تحقیق می شود. در ادامه، تأثیر عدد رینولدز، عدد وایزنبرگ و اندازه زاویه انبساطی بر مشخصه های جریان مورد بررسی قرار گرفته و در انتهای این فصل جمع بندی آورده شده است.

## ۳- فصل سوم

### معادلات حاکم

### ۳-۱- مقدمه

در این فصل معادلات حاکم بر جریان سیال ویسکوالاستیک در دستگاه‌های مختصات کارتیزین ارائه می‌گردد. معادلات و روابط فیزیکی ارائه شده در این فصل برای مطالعه عددی جریان در داخل کانال واگرای تدریجی با زوایای مختلف می باشد.

### ۳-۲- معادلات حاکم بر جریان

معادلات حاکم برای جریان آرام سیال ویسکوالاستیک شامل معادله پیوستگی و معادله بقای مومنتوم می باشد که به ترتیب در زیر آورده شده است [۲].

$$\nabla \cdot V = 0 \quad (۱-۳)$$

$$\rho \left( \frac{\partial u}{\partial t} + u \cdot \nabla V \right) = -\nabla p + \nabla \cdot \tau \quad (۲-۳)$$

در معادلات فوق  $u$  بردار سرعت،  $P$  معرف فشار،  $\rho$  معرف چگالی و  $\tau$  تانسور تنش کلی می باشد.

تنش کلی شامل مجموع تنش حلال نیوتنی ( $\tau_s$ ) و تنش ماده پلیمری ( $\tau_p$ ) بر واحد چگالی

می باشد.

$$\tau = \tau_s + \tau_p \quad (۳-۳)$$

معادله ساختاری برای توصیف رابطه بین تنش و نرخ برش در حلال نیوتنی به صورت زیر می باشد.

$$\tau_s = \eta_s \dot{\gamma} \quad (۴-۳)$$

که در آن  $\eta_s$  ویسکوزیته حلال نیوتنی و  $\dot{\gamma}$  تانسور نرخ برش است و تانسور نرخ برش از رابطه زیر

بدست می آید.

$$\dot{\gamma} = \nabla u + |\nabla u|^T \quad (۵-۳)$$

در این تحقیق سهم تنش ناشی از خاصیت الاستیک سیال ویسکوالاستیک با استفاده از حل معادله ساختاری مدل PTT در نظر گرفته شده است [۶۳].

$$f(tr \tau_p) \tau_p + \lambda \left( \tau_{p(1)} + \zeta (\tau_p D + D \tau_p) \right) = 2 \eta_p D \quad (۶-۳)$$

در رابطه (۶-۳)،  $\tau_{p(1)}$  مشتق فوق همرفتی<sup>۱</sup> تانسور تنش پلیمری،  $\lambda$  زمان آسودگی<sup>۲</sup> از تنش،  $\eta_p$  ویسکوزیته ماده پلیمری در نرخ برش صفر،  $D$  نرخ تغییر شکل و  $\varepsilon$ ،  $\zeta$  از ثابت‌های ماده می باشند در تحقیقات صورت گرفته برای مدل PTT، سه حالت را برای تابع  $f(tr \tau_p)$  در نظر می گیرند [۶۳].

$$f(tr \tau_p) = \begin{cases} 1 + \frac{\varepsilon \lambda}{\eta_p} tr \tau_p & \text{Linear PTT} \\ 1 + \frac{\varepsilon \lambda}{\eta_p} tr \tau_p + \frac{1}{2} \left( \frac{\varepsilon \lambda}{\eta_p} tr \tau_p \right)^2 & \text{Quadratic PTT} \\ \exp \left( \frac{\varepsilon \lambda}{\eta_p} tr \tau_p \right) & \text{Exponential PTT} \end{cases} \quad (۷-۳)$$

در معادله (۷-۳) حالت اول را به صورت مخفف با LPTT (مدل PTT خطی) و حالت دوم را به صورت مخفف با QPTT (مدل PTT درجه دوم) و حالت سوم را به صورت مخفف با EPTT (مدل PTT نمائی) نشان می دهند. مشتق فوق همرفتی برای تانسور تنش پلیمری به صورت زیر می باشد [۲].

$$\tau_{p(1)} = \frac{D}{Dt} \tau_p - [\nabla u^T \cdot \tau_p] - [\tau_p \cdot \nabla u] \quad (۸-۳)$$

که در آن  $\frac{D}{Dt} \tau_p$  مشتق مادی<sup>۳</sup> برای تنش پلیمری است که به صورت رابطه (۹-۳) بیان می شود.

$$\frac{D}{Dt} \tau_p = \frac{\partial}{\partial t} \tau_p + [u \cdot \nabla \tau_p] \quad (۹-۳)$$

- 
1. Upper convected derivative
  2. Relaxation Time
  3. Material derivative

در این پژوهش جهت تعیین نسبت نیروی ناشی از خاصیت الاستیک به نیروی ویسکوز از عدد بی بعد وایزنبرگ و به منظور تعیین نسبت نیروی اینرسی به نیروی ویسکوز، از عدد بی بعد رینولدز بهره گرفته شده است [۶۳].

$$We = \lambda_p \frac{U_{in}}{h} \quad (10-3)$$

$$Re = \frac{\rho U_{in} h}{\eta_0} \quad (11-3)$$

که در روابط بالا  $h$  ارتفاع جریان بالادست کانال،  $\lambda_p$  زمان آسودگی<sup>۱</sup> از تنش برای ماده پلیمری،  $\rho$  چگالی محلول و  $\eta_0$  مجموع ویسکوزیته حلال نیوتنی و ماده پلیمری می باشد. در صورتی که ماده پلیمری دارای چند مد باشد، ویسکوزیته ماده پلیمری برابر مجموع ویسکوزیته هر مد می شود و زمان آسودگی از تنش برای ماده پلیمری از رابطه زیر بدست می آید [۶۳].

$$\eta_0 = \eta_p + \eta_s, \quad \eta_p = \sum_{k \neq solvent} \eta_k \quad (12-3)$$

$$\lambda_p = \sum_{k \neq solvent} \frac{\eta_k \lambda_k}{\eta_p}, \quad \eta_p = \sum_{k \neq solvent} \eta_k \quad (13-3)$$

### ۳-۳- فرضیات مساله

در تحقیق حاضر، هندسه مسئله به صورت دوبعدی و جریان سیال تراکم ناپذیر در نظر گرفته شده است. محدوده اعداد رینولدز مورد استفاده در تحقیق حاضر برای رژیم جریان آرام می باشد و به طور خلاصه می توان فرضیات اصلی در نظر گرفته شده در این پژوهش را به شرح زیر بیان نمود.

۱. جریان دو بعدی و آرام است.

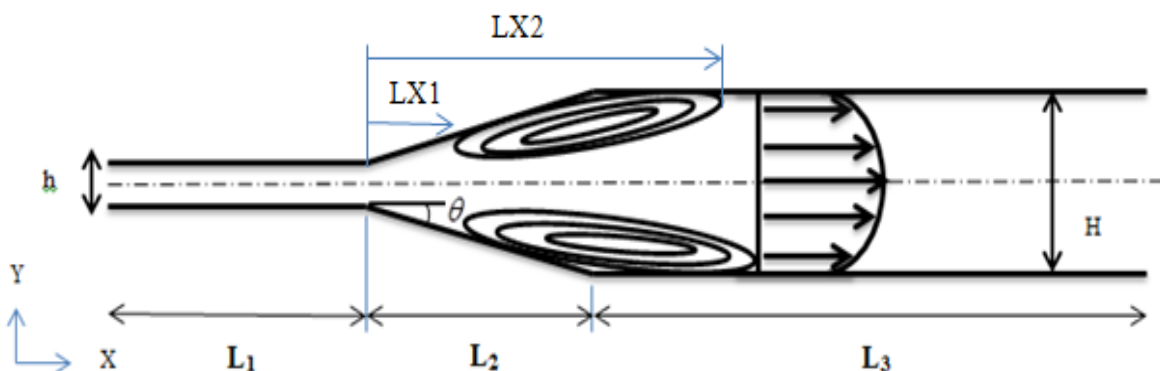
۲. سیال ویسکوالاستیک و تراکم ناپذیر است.



۳. دما ثابت در نظر گرفته شده است، به طوریکه جریان به دما وابسته نمی‌باشد.
۴. رینولدز در نظر گرفته شده در محدوده‌ای می‌باشد که رژیم جریان آرام می‌باشد.
۵. از اثرات شتاب جاذبه و نیروهای حجمی صرفه نظر شده است.

### ۳-۴- هندسه مسئله

مطابق شکل (۱-۳) پارامترهای هندسی مسئله، شامل طول و ارتفاع بخش بالادست جریان یا بخش اول ( $L_1, h$ )، طول و ارتفاع بخش پایین دست جریان یا بخش سوم ( $L_3, H$ )، طول و زاویه انبساطی بخش دوم ( $L_2, \theta$ )، طول ابتدا و انتهای هر گردابه از ورودی بخش دوم ( $LX_1$ ) می‌باشد. با داشتن مقادیر ابتدا و انتهای هر گردابه و تفاضل آنها از هم، می‌توان طول هر گردابه ( $DX_r$ ) را در مجاور دیوار بالا و پایین بدست آورد. البته باید توجه داشت که نسبت های هندسی  $L_1/h$  و  $L_3/H$  باید به اندازه کافی بزرگ باشند تا جریان در هر دو بخش بالادست و پایین دست کانال (بخش اول و سوم)، به حالت توسعه یافتگی برسد. که در تحقیق حاضر برای اطمینان از این موضوع، طول بخش اول ۲۰ برابر و طول بخش سوم ۶۰ برابر ارتفاع بخش اول در نظر گرفته شده است.



شکل (۱-۳) نمایه شماتیک هندسه مسئله

### ۳-۵- شرایط مرزی و شرایط اولیه

در مجاور دیواره‌های کانال از شرط عدم لغزش برای سرعت استفاده شده است و گرادیان فشار و تنش در راستای عمود بر دیواره کانال صفر می‌باشد.

$$\textcircled{a} \text{ Wall Boundary : } \frac{\partial p}{\partial n} = 0, \frac{\partial \tau}{\partial n} = 0, U_x = 0, U_y = 0 \quad (14-3)$$

شایان ذکر است که به مانند سیال نیوتنی، در سیالات ویسکوالاستیک نیز اعمال شرط مرزی عدم لغزش بر روی دیوار جامد رایج است. به طور کلی اعمال این شرط برای جامدات ویسکوالاستیک چندان صحیح به نظر نمی‌رسد، اما برای سیالات ویسکوالاستیک در محدوده وسیعی از عدد دوبرا این شرط با دقت قابل قبولی صادق است. در مرز ورودی، فرض بر این است که جریانی با سرعت یکنواخت وارد شده، میدان تنش و گرادیان فشار در آن صفر می‌باشد.

$$\textcircled{a} \text{ Inlet Boundary : } \frac{\partial p}{\partial n} = 0, \tau = \begin{bmatrix} 0 & 0 & 0 \\ 0 & 0 & 0 \\ 0 & 0 & 0 \end{bmatrix}, U_x = U_{in} = Cte, U_y = 0 \quad (15-3)$$

در مرز خروجی جریان، گرادیان سرعت و مقدار تنش و فشار برابر صفر می‌باشد.

$$\textcircled{a} \text{ Outlet Boundary : } \frac{\partial U}{\partial n} = 0, \frac{\partial \tau}{\partial n} = 0, p = p_{atm} = Cte \quad (16-3)$$

### ۳-۶- توابع ویسکومتريک

همانطور که می‌دانیم سیالات ویسکوالاستیک موادی هستند که به طور توأمان خواص ویسکوز و الاستیک را دارا می‌باشند. یکی از مهمترین تفاوت‌های سیالات ویسکوالاستیک با سایر سیالات، وجود اختلاف تنش‌های نرمال اول و دوم در این مواد می‌باشد. به طور کلی جریان برشی این مواد، آرایش و موقعیت مولکول‌ها را تحت تاثیر قرار می‌دهد و کشیدگی و همراه شدن مولکول‌های طولیل پلیمری در راستای خطوط جریان را در پی دارد که این امر سبب بروز خواص غیرایزوتروپیک در سیال

می‌شود. لذا جهت حفظ این انحراف، میدان تنش نیز تحت تاثیر قرار گرفته و اختلاف تنش‌های نرمال پدید می‌آیند. چنانچه سیال، تنها در یک جهت جریان داشته باشد و تغییرات سرعت فقط در یک جهت عمود بر جهت حرکت بیاید (مانند جریان کوئت)، در اینصورت طبق تعریف، جهت ۱ معرف جهت جریان اصلی، جهت ۲ معرف جهت تغییرات سرعت و جهت ۳ نیز معرف جهت راستگرد عمود بر جهات ۱ و ۲ می‌باشد. در یک سیال ویسکوالاستیک اختلاف تنش‌های نرمال اول و دوم به شکل زیر تعریف می‌شود [۱]:

$$N_1 = \sigma_{11} - \sigma_{22} \quad (17-3)$$

$$N_2 = \sigma_{22} - \sigma_{33} \quad (18-3)$$

ضرایب اختلاف تنش نرمال نیز بر اساس روابط زیر به دست می‌آیند:

$$\psi_1 = \frac{N_1}{\dot{\gamma}^2} \quad (19-3)$$

$$\psi_2 = \frac{N_2}{\dot{\gamma}^2} \quad (20-3)$$

همانطور که قبلاً اشاره شد، لزجت در سیالات غیرنیوتنی تابعی از نرخ برش می‌باشد. بنابراین برای سیال ویسکوالاستیک می‌توان بر اساس تنش برشی و نرخ برش، لزجت سیال ویسکوالاستیک را به دست آورد:

$$\eta = \frac{\sigma_{12}}{\dot{\gamma}} \quad (21-3)$$

علاوه بر ویسکوزیته، ثابت‌های اختلاف تنش‌های نرمال اول و دوم نیز از جمله خواص رئولوژیکی سیال ویسکوالاستیک محسوب می‌شوند. شایان ذکر است که در اکثر مواد ویسکوالاستیک (به‌ویژه در محلول‌ها و مذاب‌های پلیمری)، وابستگی لزجت به نرخ برش به صورت رقیق‌شونده می‌باشد (کمتر شدن لزجت با ازدیاد نرخ برش). حالت غلیظ‌شوندگی لزجت بسیار کمیاب است. به‌همین دلیل،

بسیاری از توابع ویسکومتریکی به صورت رقیق‌شونده در نظر گرفته شده‌اند. مدل ویسکومتریکی مورد استفاده در این تحقیق، مدل کاریو-یاسودا می‌باشد. در این مدل، توابع ویسکومتریکی برای لزجت و ضرایب اختلاف تنش‌های نرمال اول و دوم به شکل زیر قابل بیان هستند [۱]:

$$\frac{\tilde{\eta}(\dot{\gamma}) - \tilde{\eta}_\infty}{\tilde{\eta}_0 - \tilde{\eta}_\infty} = [1 + (\lambda \dot{\gamma})^a]^{(n-1)/a} \quad (1-3)$$

$$\Psi_1(\dot{\gamma}) = 2\lambda_1(\tilde{\eta}_0 - \tilde{\eta}_\infty) [1 + (\lambda \dot{\gamma})^a]^{(n-1)/a} \quad (2-3)$$

$$\Psi_2(\dot{\gamma}) = -\chi \Psi_1(\dot{\gamma}) \quad (3-3)$$

که در آن،  $\tilde{\eta}_0$  لزجت در نرخ برش صفر،  $\tilde{\eta}_\infty$  لزجت در نرخ برش بی‌نهایت،  $\lambda$  ثابت زمانی مدل،  $\lambda_1$  ثابت زمانی تاخیر سیال،  $\chi$  نسبت اختلاف تنش‌های عمودی اول و دوم،  $n$  توان نمایی و  $a$  ثابت بی‌بعدی است که ناحیه انتقال بین نرخ برش صفر و ناحیه نمایی را بیان می‌کند. مقدار  $a$  برای بسیاری از محلول‌های پلیمری برابر ۲ اعلام شده است. همچنین در اکثر محلول‌ها و مذاب‌های پلیمری مقدار  $\tilde{\eta}_\infty$  حدود  $10^1$  تا  $10^4$  بار از  $\tilde{\eta}_0$  کوچکتر در نظر گرفته شده است. به همین دلیل، در برخی از کاربردهای مهندسی مقدار  $\tilde{\eta}_\infty$  برابر صفر فرض شده است.  $\tilde{\eta}_\infty$  در واقع بیانگر بخش نیوتنی رفتار ماده می‌باشد که معمولاً در محلول‌های پلیمری مقدار آن کوچک می‌باشد. در اکثر آزمایشات رئولوژیکی از اندازه‌گیری مستقیم مقدار اختلاف تنش دوم صرف نظر می‌شود و این مقدار تنها به صورت نسبتی از اختلاف تنش نرمال اول و دوم در نظر گرفته می‌شود. ضریب  $\chi$  به عنوان نسبت اختلاف تنش‌های نرمال می‌باشد. در بیشتر مواد ویسکوالاستیک، اختلاف تنش نرمال دوم دارای مقداری منفی می‌باشد، در حالی که همیشه مقادیر مثبتی برای اختلاف تنش نرمال اول اعلام شده است. در اکثر مواد ویسکوالاستیک مقدار اختلاف تنش نرمال دوم از ۲۰٪ اختلاف تنش نرمال اول کمتر بوده ( $\chi < 0.2$ ) و در بسیاری از محلول‌ها و مذاب‌های پلیمری نیز مقدار اختلاف تنش دوم حدود ۱۰٪ اختلاف تنش عمودی اول گزارش شده است ( $\chi \approx 0.1$ ). مدل کاریو-یاسودا یک مدل

چند ثابت است که از انعطاف پذیری کافی برای برآزش مناسب بر روی توابع ویسکومتریک بسیاری از مواد ویسکوالاستیک برخوردار می باشد. به طور کلی پس از جمع آوری داده های کافی آزمایشگاهی از رفتار رئولوژیکی ماده، می توان با استفاده از برآزش این مدل بر روی داده ها، ضرایب مربوطه را تعیین نمود. مدل کاریو-یاسودا در واقع حالت تعمیم یافته مدل معروف کراس می باشد [۶۴]:

$$\tilde{\eta}(\dot{\gamma}) = \tilde{\eta}_\infty + (\tilde{\eta}_0 - \tilde{\eta}_\infty) / [1 + \lambda \dot{\gamma}^{(1-n)}] \quad (۴-۳)$$

$$\Psi_1(\dot{\gamma}) = 2\lambda_1 (\tilde{\eta}_0 - \tilde{\eta}_\infty) / [1 + \lambda \dot{\gamma}^{(1-n)}] \quad (۵-۳)$$

در مدل کراس، لزجت در نرخ برش صفر برابر  $\tilde{\eta}_0$  و در نرخ برش بی نهایت برابر  $\tilde{\eta}_\infty$  در نظر گرفته می شود و بین این دو مقدار حدی، مدل کراس به مدل نمایی نزدیک می شود. از مزایای مدل کاریو-یاسودا نسبت به مدل کراس این است که در این مدل رفتار رئولوژیکی غیرخطی به شکل دقیق تری محاسبه می شود. مزیت دیگر هر دو مدل نسبت به مدل نمایی، امکان محاسبه  $\tilde{\eta}_\infty$  در این مدل ها می باشد (در مدل نمایی مقدار  $\tilde{\eta}_\infty$  همواره برابر صفر در نظر گرفته می شود).

## ۴- فصل چهارم

### روش حل عددی

## ۴-۱- مقدمه

معادلات حاکم بر جریان ترکیبی از یک دستگاه معادلات بیضوی - سهموی هستند که همزمان حل می شوند و سرعت، فشار مجهول های این معادلات هستند. بین معادله پیوستگی و معادلات مومنتوم از نظر فشار هیچ گونه ارتباط مستقیمی وجود ندارد، برای ایجاد ارتباط بین این معادلات عملیات ریاضی لازم است و مشکل نبود ارتباط مستقیم بین معادله پیوستگی و معادلات مومنتوم از نظر فشار، برای معادله ناویراستوکس تراکم پذیر مطرح نیست، زیرا از طریق جرم مخصوص که در معادلات پیوستگی و مومنتم ظاهر می شود ارتباط بین معادلات ایجاد می شود.

اصولاً یک مشکل مهم در حل جریان تراکم ناپذیر، حل کردن مشکل صفحه شطرنجی<sup>۱</sup> برای میدان های سرعت و فشار است. برای این منظور در روش تابع خط جریان-ورتیسیته<sup>۲</sup> عبارت فشار از معادلات به طور مناسبی حذف می شود [۶۵]. در گروه دیگری از روشها، حل میدانهای سرعت و فشار در دو شبکه مجزا<sup>۳</sup> انجام می شود که یک نمونه آن روش سلول و مشخص کننده<sup>۴</sup> است [۶۶]. به طور کلی در این روشها از اطلاعات میدان سرعت موجود در معادله پیوستگی، برای محاسبه فشار در معادله مومنتم استفاده می شود [۶۷] و [۶۸]. همچنین در بعضی روشها از میدان سرعت موجود در معادله مومنتم برای به دست آوردن میدان سرعت در معادله پیوستگی استفاده می شود [۶۹]. در روشهای بقایی، اغلب از روند تصحیح فشار برای هر سلول استفاده می شود [۷۰]. الگوریتمهای سیمپل، سیمپلار، سیمپلسی و پیزو نیز اغلب از شبکه جابه جا شده برای حل میدان جریان تراکم ناپذیر استفاده می کنند [۶۸]. در مقابل روشهایی هستند که از یک شبکه ثابت<sup>۵</sup> برای حل میدان استفاده می کنند. که در یک شبکه ثابت تمام متغرها در مرکز حجم کنترل ذخیره می شود. در بعضی

- 
1. Checkboard Problem
  2. Stream Function – Vorticity
  3. Staggered Grid
  4. Cell and Marker
  5. Collocated Grid

روش‌ها برای برطرف کردن مشکل صفحه شطرنجی، از تقریب میدان فشار با تعداد نقاط کمتری نسبت به نقاط استفاده شده برای تقریب میدان سرعت استفاده می‌شود [۷۱]. علاوه بر این، روش‌های دیگری نیز وجود دارد که از یک تقریب برای کمیت‌های سرعت و فشار استفاده می‌کند [۷۲]. روشن است که اگر سرعت‌ها در گره‌های مربوط به مؤلفه‌های اسکالر تعریف شده باشد تأثیر فشار در معادلات گسسته اندازه حرکت به خوبی ظاهر نمی‌شود و یک راه حل برای این مشکل استفاده از یک شبکه جابجا شده برای مؤلفه‌های سرعت می‌باشد که این روش را هارلو و ویچ<sup>۱</sup> پیشنهاد دادند و در واقع مؤلفه‌های سرعت به منظور اجتناب از نوسانات میدان فشار، روی شبکه‌های جابجا شده تعریف شده‌اند. روش هارلو و ویچ برای محاسبه متغیرهای اسکالر از جمله فشار، چگالی، دما و غیره در نقاط گرهی معمولی و نیز مؤلفه‌های سرعت روی شبکه جابجا شده متمرکز در جوه سلول می‌باشد.

در تحقیق حاضر با استفاده از الگوریتم پیرو بر روی شبکه ثابت و نیز بکارگیری درونیابی خطی برای سرعت، میدان جریان تراکم ناپذیر داخل کانال حل شده است.

#### ۴-۲- شبکه بندی مناسب دامنه محاسباتی

پیش زمینه حل مناسب معادلات، شبکه بندی مناسب دامنه محاسباتی می‌باشد. دو نوع اصلی شبکه بندی که در دینامیک سیالات محاسباتی مورد استفاده قرار می‌گیرد، شبکه‌های با ساختار<sup>۲</sup> و بی ساختار<sup>۳</sup> می‌باشند که استفاده از هر یک از این نوع شبکه بندی‌ها با مزایا و معایبی همراه می‌باشد. شبکه‌های ساده با ساختار گرچه در هندسه‌های پیچیده با مشکل روبرو هستند، اما کار با آنها ساده بوده و اطلاعات کمتری برای انجام محاسبات و گسسته سازی‌های روی شبکه مورد نیاز است. شبکه بی ساختار، اگرچه در رابطه با هندسه‌های پیچیده از کارایی بالایی برخوردار است، اما حجم بالای

---

1. Harlow and Welch  
2. Structured  
3. Unstructured



ذخیره سازی اطلاعات مرتبط با شبکه محاسباتی از معایب این نوع شبکه بندی می باشد. همچنین باید توجه داشت که هر یک از انواع شبکه های فوق الذکر دارای انواع متعددی مانند شبکه های چند بلوکی<sup>۱</sup>، متعامد<sup>۲</sup> و یا غیرمتعامد<sup>۳</sup> می باشند. که در تحقیق حاضر از شبکه با ساختار و متعامد استفاده شده است. در بخش دوم کانال که محل شکل گیری گردابه ها است، نیاز به دقت بیشتری می باشد. برای رسیدن به این هدف نیاز به ایجاد شبکه بندی ریزتر در بخش دوم کانال می باشد، به همین منظور در بخش دوم کانال از شبکه متراکم استفاده شده است.

### ۳-۴- گسسته سازی معادلات حاکم

در CFD از روش های مختلفی برای تقریب معادلات حاکم استفاده می شود که برخی از آنها عبارتند از:

- روش تفاضل محدود<sup>۴</sup>
- روش حجم محدود<sup>۵</sup>
- روش اجزای محدود<sup>۶</sup>
- روش اجزای مرزی<sup>۷</sup>

در تحقیق حاضر از روش حجم محدود استفاده شده است، که در ادامه توضیحاتی کلی در ارتباط با

این روش بیان می گردد. در روش حجم محدود، الگوریتم حل شامل سه مرحله می باشد:

- انتگرال گیری از معادلات حاکم بر جریان سیال روی حجم کنترل.

---

1. Multi block  
2. Orthogonal  
3. Non-Orthogonal  
4. Finite Difference  
5. Finite Volume  
6. Finite Element  
7. Boundary Element

➤ گسسته سازی، که شامل جایگذاری نوعی از تقریب‌ها برای فرآیندهای جریان مثل جابجایی، نفوذ و چشمه در داخل معادله انتگرالی می‌شود. این عمل معادلات انتگرالی را به یک دستگاه معادلات جبری تبدیل می‌نماید.

➤ انتخاب روش حل برای معادلات اساسی حاکم بر جریان (معادلات ناویر-استوکس و پیوستگی).

➤ حل دستگاه معادلات جبری.

مرحله اول، یعنی انتگرال‌گیری بر روی حجم کنترل، روش حجم محدود را از سایر روش‌های دینامیک سیالات محاسباتی متمایز می‌کند. رابطه روشن بین الگوریتم عددی و قواعد کلی بقاء فیزیکی، یکی از جاذبه‌های روش حجم محدود بوده و درک آن را برای مهندسیین ساده‌تر از سایر روش‌ها می‌نماید.

برای حل مجموع معادلات ناویر-استوکس و پیوستگی دو روش وجود دارد که عبارتند از:

۱- حل همزمان معادلات.

۲- حل غیر همزمان معادلات.

در روش اول، تمام متغیرهای جریان (سرعت و فشار) در یک دستگاه معادلات جبری قرار گرفته و محاسبه می‌شوند [۷۳]. این کار هزینه محاسباتی بسیار بالایی داشته و امکان سخت افزاری مناسب خود را می‌طلبد. در رویکرد حل غیر همزمان معادلات حاکم، میدان سرعت و فشار در یک حلقه محاسبه شده و هر یک از معادلات به صورت جداگانه حل می‌شوند. حل جداگانه معادلات مستلزم ارتباط عددی صحیح مولفه‌های جریان می‌باشد. در تحقیق حاضر از رویکرد حل غیرهمزمان معادلات حاکم استفاده شده است. در این رویکرد از الگوریتم پیرو برای کوپل میدان سرعت و فشار استفاده شده است.

در این تحقیق از نرم افزار منبع باز OpenFOAM به منظور مدل سازی جریان سیال ویسکوالاستیک در داخل کانال واگرای تدریجی استفاده شده است. این نرم افزار از شیوه عددی حجم محدود برای حل دستگاه معادلات دیفرانسیل با مشتقات جزئی استفاده می کند.

در ادامه این فصل، ابتدا توضیحاتی در مورد نرم افزار OpenFOAM داده شده و سپس به بررسی ساختار و شیوه حل معادلات حاکم در این نرم افزار پرداخته می شود. لازم به ذکر است که توضیحات کامل در ارتباط با این نرم افزار و ابزارهای موجود در آن، در راهنماهای منتشر شده توسط OpenCFD Limited موجود می باشد [۷۴] و [۷۵].

#### ۴-۴- نرم افزار OpenFOAM

تقریباً اکثر نرم افزارهای موجود در زمینه دینامیک سیالات محاسباتی تحت مجوز شرکت خاصی بوده و بسیار گران قیمت می باشند. علاوه بر آن، دستیابی کامل به کد عددی این گونه از نرم افزارها و اعمال تغییر و ویرایش آن توسط کاربر تقریباً غیر ممکن می باشد. از این رو بهترین راه، استفاده از نرم افزارهای منبع باز در رابطه با دینامیک سیالات محاسباتی می باشد. نرم افزارهای کد باز، این اجازه را به کاربران می دهند که به کد عددی مدل خود دسترسی کامل داشته و بدون پرداخت هیچ گونه هزینه ای، آن را در زمینه کاری مورد نظر ارتقاء داده و با نام خود آن را در اختیار عموم قرار دهند. در واقع، نرم افزارهای کد باز، یک جعبه ابزار می باشند، که به کاربر اجازه دستکاری و اعمال تغییرات در آن را می دهند.

در این میان، نرم افزار منبع باز OpenFOAM یک جعبه ابزار دینامیک سیالات محاسباتی است که قادر به مدل سازی هر نوع مسأله شامل معادلات دیفرانسیل جزئی، از جمله حل عددی جریان سیال از مسائل ساده تا بسیار پیچیده می باشد. از نمونه موارد قابل مدل سازی توسط این نرم افزار می توان مسأله های مربوط به جریان های آرام و آشفته، تک فاز و چندفاز، انتقال حرارت، واکنش

شیمیایی، الکترومغناطیس و مکانیک جامدات و همچنین به مساله‌های مربوط به معادلات اقتصادی نظیر مسائل قیمت گذاری و مالی نیز اشاره نمود. این نرم افزار توسط "OpenCFD Ltd" تحت مجوز عمومی گنو و در تاریخ ۱۱ دسامبر ۲۰۰۴ ایجاد شده و به صورت منبع باز و رایگان موجود می‌باشد. هسته انعطاف پذیر و کارآمد OpenFOAM، شامل مجموعه‌ای از کدهای نوشته شده توسط برنامه C++ می‌باشد. این مجموعه‌ها توانایی شبیه سازی و تحلیل مدل‌های فیزیکی و مسائل مطرح شده در مهندسی مکانیک را دارا می‌باشند. علاوه بر آن، با تعریف ماژول‌های عمومی در این نرم افزار کد باز، امکان تعریف توابع مختلف به زبان قابل فهم مهندسی میسر شده است. برای مثال، معادله مومنوم برای جریان تراکم پذیر به صورت رابطه زیر می‌باشد:

$$\frac{\partial(\rho U)}{\partial t} + \nabla \cdot \rho U U - \nabla \cdot \mu \nabla U = -\nabla p \quad (1-4)$$

و تعریف آن در در نرم افزار منبع باز OpenFOAM به صورت زیر صورت می‌گیرد :

**fvm::ddt(rho, U)**

**+fvm::div(phi, U)**

**-fvm::laplacian(mu, U)**

**== -fvc::grad(p)**

همانطور که مشاهده می‌شود، تعریف عملگرهای مختلف نظیر مشتق زمانی، دایورژانس، لاپلاسیان و گرادیان، مطابق آن چه هست، در کد آورده شده است. نحوه به کار گیری عملیات ریاضی و توابع در این نرم‌افزار، به ترتیب در جداول زیر آورده شده است. دقت شود که در این جداول، عبارات a و b نمایان گر تانسور از مرتبه دلخواه و s اسکالر و T نشان‌دهنده تانسور و N تعداد عناصر تانسور را نشان می‌دهد [۶۲].

جدول (۴-۱) عملیات ریاضی در نرم افزار OpenFOAM [۷۵].

شرط	تعریف در OpenFOAM	توصیف ریاضی	توضیح	عملیات ریاضی
*	$a + b$	$a + b$	$a_i + b_i$	جمع
*	$a - b$	$a - b$	$a_i - b_i$	تفریق
*	$S * a$	$Sa$	$Sa_i$	ضرب اسکالر در بردار
*	$S / a$	$a / S$	$a_i / s$	تقسیم بردار به اسکالر
a, b تانسور مرتبه یک به بالا	$a \& b$	$a \cdot b$	$a_i b_i$	ضرب داخلی
a, b تانسور مرتبه یک	$a \wedge b$	$a \times b$	$\varepsilon_{ijk} a_j b_k$	ضرب خارجی
a, b تانسور مرتبه یک به بالا	$a * b$	$a \otimes b$	$a_i b_j$	ضرب دوتایی
a, b تانسور مرتبه دو به بالا	$a \&\& b$	$a : b$	$a_{ij} b_{ij}$	ضرب داخلی برای دو تانسور
*	magSqr(a)	$ a ^2$	$a_i a_i$	مربع بزرگی بردار
*	mag(a)	$ a $	$\sqrt{a_i a_i}$	بزرگی بردار
$n = 0, 1, \dots, 4$	pow(a, n)	$a^n$	$(a_i)^n$	توان بردار
$i = 1, \dots, N$	cmptAv(a)	$\bar{a}$	$\bar{a}_i$	متوسط مولفه های تانسوری
$i = 1, \dots, N$	max(a)	max(a)	max(a <sub>i</sub> )	ماکزیمم مولفه های بردار
$i = 1, \dots, N$	min(a)	min(a)	min(a <sub>i</sub> )	مینیمم مولفه های بردار
*	scale(a, b)	$C = scale(a, b)$	$C_i = a_i b_i$	ضرب مولفه های تانسوری
*	transform(T, a)	$a^* = Ta$	$a^* = T_{ij} a_i$	تبدیلات تانسوری

جدول (۴-۲) تعریف توابع در نرم‌افزار OpenFOAM [۱۷۵].

تعریف در OpenFOAM	نمایش ریاضی	توابع
$sign(s)$	$sgn(s)$	تابع علامت
$pos(s)$	$s \geq 0$	مثبت بولی
$neg(s)$	$s < 0$	منفی بولی
$limit(s,n)$	$limit(s,n)$	حد ( $n$ اسکالر است)
$sqrt(s)$	$\sqrt{s}$	جذر
$exp(s)$	$exp s$	تابع نمایی
$log(s)$	$\ln s$	لگاریتم
$log10(s)$	$\log_{10}^s$	لگاریتم بر مبنای ۱۰
$\sin(s)$	$\sin s$	سینوس
$\cos(s)$	$\cos s$	کسینوس
$\tan(s)$	$\tan s$	تانژانت
$a \sin(s)$	$a \sin s$	آرک سینوس
$a \cos(s)$	$a \cos s$	آرک کسینوس
$a \tan(s)$	$a \tan s$	آرک تانژانت
$\sinh(s)$	$\sinh s$	سینوس هیپربولیک
$\cosh(s)$	$\cosh s$	کسینوس هیپربولیک
$\tanh(s)$	$\tanh s$	تانژانت هیپربولیک
$a \sinh(s)$	$a \sinh s$	آرک سینوس هیپربولیک
$a \cosh(s)$	$a \cosh s$	آرک کسینوس هیپربولیک
$a \tanh(s)$	$a \tanh s$	آرک تانژانت هیپربولیک
$erf(s)$	$erf s$	تابع خطا
$erfc(s)$	$erfc s$	مکمل تابع خطا
$lgamma(s)$	$\ln \Gamma s$	لگاریتم تابع گاما
$j0(s)$	$J_0 s$	تابع بسل نوع یک از مرتبه صفر
$j1(s)$	$J_1 s$	تابع بسل نوع یک از مرتبه یک
$y0(s)$	$Y_0 s$	تابع بسل نوع دو از مرتبه صفر
$y1(s)$	$Y_1 s$	تابع بسل نوع دو از مرتبه یک

در معادلات حاکم بر جریان، از عملگرهایی نظیر گرادیان، دیورژانس، لاپلاسیان و غیره استفاده می‌شود. بدین منظور چگونگی نحوه تعریف این عملگرها در نرم افزار OpenFOAM در جدول زیر آورده شده است. همچنین تنظیمات مربوط به چگونگی گسسته سازی این عملگرها جهت حل عددی، در فایل "fvScheme" داخل حلگر نرم افزار قرار دارد. [۷۵].

جدول (۳-۴) عملیات تانسوری بر روی تانسور مرتبه دو در نرم افزار OpenFOAM [۷۵].

نام عملگر	نمایش ریاضی	تعریف در OpenFOAM
ترانهاده تانسور	$T^T$	$TT()$
تانسور قطری	$diag T$	$diag(T)$
مجموع عناصر قطر تانسور	$tr T$	$tr(T)$
تانسور انحرافی	$dev T$	$dev(T)$
تانسور متقارن	$symm T$	$symm(T)$
تانسور پادمتقارن	$skew T$	$skew(T)$
دترمینان تانسور	$det T$	$det(T)$
کوفاکتور	$cof T$	$cof(T)$
معکوس تانسور	$inv T$	$inv(T)$
بردار دوگان تانسور پادمتقارن	$*T$	$*T$

در معادلات با مشتقات جزئی، هر جمله توسط دو کلاس به نام‌های "fvm" (finite Volume Method) و "fvc" (finite Volume Calculus) تعریف می‌گردد. این دو کلاس مشخص می‌کند که در گسسته سازی جملات معادله مورد نظر، از مقادیر معلوم در زمان قبلی (Explicit) بهره گرفته شود یا به صورت مجهول در زمان جاری (Implicit) گسسته سازی انجام شود. بدین ترتیب، اگر از کلاس

"fvc" در مقابل نام یک عملگر استفاده شود، محاسبات به صورت "Explicit" انجام خواهد شد و اگر کلاس حل بر پایه "fvm" باشد محاسبات به صورت "Implicit" انجام می‌شود.

جدول (۴-۴) تعریف عملگرهای دیفرانسیلی در نرم افزار OpenFOAM [۷۵].

fvm::/fvc::	نمایش ریاضی	Implicit/Explicit	عملگر
<i>Laplacian (phi)</i>	$\nabla^2 \phi$	Imp/Exp	لاپلاسیان
<i>Laplacian (Gamma, phi)</i>	$\nabla \cdot \Gamma \nabla \phi$		
<i>ddt (phi)</i>	$\frac{\partial \phi}{\partial t}$	Imp/Exp	مشتق زمانی
<i>ddt (rho, phi)</i>	$\frac{\partial \rho \phi}{\partial t}$		
<i>d2dt (rho, phi)</i>	$\frac{\partial}{\partial t} \left( \rho \frac{\partial \phi}{\partial t} \right)$	Imp/Exp	مشتق دوم زمانی
<i>div (psi, scheme)</i>	$\nabla \cdot (\psi)$	Imp/Exp	جمله جابه جایی
<i>div (psi, phi, word)</i>	$\nabla \cdot (\psi \phi)$		
<i>div (psi, phi)</i>			
<i>div (chi)</i>	$\nabla \cdot x$	Exp	دیورژانس
<i>grad (chi)</i>	$\nabla \cdot x$	Exp	گرادیان
<i>gGrad (phi)</i>	$\nabla \cdot (\psi \phi)$		
<i>lsGrad (phi)</i>			
<i>snGrad (phi)</i>			
<i>snGradCorrection (phi)</i>			
<i>sqrGradGrad (phi)</i>	$ \nabla \nabla \phi ^2$	Exp	مربع گرادیان
<i>curl (phi)</i>	$\nabla \times \phi$	Exp	کرل
<i>Sp (rho, phi)</i>	$\rho \phi$	Imp	چشمه
<i>SuSp (rho, phi)</i>		Imp/Exp	

برای استفاده از نرم افزار OpenFOAM بر روی سیستم عامل‌ها روش‌های مختلفی وجود دارند که عبارتند از:

(۱) استفاده مستقیم از نرم افزار OpenFOAM بر روی سیستم عامل ویندوز (که محدود به



استفاده از ویرایش‌های خاصی از این نرم افزار می باشد).

(۲) استفاده از نرم افزار OpenFOAM بر روی سیستم عامل ویندوز با استفاده از برنامه‌هایی که

محیط لینوکس را در محیط ویندوز به صورت مجازی شبیه سازی می کنند.

(۳) استفاده از نرم افزار OpenFOAM بر روی سیستم عامل لینوکس به صورت مستقیم.

به منظور استفاده همزمان از محیط ویندوز و نرم افزار OpenFOAM می توان از نرم افزارهای مجازی

که امکان استفاده از چندین سیستم عامل را میسر می کنند، بهره جست. در این میان، نرم افزار

VMware®Workstation به عنوان محبوب‌ترین نرم افزار به منظور برقرای همزمان دو سیستم عامل

شناخته شده است. در این پژوهش از توزیع لینوکس کوبنتو (kubuntu) که نسخه "OpenFOAM-

1.5-dev" نرم افزار OpenFOAM به صورت پیش فرض بر روی آن نصب شده، استفاده شده است.

تاکنون مؤسسات و دانشگاه های مختلف با صرف انرژی و تلاش های فراوان، سعی در بهبود و توسعه

نرم افزار OpenFOAM داشته اند. در این میان می توان به تلاش کشورهای مختلف از جمله آلمان،

سوئد، دانمارک، ایتالیا، هند، چین و برزیل اشاره نمود. تحقیقات پیوسته و پیگیری های متعدد در

رابطه با نرم افزارهای منبع باز دینامیک سیالات محاسباتی، سبب توسعه روزافزون این گونه از نرم

افزار ها شده است، به طوری که در چند سال گذشته، توسعه نرم افزارهای کد باز دینامیک سیالات

محاسباتی از رشد سریعی برخوردار بوده و چشم انداز بسیار خوبی را برای آنها در آینده می توان تصور

نمود. پیش بینی می شود که در زمان کوتاهی، نرم افزار های منبع باز، نه تنها تمامی توانمندی های

نرم افزار های تجاری موجود را در خود داشته باشند؛ بلکه امکانات بیشتری در جهت مدلسازی انواع

هندسه های پیچیده در اختیار کاربر قرار دهد. هر چند بدلیل کمبود منابع راهنمایی مناسب، این گونه

از نرم افزار ها با حمایت کمی از جانب کاربران مواجه شده است، لذا تحقیقات و تلاش بیشتر در این

زمینه به منظور آشنایی هر چه بیشتر کاربران با این گونه از نرم افزارها لازم و ضروری به نظر می رسد.

#### ۴-۵- الگوریتم حل در نرم افزار OpenFOAM

همانطور که در فصل ۳ اشاره کردیم، معادلات حاکم بر جریان سیال داخل کانال، شامل معادلات بقای جرم و بقای مومنتوم می باشد، که شکل کلی این معادلات تانسوری به صورت زیر است.

$$\frac{\partial u_i}{\partial x_i} = 0 \quad (2-4)$$

$$\rho \left( \frac{\partial u_i}{\partial t} + \frac{\partial}{\partial x_i} (u_j u_i) \right) = \frac{\partial}{\partial x_i} \tau_{ij} - \frac{\partial p}{\partial x_i} \quad (3-4)$$

در معادله (۳-۴)،  $\tau_{ij}$  بیانگر مجموع تانسور حلال نیوتنی و ماده پلیمری و  $p$  نیز بیانگر فشار می باشد. معادله مومنتوم در حلگر OpenFOAM بدون گرادیان فشار به صورت زیر تعریف می شود.

**`Tmp <fvVectorMatrix> UEqn`**

```
(
    fvm::ddt(U)
    + fvm::div(phi, U)
    - fvm::laplacian(nu, U)
);
```

همانطور که در تعریف معادله مشاهده می شود از کلاس `fvm` برای دیورژانس، لاپلاسیان و مشتق زمانی استفاده شده است. به عبارت دیگر محاسبه این عملگرها به صورت ضمنی انجام می گیرد. همچنین در نامگذاری کلی معادله از کلاس `fvVectorMatrix` استفاده شده است، که مربوط به میدانها برداری می باشد. لازم به ذکر است که از کلاسهای `fvScalarMatrix` و `fvTensorMatrix` به ترتیب، برای تعریف میدانهای اسکالر و تانسوری استفاده می شود. با فرض گرادیان فشار معلوم (از

زمان قبلی) معادله مومنوم حل می گردد، که کد آن در نرم افزار OpenFOAM به صورت زیر تعریف می شود.

```
solve (UEqn() == -fvc::grad(p));
```

محاسبه سرعت در مرکز سلول ها با رابطه زیر بیان می گردد.

```
volScalarField rUA = 1.0/UEqn().A();
```

```
U = rUA*UEqn().H();
```

همچنین شار جریان عبوری با استفاده از سرعت درون یابی شده بر روی وجوه سلول توسط رابطه زیر بیان می گردد.

```
phi = fvc::interpolate(U) & mesh.Sf();
```

```
adjustPhi(phi, U, p);
```

برای ذخیره فشار از دستور زیر استفاده می شود.

```
P.storePrevIter();
```

برای تصحیح فشار از حلقه زیر استفاده می شود.

```
For (int nonOrth=0; nonOrth<=nNonOrthCorr; nonOrth++)
```

```
{
```

```
fvScalarMatrix pEqn
```

```
(
```

```
    fvm::laplacian(rUA, p) == fvc::div(phi)
```

```
);
```

```
pEqn.setReference(pRefCell, pRefValue);
```

```
pEqn.solve();
```

```
    if (nonOrth == nNonOrthCorr)
```

```
    {
```

```

    Phi -= pEqn.flux();
}
}

```

فشاری که برای تصحیح معادله مومنتوم بدست می آید عبارت است از:

```
p.relax( );
```

میدان سرعت در معادله مومنتوم توسط دستور زیر با میدان فشار تصحیح شده، اصلاح می گردد.

```
U -= rUA*fvc : : grad (p);
```

توسط دستور زیر شرایط مرزی با سرعت جدید به روز رسانی شده و ویسکوزیته نیز اصلاح می گردد و در نهایت نتایج چاپ می شوند.

```
U.correctBoundaryCondition( );
```

```
visco.correct( );
```

```
runtime.write( );
```

این مراحل آنقدر تکرار می شوند تا حل همگرا گردد.

## ۴-۶- فرایند کلی حل در نرم افزار OpenFOAM

در این نرم افزار فرایند حل هر مسأله در سه مرحله انجام می شود.

➤ پیش پردازش<sup>۱</sup>

➤ اجرا<sup>۲</sup>

➤ پس پردازش<sup>۳</sup>

در ادامه به اختصار، به توضیح هریک از این مراحل پرداخته می شود.

- 
1. pre-processing
  2. run
  3. post-processing

#### ۴-۶-۱- پیش پردازش

این مرحله شامل عملیات مقدماتی قبل از حل می باشد، که شامل تعریف شبکه محاسباتی، شرایط مرزی و اولیه، خواص فیزیکی و ثوابت معادلات می باشد. در نرم افزار OpenFOAM بخش اجرایی برنامه شامل سه پوشه به نام های "0"، "constant" و "system" می باشد. در پوشه "0" مقادیر اولیه برای متغیرهای مورد استفاده در معادلات تعیین می گردد. همچنین مقادیر مرزی نیز در این پوشه برای هریک از صفحات مرزی آورده می شود. در پوشه "constant" تنظیمات لازم برای خواص فیزیکی هندسه و محیط اطرافش آورده شده است و همچنین تعیین خواص فیزیکی جامد یا سیال مورد استفاده در این هندسه نیز توسط این پوشه انجام می گیرد. لازم به ذکر است که تعریف هندسه مسأله، شبکه و صفحات مرزی و تعیین نوع شرط مرزی در زیرپوشه ای به نام "polyMesh" که در پوشه "constant" قرار دارد، انجام می گیرد. اطلاعات لازم برای حل مسئله از قبیل گام زمانی حل، زمان شروع و زمان نهایی حل، تکران، انتخاب روش حل دستگاه و همچنین تعیین نحوه گسسته سازی هریک از عملگرهای دیفرانسیلی در پوشه "system" این نرم افزار قرار دارد.

#### ۴-۶-۲- پردازش

در این مرحله، با توجه به شرایط ایجاد شده در مرحله پیش پردازش و الگوریتم حل، محاسبات متغیرهای موجود در معادلات حاکم انجام می شود. این محاسبات در هر گام زمانی تکرار می شوند تا در نهایت مسئله همگرا شده و جواب دقیق حاصل شود. در نرم افزار OpenFOAM برای جریان های مختلف به صورت پیش فرض و استاندارد حلگرهای متفاوتی وجود دارد، که دارای قابلیت توسعه در زمینه های مختلف می باشد. در این تحقیق از حل گر viscoelasticFluidFoam به منظور مدل سازی جریان سیال ویسکوالاستیک در داخل کانال استفاده شده است.

#### ۴-۶-۳- پس پردازش

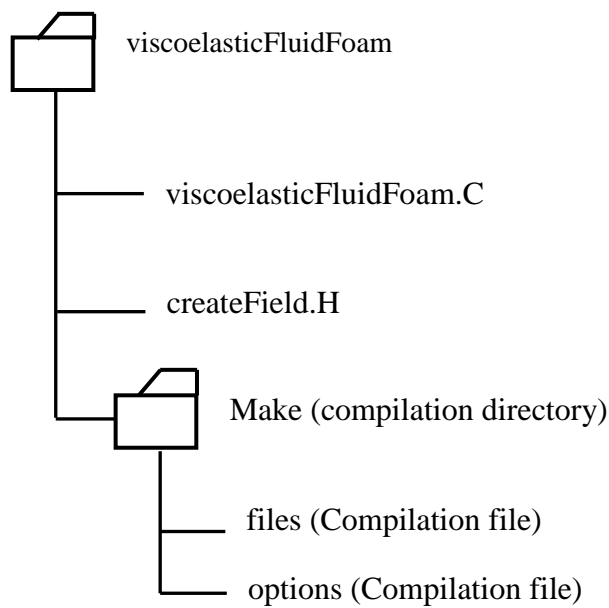
در این مرحله، برای بررسی نتایج ناشی از حل عددی نیاز به نمایش اطلاعات می باشد، برای این منظور از نرم افزارهایی گرافیکی که توانایی نمایش اطلاعات را دارا باشند، استفاده می شود. ترسیم اطلاعات در نرم افزار OpenFOAM هم می تواند به صورت مستقیم با استفاده از نرم افزار paraview انجام پذیرد و هم می توان ابتدا داده ها را با استفاده از پوشه "sample" به صورت خام استخراج نمود و با استفاده از نرم افزارهای دیگر مثل Matlab، Tecplot، و Sigmaplot آن را ترسیم کرد. در این تحقیق از هر دو روش بهره گرفته شده است.

#### ۴-۷- معرفی حل گر مورد استفاده در نرم افزار OpenFOAM

همانطور که در قسمت قبل اشاره شد، در این تحقیق به منظور مدل سازی جریان سیال ویسکوالاستیک از حل گر viscoelasticFluidFoam استفاده شده است. حل گر مذکور شامل یک فایل اصلی<sup>۱</sup> به نام viscoelasticFluidFoam.C و یک فایل فرعی<sup>۲</sup> به نام createField.H می باشد که در کد اصلی فراخوانده می شود. در این فایل، میدان های حل و مدل رئولوژیکی سیال ویسکوالاستیک خوانده می شود. ساختار حل گر مذکور در شکل (۴-۱) آورده شده است.

---

1. Main source file  
2. Header file



شکل (۴-۱) ساختار حل گر viscoelasticFluidFoam

حل گر viscoelasticFluidFoam برای حل جریان آرام و تراکم ناپذیر یک سیال ویسکوالاستیک کاربرد دارد و در نرم افزار در آدرس زیر قرار گرفته است.

**`$FOAM_APP/solvers/viscoelastic/viscoelasticFluidFoam`**

قانون پیوستگی برای جریان تراکم ناپذیر پایا عبارت است از:

$$\nabla \cdot U = 0 \quad (4-4)$$

که در آن  $U$  معرف بردار سرعت می باشد. تعریف معادله پیوستگی در نرم افزار OpenFOAM به صورت زیر می باشد.

**`fvc::div(phi)`**

این کد در فایل "continuityErrs.H" قرار دارد، که آدرس این فایل در زیر آورده شده است.

**`$FOAM_SRC/finiteVolume/cfdTools/incompressible`**

تعریف معادله مومنتوم برای جریان سیال ویسکوالاستیک به صورت زیر می باشد.

$$\frac{\partial(\rho U)}{\partial t} + \nabla \cdot (\rho U U) = -\nabla p + \nabla \cdot \tau_s + \nabla \cdot \tau_p \quad (5-4)$$

همانطور که در فصل قبل بیان شد،  $\rho$  چگالی سیال،  $U$  بردار سرعت،  $p$  معرف فشار،  $\tau_s$  سهم تنش حلال نیوتنی و  $\tau_p$  تنش ماده پلیمری می‌باشد. تعریف معادله اندازه حرکت در نرم افزار OpenFOAM به صورت زیر می‌باشد.

***Tmp<fvVectorMatrix> Ueqn***

```
(
    fvm::ddt(U)
    + fvm::div(phi, U)
    - Visco.divTau(U)
);

Ueqn().relax();

solve(UEqn == -fvc::grad(p));
```

این کد در فایل "viscoelasticFluidFoam.C" می‌باشد و در آدرس زیر قرار گرفته است.

***\$FOAM\_APP/solvers/viscoelastic/viscoelasticFluidFoam***

معادله ساختاری در نظر گرفته شده در این تحقیق مدل رئولوژیکی EPTT می‌باشد.

$$f(t\tau_p)\tau_p + \lambda \left( \tau_{p(1)} + \zeta(\tau_p D + D\tau_p) \right) = 2\eta_p D \quad (6-4)$$

در رابطه (۶-۳)،  $\tau_{p(1)}$  مشتق فوق همرفتی<sup>۱</sup> تانسور تنش پلیمری،  $\lambda$  زمان آسودگی<sup>۲</sup> از تنش،  $\eta_p$  ویسکوزیته ماده پلیمری در نرخ برش صفر،  $D$  نرخ تغییر شکل و  $\varepsilon$ ،  $\zeta$  از ثابت‌های ماده است و تابع  $f(t\tau_p)$  به صورت نمائی می‌باشد.

1. Upper convected derivative  
2. Relaxation Time



$$f(tr\tau_p) = \exp\left(\frac{\varepsilon\lambda}{\eta_p} tr\tau_p\right) \quad (7-4)$$

مشتق فوق همرفتی برای تانسور تنش پلیمری به صورت زیر می باشد [۲].

$$\tau_{p(l)} = \frac{D}{Dt}\tau_p - [\nabla u^T \cdot \tau_p] - [\tau_p \cdot \nabla u] \quad (8-4)$$

که در آن  $\frac{D}{Dt}\tau_p$  مشتق مادی<sup>۱</sup> برای تنش پلیمری است که به صورت رابطه (۹-۳) بیان می شود.

$$\frac{D}{Dt}\tau_p = \frac{\partial}{\partial t}\tau_p + [u \cdot \nabla \tau_p] \quad (9-4)$$

با جایگذاری روابط (۷-۴)، (۸-۴) و (۹-۴) در رابطه (۶-۴) داریم:

$$\begin{aligned} \tau_p \cdot \exp\left(\frac{\varepsilon\lambda}{\eta_p} tr\tau_p\right) + \lambda (\xi(\tau_p D + D\tau_p)) \\ + \lambda \left( \frac{\partial}{\partial t}\tau_p + [u \cdot \nabla \tau_p] - [\nabla u^T \cdot \tau_p] - [\tau_p \cdot \nabla u] \right) = 2\eta_p D \end{aligned} \quad (10-4)$$

به منظور تعریف رابطه (۱۰-۴) در نرم افزار OpenFOAM از فرضیاتی استفاده شده است که به قرار زیر می باشد.

❖ تعریف تانسور گرادیان سرعت با عبارت L تعریف می شود.

```
volTensorField L = fvc::grad(U());
```

❖ حاصلضرب تنش در گرادیان سرعت با عبارت C تعریف می شود.

```
volTensorField C = tau_ & L;
```

❖ از آنجایی که تانسور تنش متقارن است، دو برابر تانسور متقارن نرخ تغییر شکل با عبارت

twoD تعریف می شود.

```
volSymmTensorField twoD = twoSymm(L);
```

❖ با توجه به تعاریف بالا، معادله ساختاری EPTT به صورت زیر بیان شود.

```
tmp<fvSymmTensorMatrix> tauEqn
```

1. Material derivative

```
(
    fvm::ddt(tau_)
+ fvm::div(phi(), tau_)
==
    etaP_ / lambda_ * twoD
+ twoSymm( C )
- zeta_ / 2* ( (tau_ & twoD) + (twoD & tau_))
- fvm::Sp( (1/lambda_) *Foam::exp( epsilon_ * lambda_ /
etaP_ *
    tr(tau_)
);

tauEqn().relax();

solve(tauEqn);
```

این کد در فایل EPTT.C قرار دارد و در نرم افزار OpenFOAM، حلگر ViscoelasticFluidFoam این فایل را از آدرس زیر فرا می خواند.

```
$FOAM_SRC/transportModels/viscoelastic/viscoelasticLaws/EPTT
```

#### ۸-۴- بررسی ساختار و مدل حل

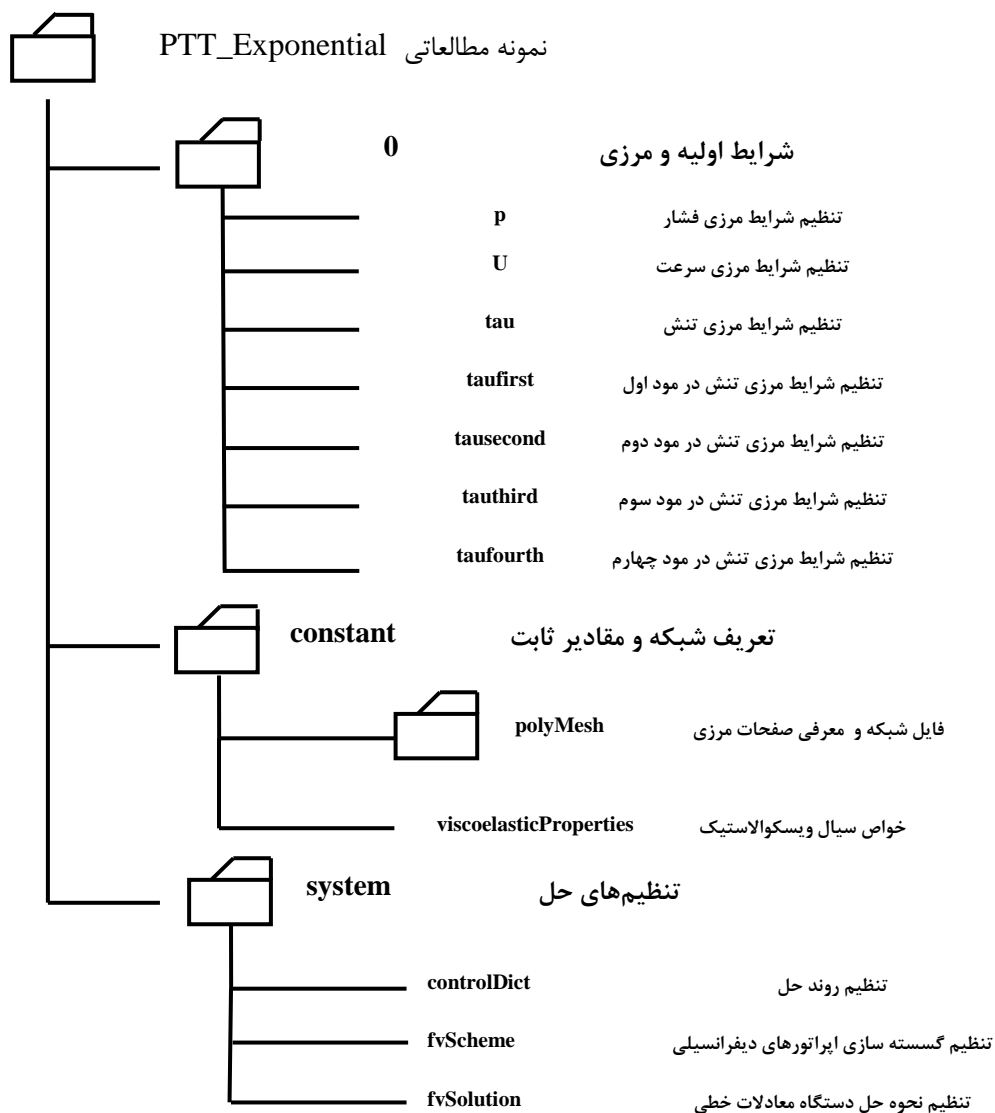
در این تحقیق برای مدل سازی جریان سیال ویسکوالاستیک در داخل کانال واگرای تدریجی از نمونه مطالعاتی PTT\_Exponential استفاده شده است. در نرم افزار OpenFOAM این نمونه در آدرس زیر قرار گرفته است.

```
$FOAM_TUTORIALS/viscoelasticFluidFoam/PTT_Exponential
```

در داخل پوشه "PTT\_Exponential" سه زیر پوشه با نام‌های "0", "constant", و "system" وجود دارد که بعد از انجام مدل‌سازی و شروع حل، مطابق تنظیم‌هایی که برای مسأله در نظر گرفته می‌شود، زیرپوشه‌هایی با نام‌های زمان حل (با توجه به گام زمانی) ایجاد خواهد شد. هر کدام از زیرپوشه‌هایی که با اعداد نام‌گذاری شده‌اند حاوی مقادیر پارامترهای حاصل از حل عددی در آن زمان می‌باشد. در نمودار درختی شکل (۲-۴) پوشه "PTT\_Exponential" آورده شده است. حل‌گر "viscoelasticFluidFoam" فایل‌های موجود در پوشه "PTT\_Exponential" را خوانده و حل را مطابق تنظیم‌هایی که در آن صورت گرفته است، اجرا می‌کند. در ادامه، به اختصار به بررسی هریک از این پوشه‌ها و فایل‌های موجود در آن‌ها پرداخته می‌شود.

#### ۴-۸-۱- اعمال شرایط اولیه و مرزی پارامترها

برای حل معادلات حاکم نیاز به تعیین شرایط مرزی برای تمامی صفحات مرزی می‌باشد. همانطور که در نمودار درختی شکل (۲-۴) پیداست، اعمال شرایط مرزی در نرم افزار OpenFOAM در پوشه "0" انجام می‌شود. این پوشه شامل ۸ فایل است که در هر فایل، مقادیر اولیه و مرزی در هریک از مرزها تعیین می‌شود. این فایل‌ها عبارتند از:  $p$  (فشار)،  $U$  (سرعت)،  $\tau$  (تنش) و تنش در موده‌های مختلف.



شکل (۴-۲) ساختار پوشه Giesekus و فایل‌های موجود در هر یک از پوشه‌ها

در فایل p مقادیر اولیه و مقادیر مرزی هر یک از صفحات برای فشار تعیین می‌شود. در این مسأله، شرط اولیه فشار برابر صفر در نظر گرفته شده است. برای شرط مرزی در خروجی کانال، فشار مطلق برابر صفر است و در ورودی کانال و همچنین برای دیواره های کانال از شرط گرادیان فشار (در راستای عمود بر سطح) مساوی با صفر استفاده می‌شود.

در ادامه کد مربوط به تنظیم‌های فشار آورده شده است. همانطور که در کد مشاهده می‌شود، خط

اول دیمانسیون متغیر، خط دوم مقدار اولیه و باقی خطوط شرط مرزی برای صفحات مختلف هندسه را تعیین می کند.

```

dimensions      [0 2 -2 0 0 0 0];

internalField   uniform 0;

boundaryField
{
  wall
  {
    type          zeroGradient;
  }
  outlet
  {
    type          fixedValue;
    value         uniform 0;
  }
  inlet
  {
    type          zeroGradient;
  }
  frontAndBack
  {
    type          empty;
  }
}

```

در فایل U مقادیر اولیه و مرزی سرعت برای هریک از مرزها تعیین می شود. در این تحقیق با توجه به اینکه پارامترهای سیال و هندسه کانال ثابت است، سرعت ورودی از روی عدد رینولدز مشخص می شود. سرعت ورودی یکنواخت و ثابت است. با توجه به شرط توسعه یافتگی جریان، گرادیان سرعت در خروجی کانال برابر صفر و سرعت در مجاور دیواره های کانال با توجه به شرط عدم لغزش، برابر صفر در نظر گرفته می شود. کد مورد استفاده برای سرعت در ادامه تحقیق آورده شده است.

```

dimensions      [0 1 -1 0 0 0 0];

```

```

internalField    uniform (0 0 0);

boundaryField
{
    wall
    {
        type          fixedValue;
        value        uniform (0 0 0);
    }
    outlet
    {
        type          zeroGradient;
    }
    inlet
    {
        type          fixedValue;
        value        uniform (1.9918 0 0);
    }
    frontAndBack
    {
        type          empty;
    }
}

```

در پنج فایل مذکور دیگر که مربوط به تنش است، مقادیر اولیه و مرزی تنش و چهار مود آن برای هریک از مرزها تعیین می‌گردد. همانطور که در کد ارائه شده در زیر مشاهده می‌شود، میدان تنش اولیه برابر صفر در نظر گرفته شده است. در مرز خروجی و دیواره‌های کانال، گرادیان تنش برابر صفر لحاظ گردیده و برای مرز ورودی، تانسور تنش برابر صفر منظور شده است. شرایط اولیه و مرزی برای  $\tau_{first}$ ,  $\tau_{second}$ ,  $\tau_{third}$  و  $\tau_{fourth}$  مشابه  $\tau$  می باشد.

```

dimensions      [1 -1 -2 0 0 0 0];
internalField  uniform (0 0 0 0 0 0);
boundaryField
{
    wall
    {

```

```

        type          zeroGradient;
    }

    outlet
    {
        type          zeroGradient;
    }
    inlet
    {
        type          fixedValue;
        value         uniform (0 0 0 0 0 0);
    }

    frontAndBack
    {
        type          empty;
    }
}

```

#### ۴-۸-۲- تعریف شبکه و مقادیر ثابت مسأله

همانطور که در نمودار درختی شکل (۴-۲) مشاهده می‌شود، پوشه "constant" شامل یک پوشه و یک فایل است. نام پوشه "polyMesh" و نام فایل "viscoelasticProperties" می‌باشد. خواص رئولوژیکی سیال ویسکوالاستیک شامل ویسکوزیته دینامیکی حلال نیوتنی ( $\eta_S$ ) و ماده پلیمری ( $\eta_P$ )، چگالی ( $\rho$ )، زمان آسودگی از تنش ( $\lambda$ ) و همچنین ثوابت مدل EPTT ( $\epsilon$  و  $\zeta$ ) در فایل "viscoelasticProperties" تعیین می‌شود. به عنوان مثال یک نمونه از کد در ادامه آورده شده است.

```

rheology
{
    type multiMode;

    models
    (
        first
        {
            type PTT-Exponential;

```

```

rho          rho [1 -3 0 0 0 0 0] 1226;
etaS         etaS [1 -1 -1 0 0 0 0] 0.27;
etaP         etaP [1 -1 -1 0 0 0 0] 2.5;
lambda      lambda [0 0 1 0 0 0 0]0.00502;
epsilon      epsilon [0 0 0 0 0 0 0] 0.02;
zeta         zeta [0 0 0 0 0 0 0] 0.04;
    }

second
    {
type PTT-Exponential;
rho          rho [1 -3 0 0 0 0 0] 1226;
etaS         etaS [1 -1 -1 0 0 0 0] 0.27;
etaP         etaP [1 -1 -1 0 0 0 0] 0.9;
lambda      lambda [0 0 1 0 0 0 0]0.00502;
epsilon      epsilon [0 0 0 0 0 0 0] 0.02;
zeta         zeta [0 0 0 0 0 0 0] 0.04;
    }

third
    {
type PTT-Exponential;
rho          rho [1 -3 0 0 0 0 0] 1226;
etaS         etaS [1 -1 -1 0 0 0 0] 0.27;
etaP         etaP [1 -1 -1 0 0 0 0] 0.3;
lambda      lambda [0 0 1 0 0 0 0]0.00502;
epsilon      epsilon [0 0 0 0 0 0 0] 0.02;
zeta         zeta [0 0 0 0 0 0 0] 0.04;
    }

fourth
    {
type PTT-Exponential;
rho          rho [1 -3 0 0 0 0 0] 1226;
etaS         etaS [1 -1 -1 0 0 0 0] 0.27;
etaP         etaP [1 -1 -1 0 0 0 0] 0.1;
lambda      lambda [0 0 1 0 0 0 0]0.00502;
epsilon      epsilon [0 0 0 0 0 0 0] 0.02;
zeta         zeta [0 0 0 0 0 0 0] 0.04;
    }
);

```



}

این کد در فایل createFields.H وارد شده و پس از آن، این فایل در کد حلگر فراخوانده می‌شود. در پوشه "polyMesh" اطلاعات شبکه وارد شده و نوع شرط مرزی برای هر یک از مرزها تعیین می‌گردد. لازم به ذکر است که در این پژوهش از نرم افزار "Gambit" برای ایجاد شبکه داخل کانال استفاده شده است. ابتدا در نرم افزار "Gambit" شبکه بندی هندسه، شرط مرزی و نام‌گذاری صفحات مرزی تعیین می‌گردد و پس از فراخوانی شبکه تولید شده در نرم افزار OpenFOAM، مشخصات سلول‌های شبکه و نامگذاری صفحات مرزی در فایل "boundary"، داخل پوشه "polyMesh" ایجاد می‌گردد.

```
(
  wall
  {
    type            wall;
    nFaces          1280;
    startFace       50520;
  }
  outlet
  {
    type            patch;
    nFaces          40;
    startFace       51800;
  }
  inlet
  {
    type            patch;
    nFaces          40;
    startFace       51840;
  }
  frontAndBackPlanes
  {
    type            empty;
    nFaces          51200;
    startFace       51880;
  }
}
```

)

#### ۳-۸-۴ کنترل فرآیند حل عددی

پوشه "system" شامل سه فایل به نام‌های "controlDict", "fvSchemes" و "fvSolution" می‌باشد که برای کنترل حل به کار گرفته می‌شوند.

در فایل "controlDict" تنظیم‌های مورد نیاز برای زمان بندی حل انجام می‌گیرد. به عنوان نمونه، زمان شروع و پایان حل، فاصله زمانی برای خروجی حل و گام زمانی در این فایل تنظیم می‌شود. در ادامه نمونه‌ای از کد مورد استفاده در این فایل آورده شده است.

```

application      viscoelasticFluidFoam;

startFrom       latestTime;

startTime       0.0;

stopAt          endTime;

endTime         300;

deltaT          1e-5;

writeControl    adjustableRunTime;

writeInterval  0.5;

purgeWrite     0;

writeFormat    ascii;

writePrecision 6;

writeCompression uncompressed;

timeFormat     general;

timePrecision 6;

graphFormat    raw;
    
```

```

runTimeModifiable yes;

adjustTimeStep on;

maxCo          0.8;

maxDeltaT      0.001;
    
```

همانطور که در کد بالا مشاهده می‌شود، زمان از صفر شروع می‌شود و در زمان ۳۰۰ ثانیه پایان می‌یابد. گام زمانی برابر  $1e-5$  ثانیه می‌باشد و هر  $0.5$  ثانیه یک بار، نتایج حل ذخیره می‌شود. در فایل "fvSchemes" گسسته سازی هر یک از عملگرهای دیفرانسیلی از قبیل گرادیان، دیورژانس، لاپلاسیان و کرل تعیین می‌شود. تعریف هر یک از عملگرهای دیفرانسیلی موجود در نرم افزار OpenFOAM در ۴-۵-جدول (۴-۵) آورده شده است.

جدول (۴-۵) تعریف عملگرهای دیفرانسیلی در نرم‌افزار OpenFOAM [۷۵].

عملگرهای ریاضی	کلید واژه
interpolationSchemes	مقادیر درونیابی نقطه به نقطه
snGradSchemes	مولفه گرادیان عمود بر سطح هر سلول
gradSchemes	گرادیان
divSchemes	دیورژانس
laplacianSchemes	لاپلاسیان
timeSchemes	مشتق زمانی مرتبه اول و دوم
fluxRequired	میدان مورد نیاز برای تولید جریان

نحوه استفاده و گسسته سازی هر یک از این عملگرها در این تحقیق، در ادامه توضیح داده شده و کد مربوط به آن آورده شده است.

برای گسسته سازی جمله مشتق زمانی از روش کرانک نیکلسون<sup>۱</sup> استفاده شده است.

```
ddtSchemes
{
    default           CrankNicholson 1;
}
```

در گسسته سازی جملات شامل گرادیان سرعت و فشار از روش گوسین خطی<sup>۲</sup> (اوپلر) استفاده شده است.

```
gradSchemes
{
    default           Gauss linear;
    grad(p)          Gauss linear;
    grad(U)          Gauss linear;
}
```

جملات شامل عملگر دیورژانس با استفاده از روش گوسین بالادست<sup>۳</sup> گسسته شده‌اند.

```
divSchemes
{
    default           none;
    div(phi,U)       Gauss upwind;

    div(phi,taufirst)   Gauss upwind;
    div(phi,tausecond)  Gauss upwind;
    div(phi,tauthird)   Gauss upwind;
    div(phi,taufourth)  Gauss upwind;

    div(tau)          Gauss linear;
}
```

---

1. Crank Nicholson  
2. Gauss linear  
3. Gauss upwind

در گسسته سازی جملات شامل عملگر لاپلاسین از روش گوسین خطی تصحیح شده<sup>۱</sup> استفاده شده است.

#### *laplacianSchemes*

```
{
    default                none;
    laplacian(etaPEff,U)   Gauss linear corrected;
    laplacian(etaPEff+etaS,U) Gauss linear corrected;
    laplacian((1|A(U)),p) Gauss linear corrected;
}
```

همچنین کد مربوط به درونیایی نقطه به نقطه، مولفه گرادیان عمود بر سطح هر سلول و میدان مورد نیاز برای تولید جریان به صورت زیر می باشد.

#### *interpolationSchemes*

```
{
    default                linear;
    interpolate(HbyA)      linear;
}
```

#### *snGradSchemes*

```
{
    default                corrected;
}
```

#### *fluxRequired*

```
{
    default                no;
    p;
}
```

در فایل "fvSolution" نحوه حل دستگاه معادلات، مقدار خطای نسبی و تعداد تکرار در هر گام زمانی تعیین می شود. برای حل دستگاه معادلات حاصل از گسسته سازی، روش های مختلفی وجود دارد. در جدول (۴-۶) کلیدواژه انواع روش های حل دستگاه معادلات خطی که به طور عمده در نرم افزار OpenFOAM مورد استفاده قرار می گیرد، آورده شده است. در ادامه، نحوه حل دستگاه معادلات

1. Gauss linear corrected

مربوط به هریک از میدان‌های حل توصیف شده و همچنین خطای نسبی و تعداد تکرار در هر گام زمانی به همراه کد مربوطه آورده شده است.

جدول (۴-۶) انواع روش‌های حل دستگاه معادلات خطی [۱۷۵].

کلید واژه	توضیحات
<b>PBiCG</b>	<b>Preconditioned Bi-Conjugate Gradient solver for asymmetric lduMatrices</b> using a run-time selectable preconditioner.
<b>BICCG</b>	Diagonal incomplete LU preconditioned BiCG solver derived from the general preconditioned BiCG solver PBiCG but with the choice of preconditioner pre-selected. This solver is present for backward-compatibility and the PBiCG solver should be used for preference.
<b>ICCG</b>	Incomplete Cholesky preconditioned CG solver derived from the general preconditioned CG solver PCG but with the choice of preconditioner pre-selected. This solver is present for backward-compatibility and the PCG solver should be used for preference.
<b>PCG</b>	<b>Preconditioned Conjugate Gradient solver for symmetric lduMatrices</b> using a run-time selectable preconditioner
<b>GAMG</b>	<b>Geometric Agglomerated algebraic MultiGrid solver</b>

در این تحقیق برای حل دستگاه معادلات در میدان فشار از روش گرادیان مزدوج پیش‌شرط PCG استفاده شده است، که کد مربوط به آن در زیر آورده شده است.

```

p CG
{
    preconditioner
    {
//         type          Cholesky;
         type          AMG;
         cycle         W-cycle;
         policy        AAMG;
    }
}

```

```

        nPreSweeps      0;
        nPostSweeps    2;
        groupSize      4;
        minCoarseEqns  20;
        nMaxLevels     100;
        scale           off;
        smoother        ILU;
    }

    tolerance          1e-07;
    relTol             0.0;
    minIter            0;
    maxIter            800;
};

```

به منظور حل دستگاه معادلات حاصل برای میدان سرعت از روش BiCGStab استفاده شده

است.

```

U BiCGStab
{
    preconditioner
    {
        type          Cholesky;
    }

    minIter          0;
    maxIter          1000;
    tolerance        1e-6;
    relTol           0.0;
};

```

همچنین برای حل دستگاه معادلات در تمام میدان‌های تنش نیز از روش BiCGStab استفاده شده

است.

```

taufirst BiCGStab
{
    preconditioner
    {

```

```
        type          Cholesky;
    }

    minIter          0;
    maxIter          1000;
    tolerance        1e-6;
    relTol           0.0;
};

tausecond BiCGStab
{
    preconditioner
    {
        type          Cholesky;
    }

    minIter          0;
    maxIter          1000;
    tolerance        1e-6;
    relTol           0.0;
};

tauthird BiCGStab
{
    preconditioner
    {
        type          Cholesky;
    }

    minIter          0;
    maxIter          1000;
    tolerance        1e-6;
    relTol           0.0;
};

taufourth BiCGStab
{
    preconditioner
    {
        type          Cholesky;
    }
}
```



```

    minIter      0;
    maxIter      1000;
    tolerance    1e-6;
    relTol       0.0;
};

```

برای افزایش همگرایی حل و تسریع سرعت، در الگوریتم تکرار PISO از ضرایب تخفیف استفاده می شود، که تعیین ضرایب تخفیف در فایل "fvSolution" صورت می گیرد. در ادامه کد مربوط به این ضرایب آورده شده است.

```

PISO
{
    momentumPredictor yes;
    nCorrectors      2;
    nNonOrthogonalCorrectors 1;
    pRefCell         0;
    pRefValue        0;
}

```

```

relaxationFactors
{
    p          0.3;

    U          0.5;

    taufirst   0.3;
    tausecond  0.3;
    tauthird   0.3;
    taufourth  0.3;
}

```

همانطور که مشاهده می شود برای میدان های فشار و تنش از ضریب تخفیف 0.3 و برای میدان سرعت از ضریب تخفیف 0.5 استفاده شده است.

## ۵- فصل پنجم

### نتایج

## ۵-۱- مقدمه

در این فصل، نتایج حاصل از حل عددی برای شبیه‌سازی جریان سیال نیوتنی و ویسکوالاستیک در تبدیل واگرای تدریجی در حالت صفحه‌ای برای سه زاویه ۳۰، ۴۵ و ۶۰ درجه بررسی شده است. همانطور که در فصل دوم به آن اشاره شد، جریان سیال نیوتنی و ویسکوالاستیک در تبدیل واگرای تدریجی صفحه‌ای قبلاً بررسی نشده است. از آنجایی که در بیشتر تحقیقات صورت گرفته برای تبدیل واگرای ناگهانی نسبت تبدیل برابر با ۳ می باشد، در این تحقیق نیز مقدار نسبت تبدیل برابر ۳ در نظر گرفته شده است.

در ابتدای این فصل، استقلال حل عددی از شبکه محاسباتی بررسی و صحت نتایج حاصل از حل عددی ارزیابی می‌شود. جهت ارزیابی صحت نتایج عددی، جریان سیال نیوتنی در زاویه ۹۰ درجه بررسی شده و با نتایج مطالعات قبلی مقایسه شده است. در قسمت‌های بعدی نیز، نتایج حل میدان جریان به صورت نمودارها و جداولی ارائه شده است.

## ۵-۲- بررسی استقلال حل از شبکه محاسباتی

برای بررسی استقلال حل عددی از شبکه محاسباتی، سرعت روی خط مرکزی<sup>۱</sup> کانال ( $U_{CL}$ ) با زاویه ۳۰ درجه در عدد رینولدز ۷۰ و طول گردابه‌های مجاور دیوار بالا و پایین ( $LX_1/h$ ) در عدد رینولدز ۶۰ با زاویه ۴۵ درجه برای ۳ نوع شبکه ترسیم شده است. تعداد سلول‌های مورد استفاده برای این شبکه‌ها به ترتیب در جدول (۵-۱) و جدول (۵-۲) ارائه شده است که نامگذاری این سه نوع شبکه براساس تراکم شبکه به ترتیب  $M_1$ ،  $M_2$  و  $M_3$  می باشد.

---

1. Center Line

جدول (۱-۵) تعداد سلول سه نوع شبکه برای زاویه ۳۰ درجه

تعداد سلول تمام بخش‌ها	تعداد سلول بخش سوم	تعداد سلول بخش دوم	تعداد سلول بخش اول	نوع شبکه
۸۳۴۰	۶۰۰۰	۳۴۰	۲۰۰۰	M1
۲۵۳۶۰	۱۸۰۰۰	۱۳۶۰	۶۰۰۰	M2
۴۳۴۵۰	۳۰۰۰۰	۳۴۵۰	۱۰۰۰۰	M3

جدول (۲-۵) تعداد سلول سه نوع شبکه برای زاویه ۴۵ درجه

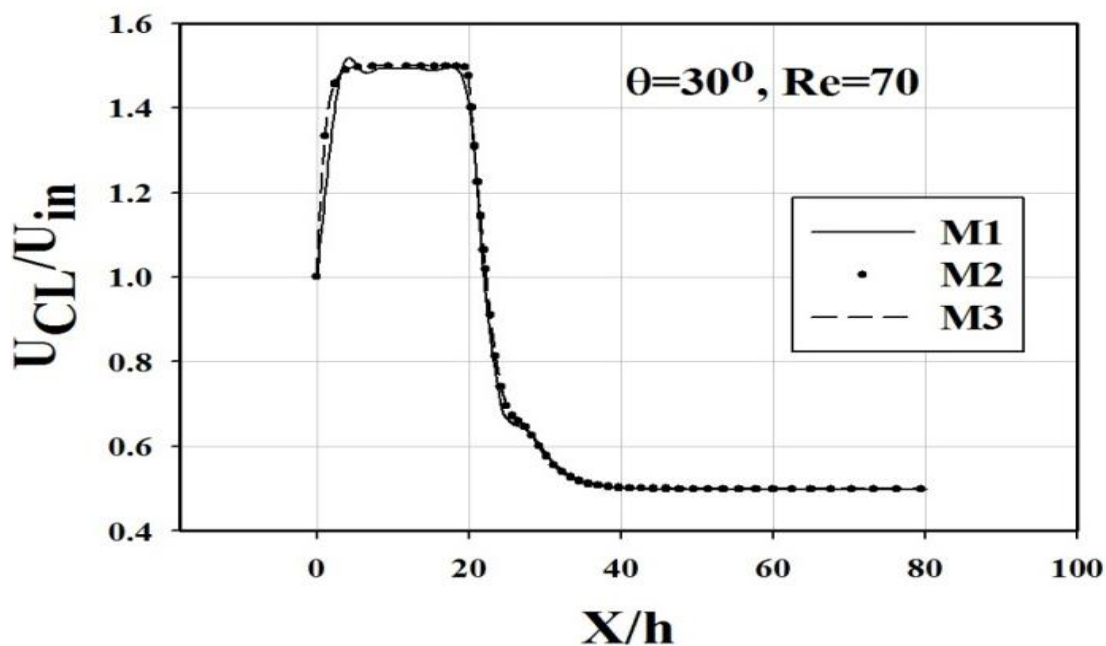
تعداد سلول تمام بخش‌ها	تعداد سلول بخش سوم	تعداد سلول بخش دوم	تعداد سلول بخش اول	نوع شبکه
۱۲۳۹۰	۹۰۰۰	۳۹۰	۳۰۰۰	M1
۲۴۸۰۰	۱۸۰۰۰	۸۰۰	۶۰۰۰	M2
۴۲۰۰۰	۳۰۰۰۰	۲۰۰۰	۱۰۰۰۰	M3

حال برای آنکه بتوانیم استقلال حل عددی را از شبکه نشان دهیم نیاز به یک مقدار مرجع برای طول گردابه داریم. از آنجایی که هرچه تراکم شبکه بیشتر باشد، دقت آن شبکه نیز بالاتر است. پس در این تحقیق شبکه M3 به عنوان شبکه مرجع در نظر گرفته شده است و طول گردابه مربوط به شبکه M1 و M2 با شبکه مرجع مورد مقایسه قرار گرفته است. که نتایج این مقایسه و درصد خطای نسبی ناشی از این مقایسه (ER) در جدول (۳-۵) آورده شده است و خطای نسبی برای شبکه‌های M1 و M2 به ترتیب با ERM1 و ERM2 نامگذاری شده است.

جدول (۳-۵) مقایسه طول گردابه‌ها در ۳ نوع شبکه برای زاویه ۴۵ درجه همراه با درصد خطای نسبی

ERM2	ERM1	M3	M2	M1	دیواره کانال
%	%				
۰/۵۳	۱/۲۰	۶/۶۲۶۸	۶/۶۶۱۷	۶/۷۰۶۵	پایین
۰/۶۹	۱/۳۷	۴/۹۱۱۵	۴/۸۷۷۷	۴/۸۴۴۱	بالا

همانطور که در شکل (۱-۵) نیز مشاهده می شود، سرعت ترسیم شده روی خط مرکزی کانال برای شبکه M۲ نسبت به M۱، دارای اختلاف بسیار کمی با شبکه M۳ می باشد و حتی توزیع سرعت در بخش یک کانال برای شبکه M۱ دارای نوسانات زیادی می باشد.



شکل (۱-۵) سرعت روی خط مرکزی کانال برای سه نوع شبکه

بدیهی است که افزایش تعداد سلول های شبکه، باعث افزایش دقت و کاهش خطای کل می شود، ولی باید توجه داشت که این امر باعث افزایش شدید حجم و زمان محاسبات می شود. با توجه به اطلاعات

جدول (۳-۵) و شکل (۱-۵)، می توان با تقریب خوبی از شبکه M2 استفاده نمود. در مطالعه حاضر نیز برای بررسی مشخصات گردابه‌ها از شبکه M2 استفاده شده است.

### ۳-۵- بررسی صحت نتایج

همانطور که قبلاً ذکر شد، هندسه انبساط ناگهانی (زاویه ۹۰ درجه) برای حالت دوبعدی توسط محققین زیادی مورد بررسی قرار گرفته است. در ارزیابی صحت نتایج تحقیق حاضر، برای مقایسه با مطالعات گذشته از انبساط ناگهانی (زاویه ۹۰ درجه) با نسبت انبساط ۱:۳ در محدوده اعداد رینولدز مختلف استفاده شده است. بهترین پارامتری که می توان با استدلال به آن از صحت حل مسئله مطمئن شد، طول گردابه‌های ایجاد شده به صورت بی بعد ( $Dv_1, Dv_2$ ) و نمودارهای حاصل از آن می باشد.

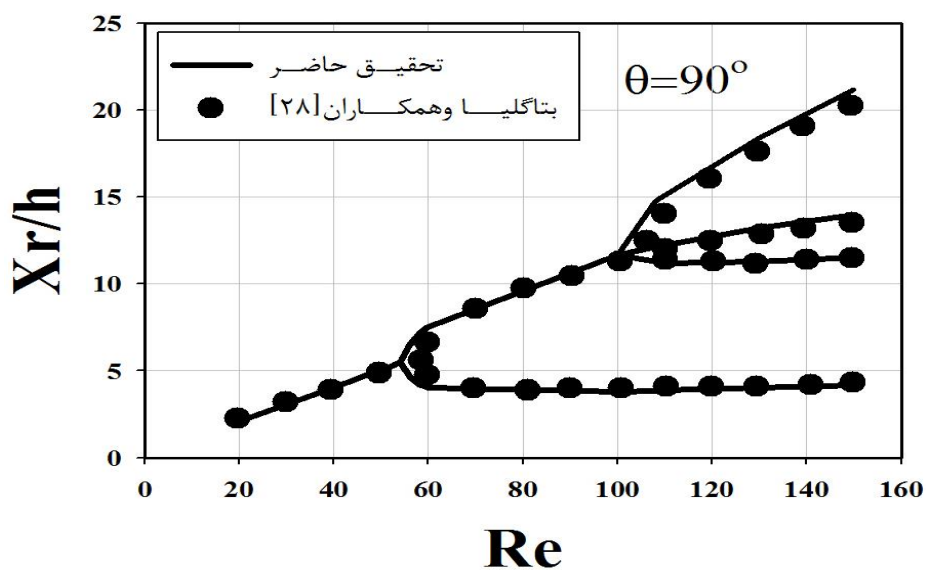
الیویرا [۳۳] در سال ۲۰۰۲ جریان سیال نامتقارن غیرنیوتنی را برای تبدیل واگرای ناگهانی متقارن صفحه‌ای مورد بررسی قرار داد. او در تحقیق خود قبل از بررسی جریان سیال غیرنیوتنی به بررسی جریان سیال نیوتنی پرداخته و طول گردابه‌ها را در اعداد رینولدز مختلف  $0.1 \leq Re \leq 100$  و در نسبت تبدیل ۱:۳ گزارش کرده است.

در جدول (۴-۵)، طول گردابه‌های حاصل از حل عددی تحقیق حاضر برای اعداد رینولدز مختلف در زاویه ۹۰ درجه به صورت بی بعد ( $Dv_1 = Dx_1/h, Dv_2 = Dx_2/h$ ) با نتایج الیویرا [۳۳] مقایسه شده و خطای مطلق این مقایسه (Et) نیز آورده شده است. همانطور که از جدول (۴-۵) مشخص است، بیشترین اختلاف با تحقیق الیویرا [۳۳] به صورت مطلق برابر ۰/۱ است و این به دلیل یکسان نبودن شبکه بندی به کار برده شده و طول گام شبکه در راستای x و y می باشد.

جدول (۴-۵) مقایسه طول گردابه‌ها با نتایج الیویرا [۳۳]

خطای مطلق		تحقیق الیویرا [۳۳]		تحقیق حاضر		عدد Re
Er2	Er1	Dv <sub>1</sub>	Dv <sub>2</sub>	Dv <sub>1</sub>	Dv <sub>2</sub>	
۰/۰۱۷	۰/۰۱۷	۲/۱۱۱	۲/۱۱۱	۲/۰۹۴	۲/۰۹۴	۲۰
۰/۰۳۰	۰/۰۳۰	۴/۰۷۵	۴/۰۷۵	۴/۰۴۵	۴/۰۴۵	۴۰
۰/۰۱۴	۰/۰۱۴	۵/۰۸۰	۵/۰۸۰	۵/۰۶۶	۵/۰۶۶	۵۰
۰/۱	۰/۰۷	۷/۶۱	۳/۹۴۰	۷/۵۱۰	۴/۰۱۰	۶۰
۰/۰۲	۰/۰۱۲	۱۰/۰۶	۳/۶۵۸	۱۰/۰۴	۳/۶۷۰	۸۰
۰/۰۳۰	۰/۰۱۱	۱۱/۶۶	۳/۷۸۱	۱۱/۶۳	۳/۷۷۰	۱۰۰

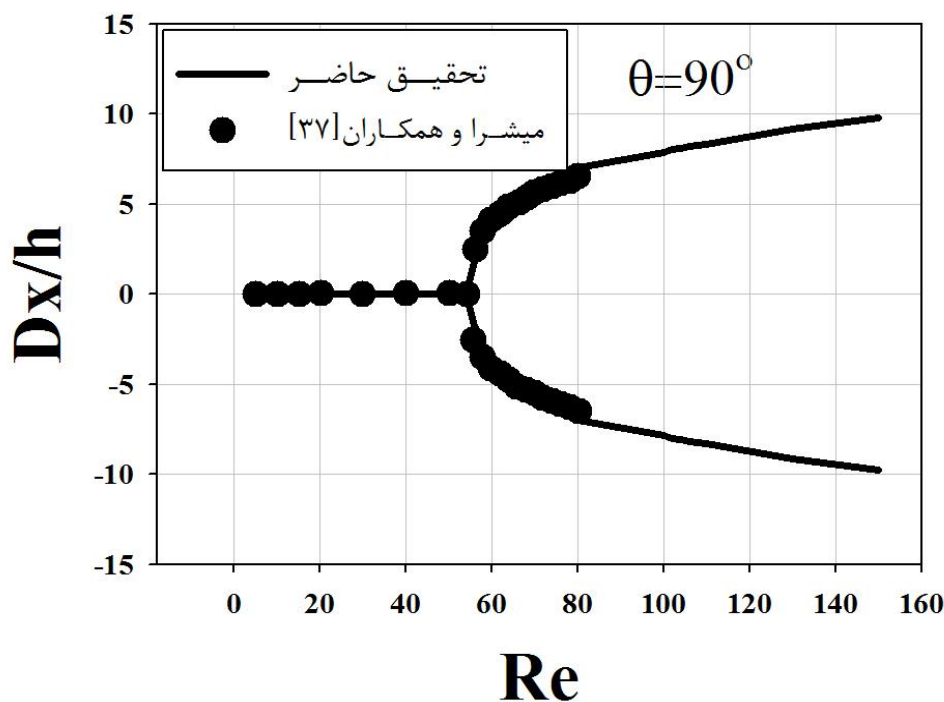
همچنین در شکل (۲-۵)، برای ارزیابی صحت پدیده دو شاخه‌ای ناشی از طول گردابه‌ها در زاویه ۹۰ درجه، مقایسه‌ای با تحقیق بتاگلیا و همکارانش [۲۸] انجام گرفته است. آنها در تحقیق خود، شبیه سازی عددی را با روش حجم محدود انجام داده‌اند.



شکل (۲-۵) مقایسه طول گردابه‌ها با تحقیق بتاگلیا و همکارانش [۲۸]

اندک تفاوتی که در شکل (۲-۵) مشاهده می شود؛ به دلیل وابستگی نقطه انشعاب دو شاخه‌ای و انشعاب سه شاخه‌ای به عواملی مانند اندازه سلول شبکه، دقت حل عددی و روش‌های عددی مورد استفاده می باشد.

همچنین در شکل (۳-۵) نیز مقایسه دیگری با تحقیق میسرا و همکارانش [۳۷] در زاویه ۹۰ درجه صورت گرفته است، که این مقایسه برای صحت پدیده دو شاخه‌ای ناشی از اختلاف طول گردابه‌ها می باشد. میسرا و همکارانش [۳۷] در مطالعات خود از روش اختلال<sup>۱</sup> و روش المان محدود برای بررسی طول گردابه‌ها استفاده کرده‌اند.



شکل (۳-۵) مقایسه اختلاف طول گردابه‌ها با تحقیق میسرا و همکارانش [۳۷]

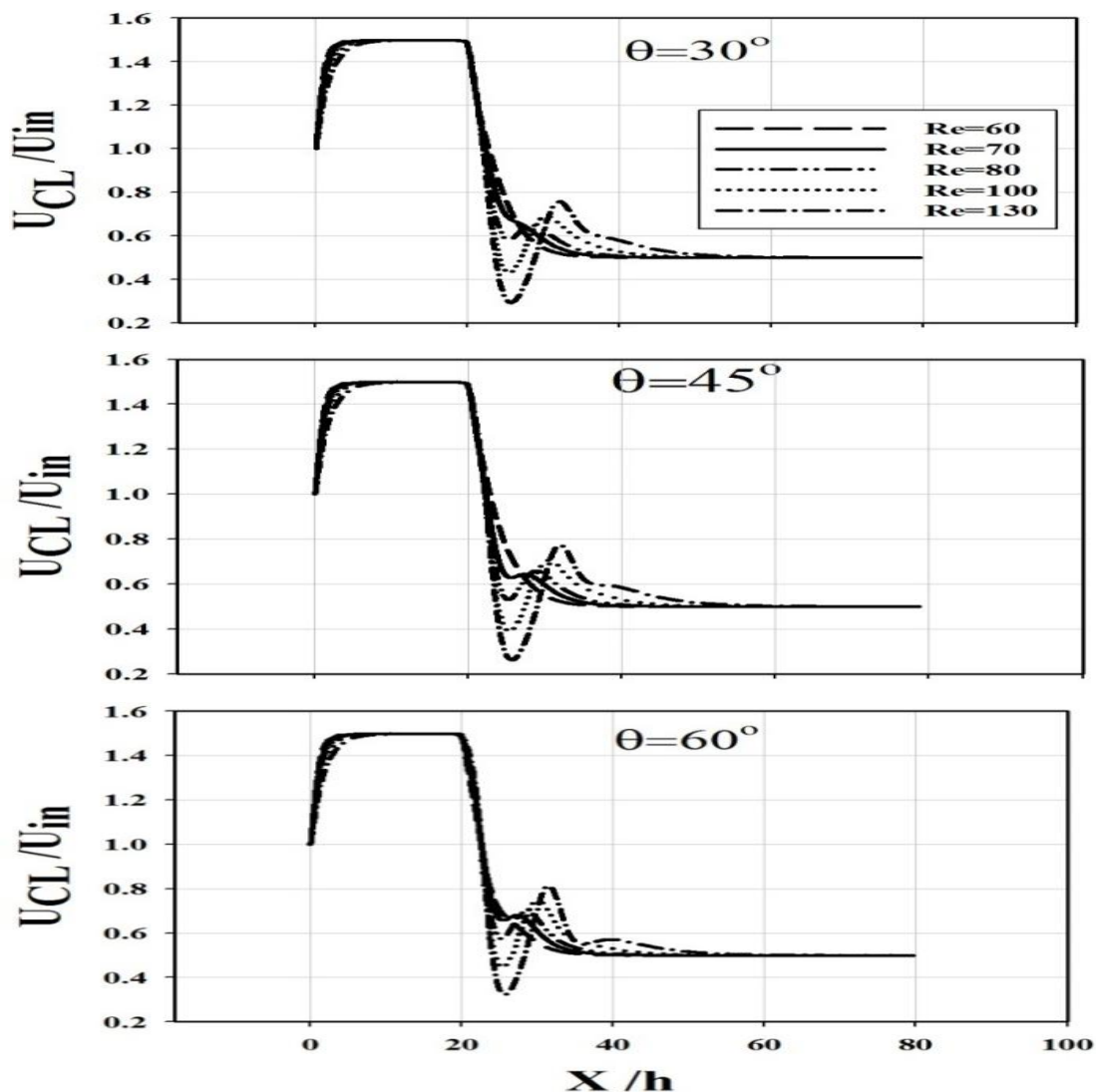
همانطور که در شکل (۲-۵) و شکل (۳-۵) مشاهده می شود مطابقت خوبی بین نتایج حاضر و تحقیقات دیگران وجود دارد.





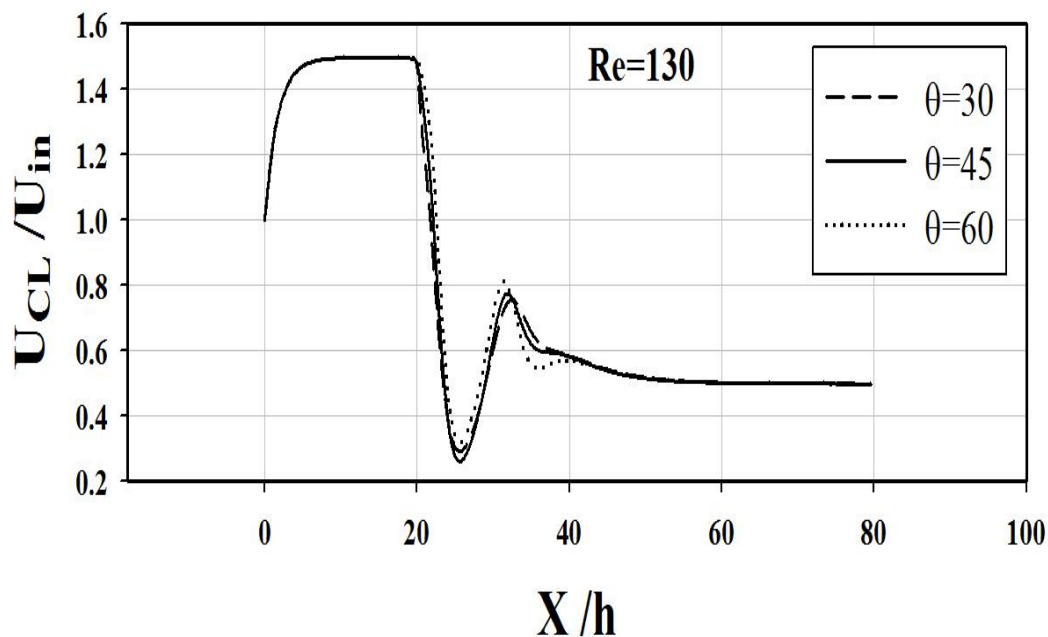
## ۴-۵- بحث در نتایج

برای بررسی شرط توسعه یافتگی جریان سیال نیوتنی در بخش پایین دست و بالادست جریان (بخش اول و بخش سوم) از سرعت خط مرکزی کانال ( $U_{CL}$ ) به عنوان یک مشخصه استفاده شده است. از آنجایی که برای افزایش عدد رینولدز، تنها پارامتر سرعت ورودی به عنوان متغیر و باقی پارامترها ثابت در نظر گرفته شده است، پس با افزایش عدد رینولدز طول توسعه یافتگی در هر دو بخش اول و سوم کانال افزایش می یابد، که این به وضوح در شکل (۴-۵) برای هر سه زاویه ۳۰، ۴۵ و ۶۰ درجه دیده می شود.



شکل (۴-۵) مقایسه سرعت روی خط مرکزی کانال در اعداد رینولدز مختلف برای سیال نیوتنی

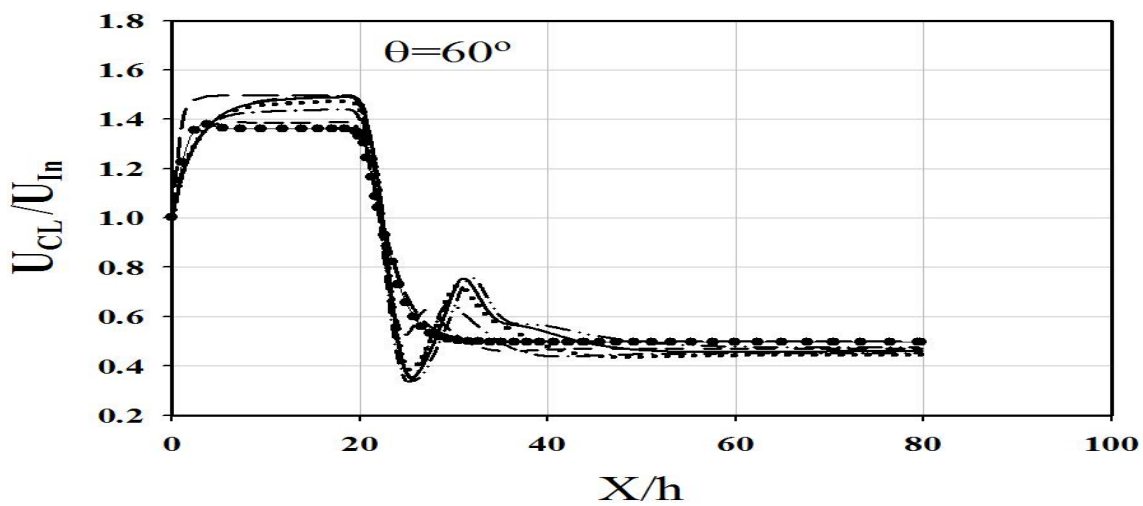
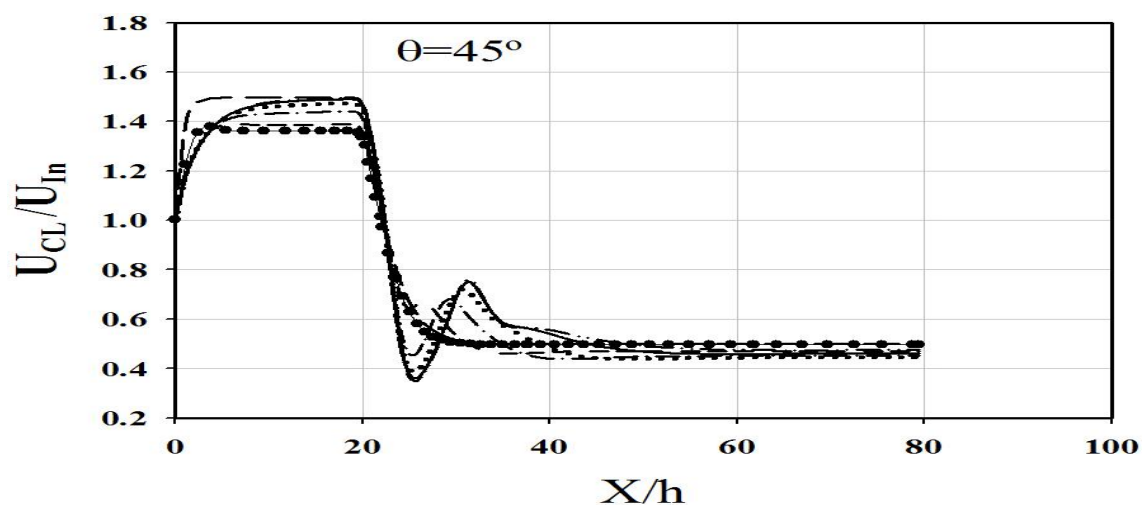
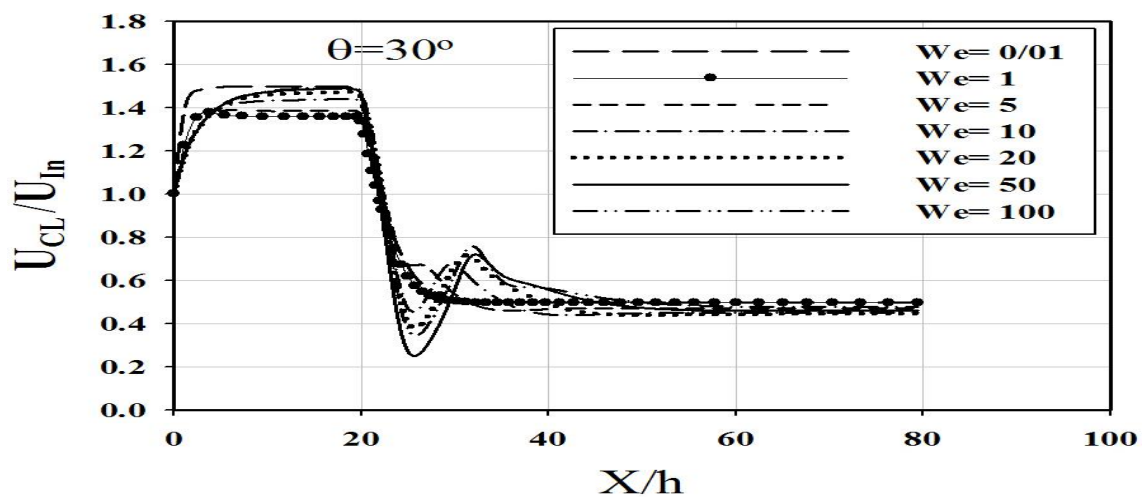
همانطور که در شکل (۴-۵) مشاهده می شود، در ابتدا که جریان سیال دارای رژیم جریان پایدار و متقارن است، سرعت خط مرکزی بعد از افت ناگهانی به حالت توسعه یافتگی می رسد اما با افزایش عدد رینولدز، رژیم جریان پایدار و نامتقارن می شود و اثرات گردابه های ناشی از جریان معکوس باعث می شود که سرعت خط مرکزی بعد از بیشترین کاهش، دوباره افزایش یابد. هرچه عدد رینولدز بیشتر باشد به دلیل افت فشار بیشتر در یک سمت، قدرت و طول یک گردابه بزرگتر و گردابه دیگر کوچکتر می شود به طوری که تأثیر قابل ملاحظه هر دو گردابه باعث می شود که با افزایش عدد رینولدز، میزان اولین افت ناگهانی سرعت و اوج دوباره آن نیز افزایش یابد. همچنین برای نشان دادن تأثیر زوایا، سرعت روی خط مرکزی کانال برای عدد رینولدز ۱۳۰ در شکل (۵-۵) ترسیم شده است.



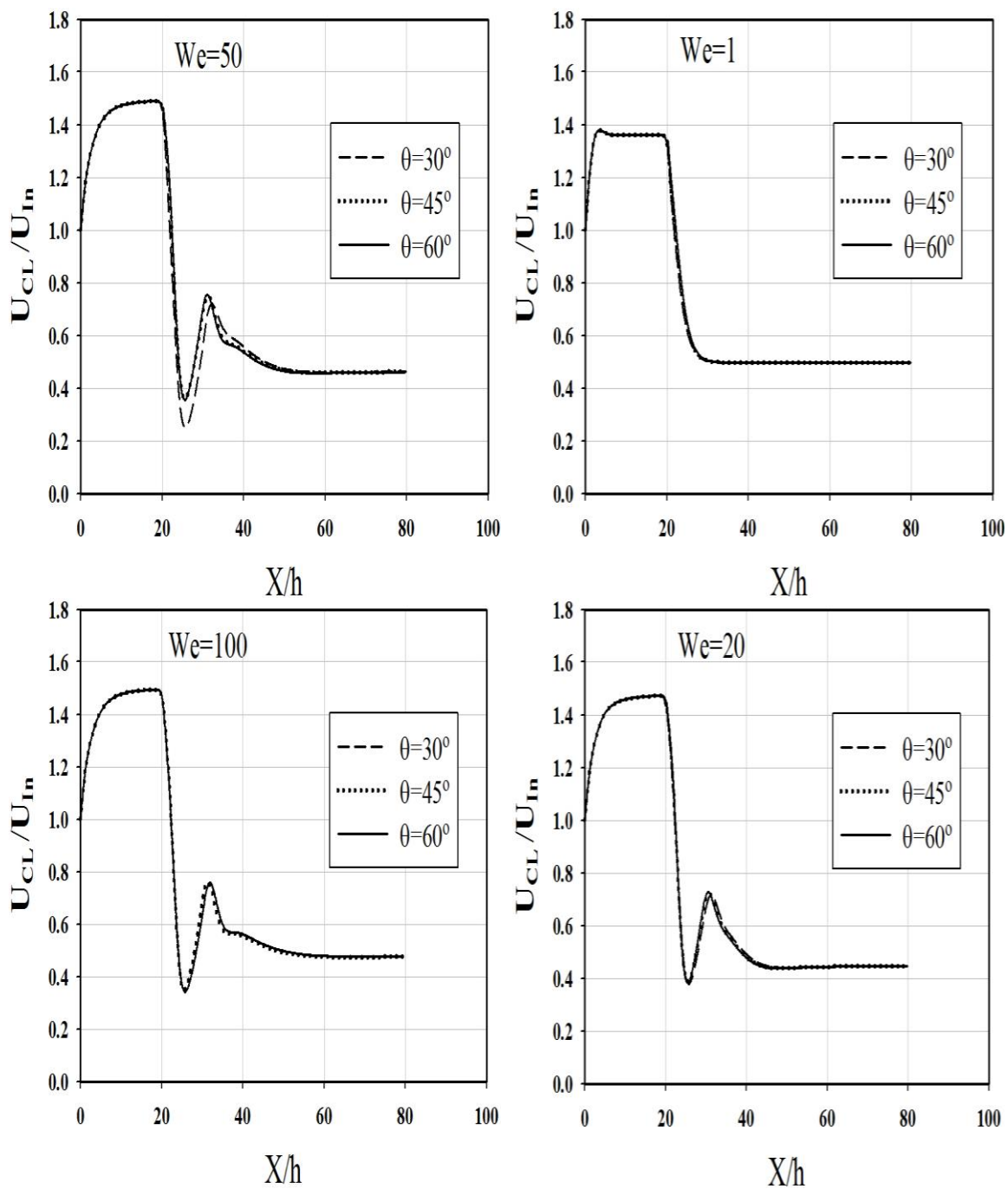
شکل (۵-۵) سرعت روی خط مرکزی کانال در زوایای مختلف برای سیال نیوتنی

برای سیال ویسکوالاستیک نیز سرعت روی خط مرکزی کانال برای عدد رینولدز ۶۰ ترسیم شده است و از آنجایی که مدل مورد استفاده در این تحقیق غیر خطی است، نمی توان انتظار داشت که در تمام اعداد وایزبرگ سرعت در روی خط مرکزی کانال  $1/5$  برابر سرعت متوسط باشد.

در اعداد وایزنبرگ خیلی کوچک سیال رفتار نیوتنی دارد و همانطور که از شکل (۵-۶) نیز مشاهده می شود، نمودار سرعت در عدد وایزنبرگ  $0/01$  مشابه سرعت در سیال نیوتنی می باشد. همانطور که از شکل (۵-۶) مشاهده می شود در اعداد وایزنبرگ کوچک دیگر سرعت بیشینه  $1/5$  برابر سرعت متوسط نیست؛ ولی در اعداد وایزنبرگ بزرگ این شرط توسعه یافتگی برقرار می گردد و هرچه عدد وایزنبرگ بزرگتر باشد، جریان سیال برای رسیدن به شرط توسعه یافتگی، طول بیشتری از کانال را طی می کند. همچنین با افزایش عدد وایزنبرگ، عدد رینولدز بحرانی اول و دوم نیز کاهش پیدا می کند. برای تأثیر زوایا بر روی سرعت خط مرکزی کانال در جریان سیال ویسکوالاستیک سرعت در زوایای  $30^\circ$ ،  $45^\circ$  و  $60^\circ$  در اعداد وایزنبرگ  $1$ ،  $20$ ،  $50$  و  $100$  در شکل (۵-۷) ترسیم شده است. همانطور که از شکل (۵-۷) مشاهده می شود، در اعداد وایزنبرگ کوچک و بزرگ توزیع سرعت روی خط مرکزی کانال، مستقل از اندازه زاویه می شود و در اعداد وایزنبرگ متوسط با افزایش مقدار زاویه انبساطی، تغییرات سرعت نیز بیشتر می شود.



شکل (۵-۶) مقایسه سرعت روی خط مرکزی کانال در اعداد وایزنبرگ مختلف و در عدد رینولدز ۶۰



شکل (۵-۷) سرعت روی خط مرکزی کانال در زوایای مختلف برای سیال ویسکوالاستیک

و در عدد رینولدز ۶۰

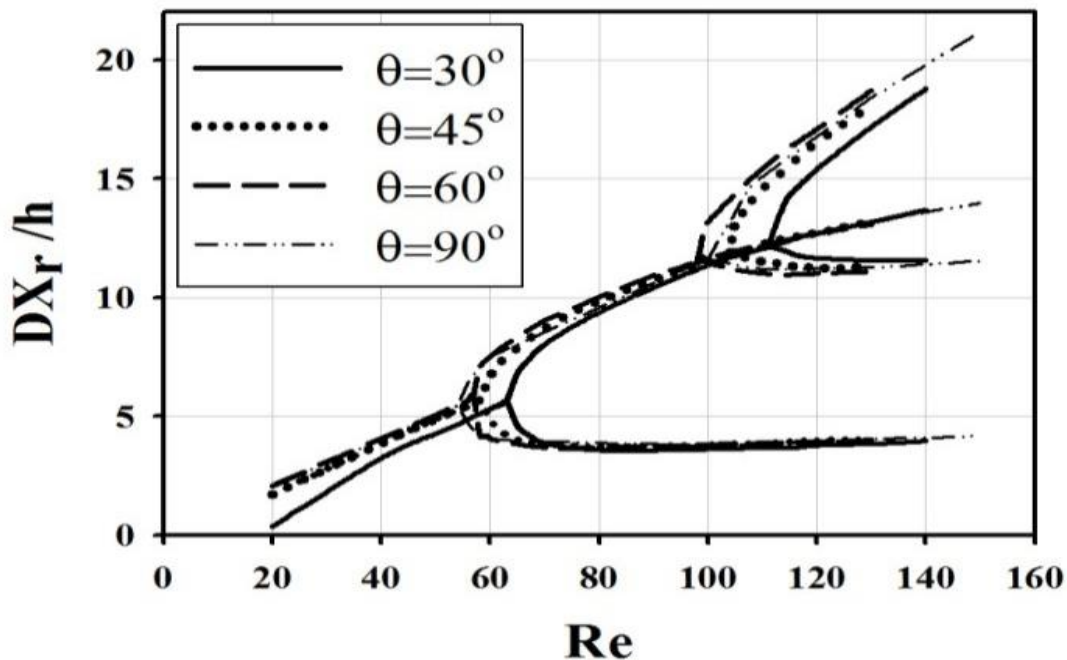
جریان سیال نیوتنی در هر زاویه دارای نمودار انشعابی متفاوتی برای طول گردابه می باشد؛ که در آن  $DX_r$  مربوط به اختلاف فاصله ابتدا و انتهای هر گردابه از فاصله ابتدای گردابه اول از ورودی بخش دوم

است که بر حسب اعداد رینولدز مختلف در شکل (۵-۸) ترسیم شده است. افزایش عدد رینولدز (ناشی از افزایش سرعت) سبب افزایش فشار انبساطی می شود. در عدد رینولدز بحرانی نیروهای فشاری بر نیروی ویسکوز غلبه می کنند و دیگر نیروی ویسکوز قادر به حفظ ساختار میدان جریان به شکل یک جفت گردابه متقارن نخواهد بود. در این حالت ناپایداری در جریان بوجود می آید و گردابه های در شرایط نامتقارنی پدید می آیند. بنابراین برای رسیدن به یک حالت پایدار جدید، طول یک گردابه کاهش و طول گردابه دیگر افزایش می یابد و این منجر به دو شاخه شدن<sup>۱</sup> نمودار طول گردابه ها در عدد رینولدز بحرانی می شود.

همانطور که از شکل (۵-۸) مشاهده می شود، برای پدیده دو شاخه شدن، باید قدرمطلق طول گردابه در زوایای مختلف به یک مقدار مشخص برسد که با توجه به نتایج تحقیق حاضر، قدرمطلق طول گردابه ۵/۵ برابر ارتفاع بخش بالادست جریان می باشد. افزایش زاویه انبساطی، باعث افزایش قدرت و طول گردابه می شود. در نتیجه با افزایش زاویه، مقدار عدد رینولدز بحرانی کاهش می یابد و نقطه دو شاخه شدن به سمت چپ متمایل می شود. با افزایش بیشتر عدد رینولدز پدیده سه شاخه ای شدن نیز در نمودار مشاهده می شود.

تا قبل از رینولدز بحرانی اول، جریان متقارن و طول هر دو گردابه برابر است. در نتیجه، نمودار شکل (۵-۸) به صورت تک شاخه می باشد. با بیشتر شدن عدد رینولدز از مقدار بحرانی اول، جریان نامتقارن شده و نمودار شکل (۵-۸) دو شاخه ای می شود. به طوری که شاخه پایین طول گردابه کوچکتر و شاخه بالا طول گردابه بزرگتر را نشان می دهد. بعد از عدد رینولدز بحرانی اول با انحراف جریان و ایجاد موازنه جدید بین نیروهای اینرسی، فشاری و ویسکوز حالت جدیدی از پایداری برای جریان ایجاد می شود. به همین دلیل شاخه پایین ابتدا کمی افت دارد و بعد از اندکی افزایش عدد رینولدز به صورت خط صاف ظاهر می شود. بعد از عدد رینولدز دوم نمودار شکل (۵-۸) سه شاخه ای

شده، که شاخه وسطی طول گردابه بزرگتر و فاصله بین شاخه پایین و بالا، طول گردابه سوم را نشان می دهد.

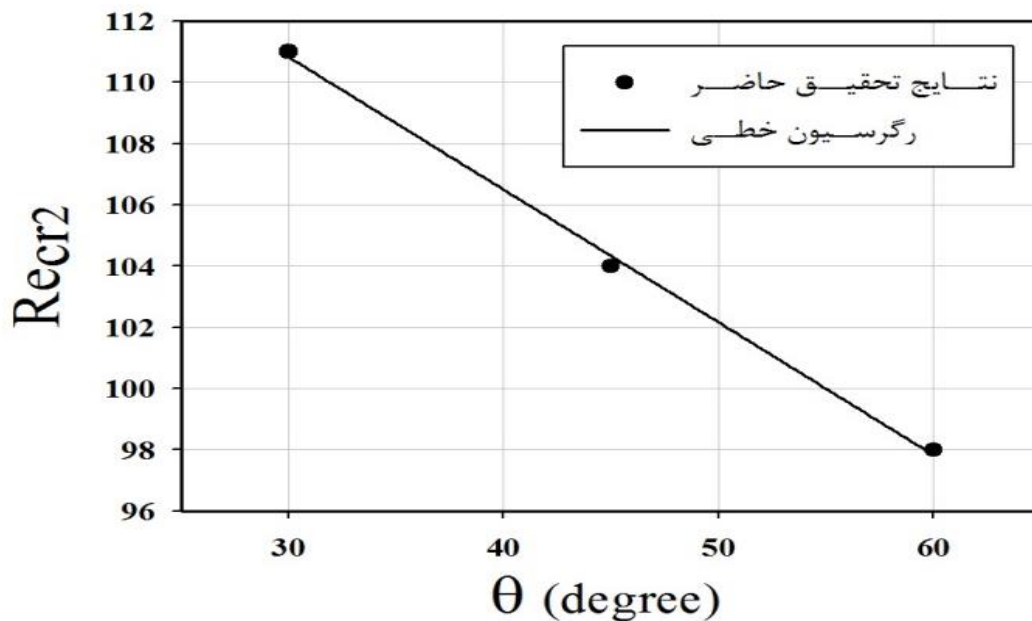


شکل (۸-۵) مقایسه نمودار چند شاخه‌ای در زوایای مختلف برای سیال نیوتنی

همانطور که در شاخه وسط قسمت سه شاخه‌ای نمودار شکل (۸-۵) مشاهده می شود مقادیر رینولدز بحرانی دوم برای هر زاویه انبساطی تقریباً بر روی یک خط راست قرار دارد. در شکل (۹-۵) با استفاده از رگرسیون خطی رابطه‌ای، برای مقدار عدد رینولدز بحرانی دوم بر حسب زاویه انبساطی به صورت زیر ارائه شده است.

$$Re_{Crr} = 123 / 1333 + (-0.4333 \cdot \theta^{\circ}) \quad (1-5)$$





شکل (۵-۹) رگرسیون خطی برای عدد رینولدز بحرانی دوم

مقدار عدد رینولدز بحرانی برای تبدیل گردابه‌ها از حالت متقارن به حالت نامتقارن و نیز تبدیل دو گردابه به سه گردابه در سه زاویه ۳۰، ۴۵ و ۶۰ درجه به صورت منظم در جدول (۵-۵) آورده شده است. که این مقادیر بیان شده برای عدد رینولدز بحرانی اول و دوم، در نقطه دو شاخه‌ای و سه شاخه-ای نمودار شکل (۵-۸) نیز قابل مشاهده می‌باشد.

جدول (۵-۵) اعداد رینولدز بحرانی اول و دوم برای جریان سیال نیوتنی

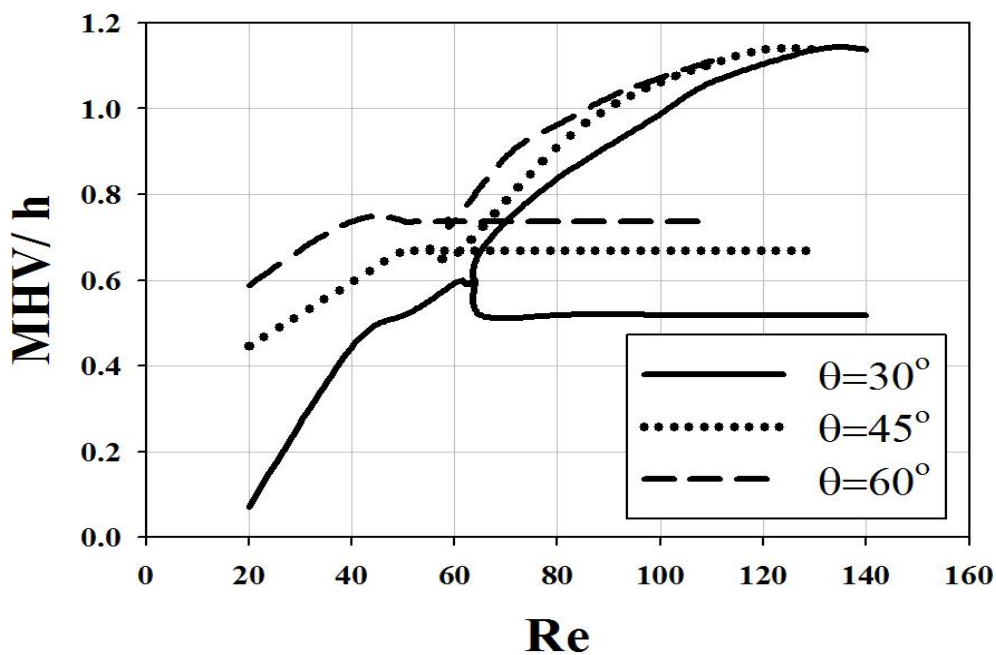
$\theta = 60$	$\theta = 45$	$\theta = 30$	عدد رینولدز بحرانی
۵۷	۵۹	۶۳	$Re_{Cr1}$
۹۸	۱۰۴	۱۱۱	$Re_{Cr2}$

در جداول (۵-۶) تا (۵-۱۷) برای هر گردابه مشخصات طول، بیشترین ارتفاع و طول بیشترین ارتفاع، نقطه شروع و خاتمه گردابه از ابتدای بخش انبساطی به ازای زوایای ۳۰، ۴۵ و ۶۰ درجه در محدوده اعداد رینولدز  $20 \leq Re \leq 130$  به صورت منظم و طبقه بندی شده ارائه شده است.

در شکل (۵-۱۰) نمودار دوشاخه‌ای ماکزیمم ارتفاع گردابه<sup>۱</sup> (MHV) در مجاورت دیوار بالا و پایین کانال بر حسب عدد رینولدز نشان داده شده است. با افزایش زاویه انبساطی، به دلیل افزایش نیروی فشاری، اندازه MHV برای هر دو گردابه بالا و پایین بیشتر می‌شود (یعنی بیشینه ارتفاع افزایش می‌یابد). هر چه زاویه انبساطی بزرگتر باشد میزان افزایش ارتفاع گردابه نیز بیشتر شده و در نتیجه فاصله بین دو شاخه MHV کمتر می‌شود. با افزایش عدد رینولدز تا عدد رینولدز بحرانی اول، اندازه MHV برای هر دو گردابه مجاور دیوار بالا و پایین کانال به دلیل تقارن جریان، یکسان می‌باشد.

در هر زاویه انبساطی با افزایش عدد رینولدز تا قبل از مقدار بحرانی اول، نیروی اینرسی و فشاری نیز افزایش یافته و به دلیل غلبه نیروی فشاری بر نیروی اینرسی و ویسکوز در مجاورت دیوار، ارتفاع هر دو گردابه زیاد می‌شود. اما بعد از عدد رینولدز بحرانی اول، به دلیل کاهش سطح مقطع عبور جریان توسط هر دو گردابه، نیروی اینرسی بسیار افزایش می‌یابد و دیگر نیروی فشاری قادر به غلبه بر آن نخواهد بود؛ در نتیجه برای ایجاد حالت تعادلی جدید جریان نامتقارن می‌شود. این تعادل جدید نیروهای فشاری و ویسکوز، باعث می‌شود که اندازه MHV برای گردابه کوچکتر ثابت بماند ولی برای گردابه بزرگتر به دلیل نبودن نواحی چرخشی در مجاورت بیشترین ارتفاع گردابه بزرگتر، با افزایش عدد رینولدز جریان به سمت دیگر کانال منحرف شده و اندازه MHV برای گردابه بزرگتر افزایش می‌یابد. با بیشتر شدن عدد رینولدز از مقدار ۱۴۰، دیگر اندازه MHV برای گردابه بزرگتر به مقدار زاویه انبساطی بستگی ندارد.

<sup>۱</sup>. Maximum Height Vortex



شکل (۵-۱۰) مقایسه نمودار دوشاخه‌ای برای ارتفاع در زوایای مختلف

همچنین برای بررسی جزئیات مشخصات عرضی گردابه‌ها به صورت دقیق در جریان سیال نیوتنی نیاز به بررسی داده‌های مربوط به آن در جداول (۵-۶) تا (۵-۱۷) می باشد، که نتایج حاصل از این بررسی به طور خلاصه در ادامه آورده شده است.

در زوایای ۳۰ و ۴۵ درجه، بیشینه ارتفاع برای گردابه اول در مجاورت دیوار پایین تا بعد از عدد رینولدز بحرانی اول و در مجاورت دیوار بالا در تمام محدوده اعداد رینولدز بدون طول می باشد، یعنی فقط یک نقطه است. اما برای زاویه ۶۰ درجه، بیشینه ارتفاع برای گردابه‌های اول در مجاور دیوار بالا و دیوار پایین دارای طول می باشد. همچنین بعد از عدد رینولدز بحرانی دوم که گردابه دوم در مجاور دیوار بالا تشکیل می شود؛ برای هر سه زاویه بیشینه ارتفاع دارای طول می باشد. به عبارت دیگر در اعداد رینولدز کوچک با افزایش مقدار زاویه انبساطی، بیشینه ارتفاع گردابه‌های اول در مجاور دیوار بالا و پایین از حالت یک نقطه تبدیل به یک خط می شود و با افزایش زاویه انبساطی برای گردابه دوم در مجاور دیوار بالا (بعد از عدد رینولدز بحرانی دوم)، طول بیشینه ارتفاع نیز افزایش می یابد.

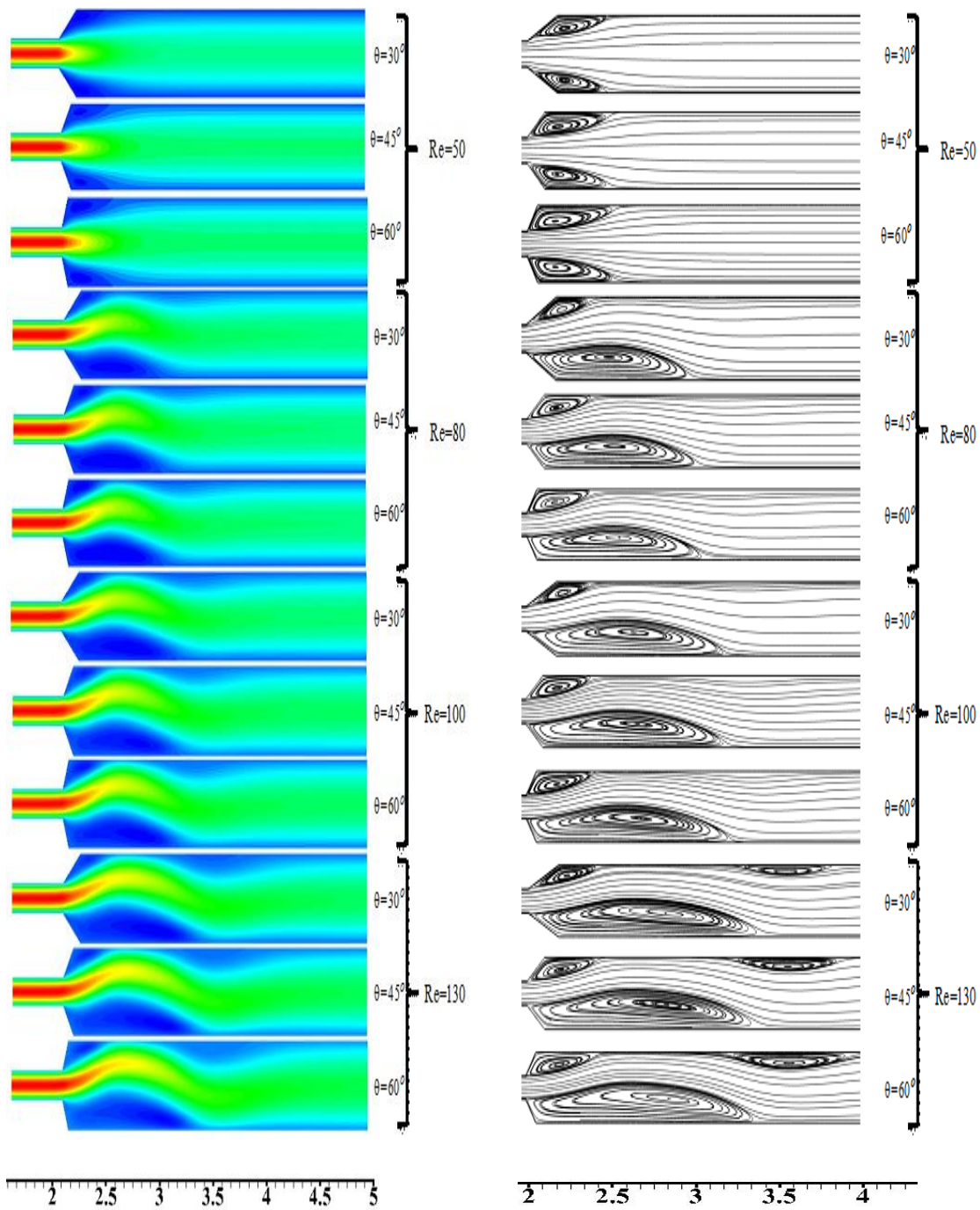
برای بررسی طول گردابه، نقطه شروع و خاتمه در هر گردابه، علاوه بر ذکر مشخصات طولی در جداول، نمودارهای خطوط جریان و کانتور سرعت نیز ترسیم شده است، که نتایج حاصل از این بررسی داده‌ها و نمودارها در ادامه آورده شده است.

۱- با افزایش عدد رینولدز، بعد از عدد رینولدز بحرانی اول به دلیل ناپایدار شدن رژیم جریان، یک تغییر ناگهانی در طول گردابه بزرگتر به وقوع می‌پیوندد و هرچه زاویه انبساطی بزرگتر باشد، این تغییر طول ناگهانی برای گردابه مجاور دیوار پایین (گردابه بزرگتر) بیشتر است. با افزایش زاویه انبساطی، نیروی فشاری افزایش یافته و فاصله ابتدای گردابه اول در مجاور دیوار بالا و پایین از ابتدای بخش انبساطی کاهش می‌یابد.

۲- با افزایش اندازه زاویه تا قبل از عدد رینولدز بحرانی دوم، فاصله انتهایی گردابه اول در مجاور دیوار پایین از ابتدای بخش انبساطی افزایش می‌یابد ولی در رینولدزهای بالاتر مقدار این فاصله کاهش می‌یابد. همانطور که از شکل ۲ نیز مشاهده می‌شود، فاصله انتهایی گردابه اول در مجاور دیوار بالا از ابتدای بخش انبساطی، با افزایش زاویه تا قبل از عدد رینولدز بحرانی اول بیشتر شده و در محدوده بین عدد رینولدز بحرانی اول تا عدد رینولدز بحرانی دوم کم می‌شود. همچنین این فاصله بعد از عدد رینولدز بحرانی دوم در تمام زوایا به صورت افزایشی می‌باشد. برای گردابه دوم در مجاورت دیوار بالا با زیاد شدن اندازه زاویه انبساطی، کاهش فاصله ابتدایی و افزایش فاصله انتهایی گردابه از ابتدای بخش انبساطی را شاهد هستیم، که منجر به افزایش طول گردابه‌ها می‌شود.

۳- در زاویه ۳۰ درجه با افزایش عدد رینولدز فاصله ابتدایی گردابه اول مجاور دیوار پایین و دیوار بالا از ابتدای بخش انبساطی کاهش می‌یابد و هرچه عدد رینولدز بیشتر باشد، نرخ این کاهش فاصله، کمتر می‌شود؛ ولی برای زوایای ۴۵ و ۶۰ درجه این فاصله برای گردابه اول در مجاور دیوار پایین و دیوار بالا در تمام محدوده اعداد رینولدز ثابت می‌ماند. همچنین تغییرات فاصله انتهایی گردابه اول در مجاور دیوار بالا با تغییرات فاصله انتهایی گردابه اول در مجاور دیوار پایین با افزایش عدد رینولدز

یکسان نمی باشد.

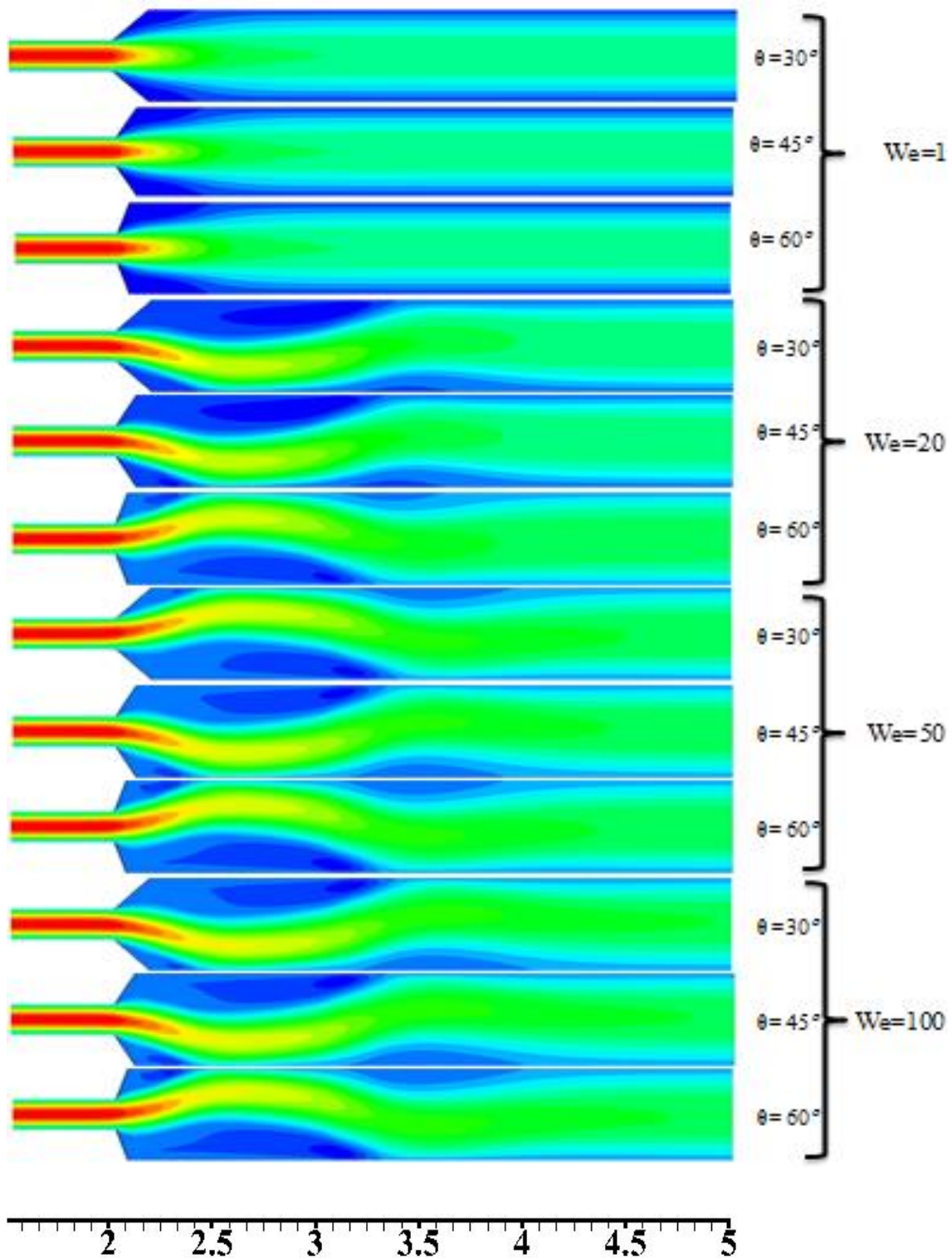


شکل (۵-۱۱) خطوط جریان و کانتور سرعت سیال نیوتنی برای اعداد رینولدز مختلف در زوایای مختلف

فاصله انتهایی گردابه اول در مجاور دیوار پایین برای هر سه زاویه با افزایش عدد رینولدز افزایش می یابد و بیشترین تغییرات آن در عدد رینولدز بحرانی ظاهر می شود. با زیاد شدن عدد رینولدز فاصله انتهایی گردابه اول در مجاور دیوار بالا تا قبل از مقدار بحرانی اول به صورت افزایشی و از مقدار بحرانی اول تا مقدار بحرانی دوم به صورت کاهشی و بعد از مقدار بحرانی دوم دوباره به صورت افزایشی ولی با نرخ تغییرات کمتر ظاهر می شود. این توصیفات در شکل (۵-۱۱) نیز قابل مشاهده می باشد.

۴- برای گردابه دوم در مجاور دیوار بالا که بعد از رینولدز بحرانی دوم ظاهر می شود، با افزایش عدد رینولدز تغییرات فاصله ابتدایی و انتهایی از ابتدای بخش انبساطی به ترتیب به صورت کاهشی و افزایشی می باشد و این زیاد شدن عدد رینولدز، منجر به افزایش طول گردابه می شود.

همچنین کانتور سرعت برای زوایای ۳۰، ۴۵ و ۶۰ درجه و عدد رینولدز ۶۰ برای اعداد وایزبرگ ۱، ۲۰، ۵۰ و ۱۰۰ در شکل (۵-۱۲) آورده شده است و همانطور که در این شکل مشاهده می شود، در اعداد وایزبرگ خیلی کوچک جریان متقارن می باشد و هر دو گردابه کاملاً مشابه می باشد. با افزایش عدد وایزبرگ (مانند افزایش عدد رینولدز) طول یکی از گردابه ها کاهش و طول گردابه دیگر افزایش می یابد و با افزایش بیشتر عدد وایزبرگ به دلیل افزایش خاصیت الاستیک علاوه بر اینکه گردابه سوم تشکیل می گردد، جای گردابه کوچکتر با گردابه بزرگتر نیز عوض می گردد. افزایش میزان زاویه بر افزایش طول و قدرت گردابه نیز تأثیر گذار می باشد.



شکل (۵-۱۲) کانتور سرعت سیال ویسکوالاستیک برای اعداد وایزنبرگ مختلف در زوایای ۳۰، ۴۵ و ۶۰ درجه و

در عدد رینولدز ۶۰

جدول (۶-۵) مشخصات طولی گردابه‌ها در مجاورت دیوار پایین کانال برای سیال نیوتنی در زاویه ۳۰ درجه

طول گردابه‌ها				فاصله ابتدا و انتهای هر گردابه از ورودی بخش انبساطی				$\theta = 30^\circ$
DX4	DX3	DX2	DX1	LX4	LX3	LX2	LX1	Re
-	-	-	۳۶۱۱/۰	-	-	۱/۸۳۳۳	۱/۴۷۲۲	۲۰
-	-	-	۳/۲۴۵	-	-	۳/۶۷۸	۰/۴۳۳	۴۰
-	-	-	۴/۲۸۵۴	-	-	۴/۶۳۱۸	۰/۳۴۶۴	۵۰
-	-	-	۵/۳۲۰۴	-	-	۵/۵۸۰۲	۰/۲۵۹۸	۶۰
-	-	-	۵/۵۱۶۶	-	-	۵/۷۷۶۴	۰/۲۵۹۸	۶۲
-	-	-	۵/۶۴۸۷	-	-	۵/۹۰۸۵	۰/۲۵۹۸	۶۳
-	-	-	۶/۲۵۵۷	-	-	۶/۵۱۵۵	۰/۲۵۹۸	۶۴
-	-	-	۶/۸۱۲۷	-	-	۷/۰۷۲۵	۰/۲۵۹۸	۶۵
-	-	-	۸/۰۲۲۳	-	-	۸/۲۳۸۸	۰/۲۱۶۵	۷۰
-	-	-	۹/۳۸۴۸	-	-	۹/۵۵۸	۰/۱۷۳۲	۸۰
-	-	-	۱۱/۳۵۳۸	-	-	۱۱/۴۸۳۷	۰/۱۲۹۹	۱۰۰
-	-	-	۱۲/۰۶۴	-	-	۱۲/۱۹۳۹	۰/۱۲۹۹	۱۱۰
-	-	-	۱۲/۱۵۴۴	-	-	۱۲/۲۸۴۳	۰/۱۲۹۹	۱۱۱
-	-	-	۱۲/۲۴۴۹	-	-	۱۲/۳۷۴۸	۰/۱۲۹۹	۱۱۲
-	-	-	۱۲/۷۰۳۴	-	-	۱۲/۸۳۳۳	۰/۱۲۹۹	۱۲۰
-	-	-	۱۳/۱۷۰۶	-	-	۱۳/۳۰۰۵	۰/۱۲۹۹	۱۳۰

جدول (۷-۵) مشخصات طولی گردابه‌ها در مجاورت دیوار بالای کانال برای سیال نیوتنی در زاویه ۳۰ درجه

طول گردابه‌ها				فاصله ابتدا و انتهای هر گردابه از ورودی بخش انبساطی				$\theta = 30^\circ$
DX4	DX3	DX2	DX1	LX4	LX3	LX2	LX1	Re
-	-	-	۰/۳۶۱۱	-	-	۱/۸۳۳۳	۱/۴۷۲۲	۲۰
-	-	-	۳/۲۴۵	-	-	۳/۶۷۸	۰/۴۳۳	۴۰
-	-	-	۴/۲۸۵۴	-	-	۴/۶۳۱۸	۰/۳۴۶۴	۵۰
-	-	-	۵/۳۲۰۴	-	-	۵/۵۸۰۲	۰/۲۵۹۸	۶۰
-	-	-	۵/۵۱۶۶	-	-	۵/۷۷۶۴	۰/۲۵۹۸	۶۲
-	-	-	۵/۶۴۸۷	-	-	۵/۹۰۸۵	۰/۲۵۹۸	۶۳
-	-	-	۵/۱۲۶۴	-	-	۵/۳۸۶۲	۰/۲۵۹۸	۶۴
-	-	-	۴/۶۱۹۷	-	-	۴/۸۷۹۵	۰/۲۵۹۸	۶۵
-	-	-	۳/۸۸۷۹	-	-	۴/۱۴۷۷	۰/۲۵۹۸	۷۰
-	-	-	۳/۵۹۲۶	-	-	۳/۸۵۲۴	۰/۲۵۹۸	۸۰
-	-	-	۳/۶۳۵۹	-	-	۳/۸۵۲۴	۰/۲۱۶۵	۱۰۰
-	-	-	۳/۶۹۴۵	-	-	۳/۹۱۱	۰/۲۱۶۵	۱۱۰
-	-	-	۳/۶۹۴۵	-	-	۳/۹۱۱	۰/۲۱۶۵	۱۱۱
-	۱۳/۲۷۳۳	۱۲/۳۴۰۷	۳/۶۹۴۵	۱۳/۴۸۹۸	۱۲/۵۵۷۲	۳/۹۱۱	۰/۲۱۶۵	۱۱۲
-	۱۵/۳۹۴۱	۱۱/۶۶۳	۳/۷۹۶۶	۱۵/۵۶۷۳	۱۱/۸۳۶۲	۳/۹۶۹۸	۰/۱۷۳۲	۱۲۰
-	۱۷/۱۷۱۴	۱۱/۵۷۴۴	۳/۸۵۵۷	۱۷/۳۴۴۶	۱۱/۷۴۷۶	۴/۰۲۸۹	۰/۱۷۳۲	۱۳۰



جدول (۵-۸) مشخصات عرضی گردابه‌ها در مجاورت دیوار پایین کانال برای سیال نیوتنی در زاویه ۳۰ درجه

طول ماکزیمم ارتفاع گردابه‌ها		فاصله ماکزیمم ارتفاع گردابه از ورودی بخش انبساطی				ماکزیمم ارتفاع گردابه‌ها		$\theta = 30^\circ$	Re
LMHX <sub>2</sub>	LMHX <sub>1</sub>	DMHX <sub>4</sub>	DMHX <sub>3</sub>	DMHX <sub>2</sub>	DMHX <sub>1</sub>	MHX <sub>2</sub>	MHX <sub>1</sub>		
-	۰	-	-	۱/۷۱۷۶	۱/۷۱۷۶	-	۰/۰۷۰۶	۲۰	
-	۰	-	-	۱/۷۱۷۶	۱/۷۱۷۶	-	۰/۴۴۳۵	۴۰	
-	۰	-	-	۱/۷۱۷۶	۱/۷۱۷۶	-	۰/۵۱۸۱	۵۰	
-	۰	-	-	۱/۷۱۷۶	۱/۷۱۷۶	-	۰/۵۹۲۷	۶۰	
-	۰	-	-	۱/۷۱۷۶	۱/۷۱۷۶	-	۰/۵۹۲۷	۶۲	
-	۰	-	-	۱/۷۱۷۶	۱/۷۱۷۶	-	۰/۵۹۲۷	۶۳	
-	۰	-	-	۱/۷۱۷۶	۱/۷۱۷۶	-	۰/۵۹۲۷	۶۴	
-	۰	-	-	۱/۷۱۷۶	۱/۷۱۷۶	-	۰/۶۶۷۳	۶۵	
-	۰	-	-	۱/۷۱۷۶	۱/۷۱۷۶	-	۰/۶۶۷۳	۷۰	
-	۲/۹۰۱۵	-	-	۵/۷۵۴۵	۲/۸۵۳	-	۰/۸۳۷۵	۸۰	
-	۲/۷۱۶۷	-	-	۶/۳۵۶۱	۳/۶۳۹۴	-	۰/۹۸۷۵	۱۰۰	
-	۱/۸۶۶	-	-	۶/۱۵۳۳	۴/۲۸۷۳	-	۱/۰۶۲۵	۱۱۰	
-	۲/۰۶۰۹	-	-	۶/۲۸۸۲	۴/۲۲۷۳	-	۱/۰۶۲۵	۱۱۱	
-	۲/۱۸۸۶	-	-	۶/۳۵۶۱	۴/۱۶۷۵	-	۱/۰۶۲۵	۱۱۲	
-	۳/۱۷۷۱	-	-	۷/۰۴۹	۳/۸۷۱۹	-	۱/۰۶۲۵	۱۲۰	
-	۱/۹۰۱۷	-	-	۶/۴۹۲۶	۴/۵۹۰۹	-	۱/۱۳۷۵	۱۳۰	

جدول (۵-۹) مشخصات عرضی گردابه‌ها در مجاورت دیوار بالای کانال برای سیال نیوتنی در زاویه ۳۰ درجه

طول ماکزیمم ارتفاع گردابه‌ها		فاصله ماکزیمم ارتفاع گردابه از ورودی بخش انبساطی				ماکزیمم ارتفاع گردابه‌ها		$\theta = 30^\circ$	Re
LMHX <sub>2</sub>	LMHX <sub>1</sub>	DMHX <sub>4</sub>	DMHX <sub>3</sub>	DMHX <sub>2</sub>	DMHX <sub>1</sub>	MHX <sub>2</sub>	MHX <sub>1</sub>		
-	۰	-	-	۱/۷۱۷۶	۱/۷۱۷۶	-	۰/۰۷۰۶	۲۰	
-	۰	-	-	۱/۷۱۷۶	۱/۷۱۷۶	-	۰/۴۴۳۵	۴۰	
-	۰	-	-	۱/۷۱۷۶	۱/۷۱۷۶	-	۰/۵۱۸۱	۵۰	
-	۰	-	-	۱/۷۱۷۶	۱/۷۱۷۶	-	۰/۵۹۲۷	۶۰	
-	۰	-	-	۱/۷۱۷۶	۱/۷۱۷۶	-	۰/۵۹۲۷	۶۲	
-	۰	-	-	۱/۷۱۷۶	۱/۷۱۷۶	-	۰/۵۹۲۷	۶۳	
-	۰	-	-	۱/۷۱۷۶	۱/۷۱۷۶	-	۰/۵۹۲۷	۶۴	
-	۰	-	-	۱/۷۱۷۶	۱/۷۱۷۶	-	۰/۵۱۸۱	۶۵	
-	۰	-	-	۱/۷۱۷۶	۱/۷۱۷۶	-	۰/۵۱۸۱	۷۰	
-	۰	-	-	۱/۷۱۷۶	۱/۷۱۷۶	-	۰/۵۱۸۱	۸۰	
-	۰	-	-	۱/۷۱۷۶	۱/۷۱۷۶	-	۰/۵۱۸۱	۱۰۰	
-	۰	-	-	۱/۷۱۷۶	۱/۷۱۷۶	-	۰/۵۱۸۱	۱۱۰	
-	۰	-	-	۱/۷۱۷۶	۱/۷۱۷۶	-	۰/۵۱۸۱	۱۱۱	
۰/۸۷۰۴	۰	۱۳/۴۵۸۱	۱۲/۵۸۷۷	۱/۷۱۷۶	۱/۷۱۷۶	۰/۰۷۵	۰/۵۱۸۱	۱۱۲	
۱/۸۵۸۹	۰	۱۴/۷۲۳	۱۲/۸۶۴۱	۱/۷۱۷۶	۱/۷۱۷۶	۰/۱۶۲۵	۰/۵۱۸۱	۱۲۰	
۱/۴۲۸۶	۰	۱۵/۴۳۰۴	۱۴/۰۰۱۸	۱/۷۱۷۶	۱/۷۱۷۶	۰/۳۱۲۵	۰/۵۱۸۱	۱۳۰	

جدول (۵-۱۰) مشخصات طولی گردابه‌ها در مجاورت دیوار پایین کانال برای سیال نیوتنی در زاویه ۴۵ درجه

طول گردابه‌ها				فاصله ابتدا و انتهای هر گردابه از ورودی بخش انبساطی				$\theta = 45^\circ$
DX <sub>4</sub>	DX <sub>3</sub>	DX <sub>2</sub>	DX <sub>1</sub>	LX <sub>4</sub>	LX <sub>3</sub>	LX <sub>2</sub>	LX <sub>1</sub>	Re
-	-	-	۱/۷۲۵۵	-	-	۱/۹۳۹۸	۰/۲۱۴۳	۲۰
-	-	-	۳/۸۶۴۱	-	-	۳/۸۹۹۸	۰/۰۳۵۷	۴۰
-	-	-	۴/۸۷۷۷	-	-	۴/۹۱۳۴	۰/۰۳۵۷	۵۰
-	-	-	۵/۶۷۹۳	-	-	۵/۷۱۵	۰/۰۳۵۷	۵۸
-	-	-	۵/۷۴۷۸	-	-	۵/۷۸۳۵	۰/۰۳۵۷	۵۹
-	-	-	۶/۶۶۱۷	-	-	۶/۶۹۷۴	۰/۰۳۵۷	۶۰
-	-	-	۶/۶۶۱۷	-	-	۶/۶۹۷۴	۰/۰۳۵۷	۶۱
-	-	-	۸/۷۱۰۳	-	-	۸/۷۴۶	۰/۰۳۵۷	۷۰
-	-	-	۹/۸۵۸	-	-	۹/۸۹۳۷	۰/۰۳۵۷	۸۰
-	-	-	۱۱/۶۰۷۱	-	-	۱۱/۶۴۲۸	۰/۰۳۵۷	۱۰۰
-	-	-	۱۱/۶۹۸۱	-	-	۱۱/۷۳۳۸	۰/۰۳۵۷	۱۰۲
-	-	-	۱۱/۸۸۱۱	-	-	۱۱/۹۱۶۸	۰/۰۳۵۷	۱۰۴
-	-	-	۱۱/۸۸۱۱	-	-	۱۱/۹۱۶۸	۰/۰۳۵۷	۱۰۵
-	-	-	۱۲/۲۵۱۴	-	-	۱۲/۲۸۷۱	۰/۰۳۵۷	۱۱۰
-	-	-	۱۲/۷۲۲۱	-	-	۱۲/۷۵۷۸	۰/۰۳۵۷	۱۲۰
-	-	-	۱۳/۲۰۱۹	-	-	۱۳/۲۳۷۶	۰/۰۳۵۷	۱۳۰

جدول (۵-۱۱) مشخصات طولی گردابه‌ها در مجاورت دیوار بالای کانال برای سیال نیوتنی در زاویه ۴۵ درجه

طول گردابه‌ها				فاصله ابتدا و انتهای هر گردابه از ورودی بخش انبساطی				$\theta = 45^\circ$
DX <sub>4</sub>	DX <sub>3</sub>	DX <sub>2</sub>	DX <sub>1</sub>	LX <sub>4</sub>	LX <sub>3</sub>	LX <sub>2</sub>	LX <sub>1</sub>	Re
-	-	-	۱/۷۲۵۵	-	-	۱/۹۳۹۸	۰/۲۱۴۳	۲۰
-	-	-	۳/۸۶۴۱	-	-	۳/۸۹۹۸	۰/۰۳۵۷	۴۰
-	-	-	۴/۸۷۷۷	-	-	۴/۹۱۳۴	۰/۰۳۵۷	۵۰
-	-	-	۵/۶۷۹۳	-	-	۵/۷۱۵	۰/۰۳۵۷	۵۸
-	-	-	۵/۷۴۷۸	-	-	۵/۷۸۳۵	۰/۰۳۵۷	۵۹
-	-	-	۴/۸۷۷۷	-	-	۴/۹۱۳۴	۰/۰۳۵۷	۶۰
-	-	-	۵/۰۷۴۷	-	-	۵/۱۱۰۴	۰/۰۳۵۷	۶۱
-	-	-	۳/۸۶۴۱	-	-	۳/۸۹۹۸	۰/۰۳۵۷	۷۰
-	-	-	۳/۷۴۱۷	-	-	۳/۷۷۷۴	۰/۰۳۵۷	۸۰
-	-	-	۳/۸۰۲۸	-	-	۳/۸۳۸۵	۰/۰۳۵۷	۱۰۰
-	-	-	۳/۸۰۲۸	-	-	۳/۸۳۸۵	۰/۰۳۵۷	۱۰۲
-	-	-	۳/۸۶۴۱	-	-	۳/۸۹۹۸	۰/۰۳۵۷	۱۰۴
-	۱۳/۱۰۵۱	۱۱/۹۷۳۲	۳/۸۶۴۱	۱۳/۱۴۰۸	۱۲/۰۰۸۹	۳/۸۹۹۸	۰/۰۳۵۷	۱۰۵
-	۱۴/۵۹۴۶	۱۱/۵۱۶۶	۳/۸۶۴۱	۱۴/۶۳۰۳	۱۱/۵۵۲۳	۳/۸۹۹۸	۰/۰۳۵۷	۱۱۰
-	۱۶/۴۹۷۳	۱۱/۲۴۶۷	۳/۹۸۷۵	۱۶/۵۳۳	۱۱/۲۸۲۴	۴/۰۲۳۲	۰/۰۳۵۷	۱۲۰
-	۱۸/۰۶۹۸	۱۱/۳۳۶۳	۴/۰۴۹۵	۱۸/۱۰۵۵	۱۱/۳۷۲	۴/۰۸۵۲	۰/۰۳۵۷	۱۳۰

جدول (۵-۱۲) مشخصات عرضی گردابه‌ها در مجاورت دیوار پایین کانال برای سیال نیوتنی در زاویه ۴۵ درجه

طول ماکزیمم ارتفاع گردابه‌ها		فاصله ماکزیمم ارتفاع گردابه از ورودی بخش انبساطی				ماکزیمم ارتفاع گردابه‌ها		$\theta = 45^\circ$	Re
LMHX <sub>2</sub>	LMHX <sub>1</sub>	DMHX <sub>4</sub>	DMHX <sub>3</sub>	DMHX <sub>2</sub>	DMHX <sub>1</sub>	MHX <sub>2</sub>	MHX <sub>1</sub>		
-	۰	-	-	۰/۹۸۸۱	۰/۹۸۸۱	-	۰/۴۴۶۱	۲۰	
-	۰	-	-	۰/۹۸۸۱	۰/۹۸۸۱	-	۰/۵۹۴۹	۴۰	
-	۰	-	-	۰/۹۸۸۱	۰/۹۸۸۱	-	۰/۶۶۹۳	۵۰	
-	۰	-	-	۰/۹۸۸۱	۰/۹۸۸۱	-	۰/۶۶۹۳	۵۸	
-	۰	-	-	۰/۹۸۸۱	۰/۹۸۸۱	-	۰/۶۶۹۳	۵۹	
-	۰	-	-	۰/۹۸۸۱	۰/۹۸۸۱	-	۰/۶۶۹۳	۶۰	
-	۰	-	-	۰/۹۸۸۱	۰/۹۸۸۱	-	۰/۶۶۹۳	۶۱	
-	۱/۳۲۱۲	-	-	۴/۶۹۷۱	۳/۳۷۵۹	-	۰/۸۳۷۵	۷۰	
-	۲/۵۰۳۱	-	-	۵/۷۶۰۶	۳/۲۵۷۵	-	۰/۹۱۲۵	۸۰	
-	۱/۷۹۸۹	-	-	۵/۹۶۷۲	۴/۱۶۸۳	-	۱/۰۶۲۵	۱۰۰	
-	۲/۱۳۲۵	-	-	۶/۱۷۶۳	۴/۰۴۳۸	-	۱/۰۶۲۵	۱۰۲	
-	۲/۴۰۵۸	-	-	۶/۳۸۷۷	۳/۹۸۱۹	-	۱/۰۶۲۵	۱۰۴	
-	۲/۵۳۸۴	-	-	۶/۴۵۸۷	۳/۹۲۰۳	-	۱/۰۶۲۵	۱۰۵	
-	۳/۰۲۰۲	-	-	۶/۸۱۷۹	۳/۷۹۷۷	-	۱/۰۶۲۵	۱۱۰	
-	۲/۰۳۸۷	-	-	۶/۴۵۸۷	۴/۴۲	-	۱/۱۳۷۵	۱۲۰	
-	۲/۹۴۱۸	-	-	۷/۱۱۰۱	۴/۱۶۸۳	-	۱/۱۳۷۵	۱۳۰	

جدول (۵-۱۳) مشخصات عرضی گردابه‌ها در مجاورت دیوار بالای کانال برای سیال نیوتنی در زاویه ۴۵ درجه

طول ماکزیمم ارتفاع گردابه‌ها		فاصله ماکزیمم ارتفاع گردابه از ورودی بخش انبساطی				ماکزیمم ارتفاع گردابه‌ها		$\theta = 45^\circ$	Re
LMHX <sub>2</sub>	LMHX <sub>1</sub>	DMHX <sub>4</sub>	DMHX <sub>3</sub>	DMHX <sub>2</sub>	DMHX <sub>1</sub>	MHX <sub>2</sub>	MHX <sub>1</sub>		
-	۰	-	-	۰/۹۸۸۱	۰/۹۸۸۱	-	۰/۴۴۶۱	۲۰	
-	۰	-	-	۰/۹۸۸۱	۰/۹۸۸۱	-	۰/۵۹۴۹	۴۰	
-	۰	-	-	۰/۹۸۸۱	۰/۹۸۸۱	-	۰/۶۶۹۳	۵۰	
-	۰	-	-	۰/۹۸۸۱	۰/۹۸۸۱	-	۰/۶۶۹۳	۵۸	
-	۰	-	-	۰/۹۸۸۱	۰/۹۸۸۱	-	۰/۶۶۹۳	۵۹	
-	۰	-	-	۰/۹۸۸۱	۰/۹۸۸۱	-	۰/۶۶۹۳	۶۰	
-	۰	-	-	۰/۹۸۸۱	۰/۹۸۸۱	-	۰/۶۶۹۳	۶۱	
-	۰	-	-	۰/۹۸۸۱	۰/۹۸۸۱	-	۰/۶۶۹۳	۷۰	
-	۰	-	-	۰/۹۸۸۱	۰/۹۸۸۱	-	۰/۶۶۹۳	۸۰	
-	۰	-	-	۰/۹۸۸۱	۰/۹۸۸۱	-	۰/۶۶۹۳	۱۰۰	
-	۰	-	-	۰/۹۸۸۱	۰/۹۸۸۱	-	۰/۶۶۹۳	۱۰۲	
-	۰	-	-	۰/۹۸۸۱	۰/۹۸۸۱	-	۰/۶۶۹۳	۱۰۴	
۱/۰۶۹۱	۰	۱۳/۱۰۸۷	۱۲/۰۳۹۶	۰/۹۸۸۱	۰/۹۸۸۱	۰/۰۷۵	۰/۶۶۹۳	۱۰۵	
۰/۵۱۴۷	۰	۱۳/۳۹۹۵	۱۲/۸۸۴۸	۰/۹۸۸۱	۰/۹۸۸۱	۰/۱۶۲۵	۰/۶۶۹۳	۱۱۰	
۲/۷۳۰۳	۰	۱۵/۴۲۴۸	۱۲/۶۹۴۵	۰/۹۸۸۱	۰/۹۸۸۱	۰/۲۳۷۵	۰/۶۶۹۳	۱۲۰	
۲/۴۰۲۳	۰	۱۶/۰۶۳	۱۳/۶۶۰۷	۰/۹۸۸۱	۰/۹۸۸۱	۰/۳۸۷۵	۰/۶۶۹۳	۱۳۰	

جدول (۵-۱۴) مشخصات طولی گردابه‌ها در مجاورت دیوار پایین کانال برای سیال نیوتنی در زاویه ۶۰ درجه

طول گردابه‌ها				فاصله ابتدا و انتهای هر گردابه از ورودی بخش انبساطی				$\theta = 60^\circ$
DX <sub>4</sub>	DX <sub>3</sub>	DX <sub>2</sub>	DX <sub>1</sub>	LX <sub>4</sub>	LX <sub>3</sub>	LX <sub>2</sub>	LX <sub>1</sub>	Re
-	-	-	۲/۰۹۸۴	-	-	۲/۱۲۳۵	۰/۰۲۵۱	۲۰
-	-	-	۴/۰۷۸	-	-	۴/۱۰۳۱	۰/۰۲۵۱	۴۰
-	-	-	۵/۰۶۳	-	-	۵/۰۸۸۱	۰/۰۲۵۱	۵۰
-	-	-	۵/۶۸۱۵	-	-	۵/۷۰۶۶	۰/۰۲۵۱	۵۶
-	-	-	۵/۸۲۱۸	-	-	۵/۸۴۶۹	۰/۰۲۵۱	۵۷
-	-	-	۷/۰۵۸۷	-	-	۷/۰۸۳۸	۰/۰۲۵۱	۵۸
-	-	-	۷/۵۱۴۶	-	-	۷/۵۳۹۷	۰/۰۲۵۱	۶۰
-	-	-	۹/۰۲۸۷	-	-	۹/۰۵۳۸	۰/۰۲۵۱	۷۰
-	-	-	۱۰/۰۴۲۸	-	-	۱۰/۰۶۷۹	۰/۰۲۵۱	۸۰
-	-	-	۱۱/۳۷۷۱	-	-	۱۱/۴۰۲۲	۰/۰۲۵۱	۹۶
-	-	-	۱۱/۴۶۸۷	-	-	۱۱/۴۹۳۸	۰/۰۲۵۱	۹۸
-	-	-	۱۱/۵۶۰۸	-	-	۱۱/۵۸۵۹	۰/۰۲۵۱	۹۹
-	-	-	۱۱/۶۵۳۲	-	-	۱۱/۶۷۸۳	۰/۰۲۵۱	۱۰۰
-	-	-	۱۲/۲۱۴۸	-	-	۱۲/۲۳۹۹	۰/۰۲۵۱	۱۱۰
-	-	-	۱۲/۶۹۲۷	-	-	۱۲/۷۱۷۸	۰/۰۲۵۱	۱۲۰
-	-	-	۱۳/۰۸۱۶	-	-	۱۳/۱۰۶۷	۰/۰۲۵۱	۱۳۰

جدول (۵-۱۵) مشخصات طولی گردابه‌ها در مجاورت دیوار بالای کانال برای سیال نیوتنی در زاویه ۶۰ درجه

طول گردابه‌ها				فاصله ابتدا و انتهای هر گردابه از ورودی بخش انبساطی				$\theta = 60^\circ$
DX <sub>4</sub>	DX <sub>3</sub>	DX <sub>2</sub>	DX <sub>1</sub>	LX <sub>4</sub>	LX <sub>3</sub>	LX <sub>2</sub>	LX <sub>1</sub>	Re
-	-	-	۲/۰۹۸۴	-	-	۲/۱۲۳۵	۰/۰۲۵۱	۲۰
-	-	-	۴/۰۷۸	-	-	۴/۱۰۳۱	۰/۰۲۵۱	۴۰
-	-	-	۵/۰۶۳	-	-	۵/۰۸۸۱	۰/۰۲۵۱	۵۰
-	-	-	۵/۶۸۱۵	-	-	۵/۷۰۶۶	۰/۰۲۵۱	۵۶
-	-	-	۵/۸۲۱۸	-	-	۵/۸۴۶۹	۰/۰۲۵۱	۵۷
-	-	-	۴/۳۳۵۲	-	-	۴/۳۶۰۳	۰/۰۲۵۱	۵۸
-	-	-	۴/۰۷۸	-	-	۴/۱۰۳۱	۰/۰۲۵۱	۶۰
-	-	-	۳/۶۹۹۴	-	-	۳/۷۲۴۵	۰/۰۲۵۱	۷۰
-	-	-	۳/۶۹۹۴	-	-	۳/۷۲۴۵	۰/۰۲۵۱	۸۰
-	-	-	۳/۷۶۱۹	-	-	۳/۷۸۷	۰/۰۲۵۱	۹۶
-	-	-	۳/۷۶۱۹	-	-	۳/۷۸۷	۰/۰۲۵۱	۹۸
-	۱۲/۶۹۲۷	۱۱/۷۴۵۹	۳/۸۲۴۶	۱۲/۷۱۷۸	۱۱/۷۷۱	۳/۸۴۹۷	۰/۰۲۵۱	۹۹
-	۱۳/۱۷۹۹	۱۱/۴۶۸۷	۳/۸۲۴۶	۱۳/۲۰۵	۱۱/۴۹۳۸	۳/۸۴۹۷	۰/۰۲۵۱	۱۰۰
-	۱۵/۴۳۶۲	۱۱/۰۱۳۹	۳/۸۸۷۶	۱۵/۴۶۱۳	۱۱/۰۳۹	۳/۹۱۲۷	۰/۰۲۵۱	۱۱۰
-	۱۷/۰۸۶۲	۱۱/۰۱۳۹	۳/۹۵۰۸	۱۷/۱۱۱۳	۱۱/۰۳۹	۳/۹۷۵۹	۰/۰۲۵۱	۱۲۰
-	۱۸/۷۱۳۲	۱۱/۱۰۴۲	۴/۰۱۴۳	۱۸/۷۳۸۳	۱۱/۱۲۹۳	۴/۰۳۹۴	۰/۰۲۵۱	۱۳۰

جدول (۵-۱۶) مشخصات عرضی گردابه‌ها در مجاورت دیوار پایین کانال برای سیال نیوتنی در زاویه ۶۰ درجه

طول ماکزیمم ارتفاع گردابه‌ها		فاصله ماکزیمم ارتفاع گردابه از ورودی بخش انبساطی				ماکزیمم ارتفاع گردابه‌ها		$\theta = 60^\circ$	Re
LMHX <sub>2</sub>	LMHX <sub>1</sub>	DMHX <sub>4</sub>	DMHX <sub>3</sub>	DMHX <sub>2</sub>	DMHX <sub>1</sub>	MHX <sub>2</sub>	MHX <sub>1</sub>		
-	۰/۱۶۹۵	-	-	۰/۷۶۳۳	۰/۵۹۳۸	-	۰/۵۸۷۵	۲۰	
-	۰/۰۱۶۹	-	-	۰/۶۱۰۷	۰/۵۹۳۸	-	۰/۷۳۷۵	۴۰	
-	۰/۱۱۸۴	-	-	۰/۷۱۲۲	۰/۵۹۳۸	-	۰/۷۳۷۵	۵۰	
-	۰/۱۶۹۵	-	-	۰/۷۶۳۳	۰/۵۹۳۸	-	۰/۷۳۷۵	۵۶	
-	۰/۱۶۹۵	-	-	۰/۷۶۳۳	۰/۵۹۳۸	-	۰/۷۳۷۵	۵۷	
-	۰/۳۲۳۸	-	-	۰/۹۱۷۶	۰/۵۹۳۸	-	۰/۷۳۷۵	۵۸	
-	۰/۴۷۹۹	-	-	۱/۰۷۳۷	۰/۵۹۳۸	-	۰/۷۳۷۵	۶۰	
-	۰/۷۲۸۸	-	-	۴/۵۹۹۵	۳/۸۷۰۷	-	۰/۸۸۷۵	۷۰	
-	۱/۵۹۸۴	-	-	۵/۴۰۶۲	۳/۸۰۷۸	-	۰/۹۶۲۵	۸۰	
-	۲/۳۰۷۹	-	-	۶/۱۷۸۶	۳/۸۷۰۷	-	۱/۰۳۷۵	۹۶	
-	۲/۵۱۴۷	-	-	۶/۳۲۲۵	۳/۸۰۷۸	-	۱/۰۳۷۵	۹۸	
-	۲/۶۴۹۶	-	-	۶/۳۹۴۹	۳/۷۴۵۳	-	۱/۰۳۷۵	۹۹	
-	۲/۸۵۷۶	-	-	۶/۵۴۰۵	۳/۶۸۲۹	-	۱/۰۳۷۵	۱۰۰	
-	۱/۹۳۳۳	-	-	۶/۲۵۰۴	۴/۳۱۷۱	-	۱/۱۱۲۵	۱۱۰	
-	۲/۸۴۸۷	-	-	۶/۹۰۹۳	۴/۰۶۰۶	-	۱/۱۱۲۵	۱۲۰	
-	۱/۴۷۴۸	-	-	۶/۲۵۰۴	۴/۷۷۵۶	-	۱/۱۸۷۵	۱۳۰	

جدول (۵-۱۷) مشخصات عرضی گردابه‌ها در مجاورت دیوار بالای کانال برای سیال نیوتنی در زاویه ۶۰ درجه

طول ماکزیمم ارتفاع گردابه‌ها		فاصله ماکزیمم ارتفاع گردابه از ورودی بخش انبساطی				ماکزیمم ارتفاع گردابه‌ها		$\theta = 60^\circ$	Re
LMHX <sub>2</sub>	LMHX <sub>1</sub>	DMHX <sub>4</sub>	DMHX <sub>3</sub>	DMHX <sub>2</sub>	DMHX <sub>1</sub>	MHX <sub>2</sub>	MHX <sub>1</sub>		
-	۰/۱۶۹۵	-	-	۰/۷۶۳۳	۰/۵۹۳۸	-	۰/۵۸۷۵	۲۰	
-	۰/۰۱۶۹	-	-	۰/۶۱۰۷	۰/۵۹۳۸	-	۰/۷۳۷۵	۴۰	
-	۰/۱۱۸۴	-	-	۰/۷۱۲۲	۰/۵۹۳۸	-	۰/۷۳۷۵	۵۰	
-	۰/۱۶۹۵	-	-	۰/۷۶۳۳	۰/۵۹۳۸	-	۰/۷۳۷۵	۵۶	
-	۰/۱۶۹۵	-	-	۰/۷۶۳۳	۰/۵۹۳۸	-	۰/۷۳۷۵	۵۷	
-	۰/۰۶۷۶	-	-	۰/۶۶۱۴	۰/۵۹۳۸	-	۰/۷۳۷۵	۵۸	
-	۰/۰۶۷۶	-	-	۰/۶۶۱۴	۰/۵۹۳۸	-	۰/۷۳۷۵	۶۰	
-	۰/۰۶۷۶	-	-	۰/۶۶۱۴	۰/۵۹۳۸	-	۰/۷۳۷۵	۷۰	
-	۰/۰۶۷۶	-	-	۰/۶۶۱۴	۰/۵۹۳۸	-	۰/۷۳۷۵	۸۰	
-	۰/۱۱۸۴	-	-	۰/۷۱۲۲	۰/۵۹۳۸	-	۰/۷۳۷۵	۹۶	
-	۰/۱۱۸۴	-	-	۰/۷۱۲۲	۰/۵۹۳۸	-	۰/۷۳۷۵	۹۸	
۰/۸۸۳۷	۰/۱۱۸۴	۱۲/۶۸۵۷	۱۱/۸۰۲	۰/۷۱۲۲	۰/۵۹۳۸	۰/۰۶۲۵	۰/۷۳۷۵	۹۹	
۱/۶۴۷۷	۰/۱۱۸۴	۱۳/۱۷۲۲	۱۱/۵۲۴۵	۰/۷۱۲۲	۰/۵۹۳۸	۰/۰۶۲۵	۰/۷۳۷۵	۱۰۰	
۱/۶۱۵۷	۰/۱۶۹۵	۱۴/۱۷۳۲	۱۲/۵۵۷۵	۰/۷۶۳۳	۰/۵۹۳۸	۰/۲۱۲۵	۰/۷۳۷۵	۱۱۰	
۱/۱۵۷۷	۰/۱۶۹۵	۱۴/۷۹۲۳	۱۳/۶۳۴۶	۰/۷۶۳۳	۰/۵۹۳۸	۰/۳۶۲۵	۰/۷۳۷۵	۱۲۰	
۲/۵۴۸۴	۰/۲۲۰۷	۱۶/۱۸۳	۱۳/۶۳۴۶	۰/۸۱۴۵	۰/۵۹۳۸	۰/۴۳۷۵	۰/۷۳۷۵	۱۳۰	

## ۵-۵- جمع بندی

در این تحقیق اثر زاویه انبساط و عدد رینولدز بر ناپایداری جریان سیال نیوتنی در تبدیل گردابه‌ها از حالت متقارن به حالت دو گردابه نامتقارن و سپس سه گردابه، مطالعه شده و نتایج آن در زیر ارائه شده است.

۱- در اعداد رینولدز پایین، میدان جریان پایدار بوده و گردابه‌ها بصورت متقارن با جهت چرخش متضاد پدید می‌آیند. با افزایش عدد رینولدز و وقوع ناپایداری در میدان جریان، گردابه‌ها بصورت یک جفت گردابه نامتقارن ظاهر می‌شوند. با افزایش هرچه بیشتر عدد رینولدز و تشدید ناپایداری گردابه‌ها، سومی نیز بوجود می‌آید.

۲- در اعداد رینولدز بزرگ، گردابه‌ها تأثیر قابل ملاحظه‌ای بر افزایش میزان اولین افت ناگهانی سرعت و اوج دوباره آن دارند. به طوری که گردابه کوچکتر در افت سرعت و گردابه بزرگتر در افزایش مجدد سرعت نقش بیشتری را ایفا می‌کند.

۳- در عدد رینولدز بحرانی اول برای هر زاویه انبساطی، رابطه زیر (طول گردابه برابر ارتفاع جریان بالادست) برقرار می‌باشد.

$$Xr = \delta / \delta . h \quad (2-5)$$

۴- برای هر زاویه انبساطی، مقدار عدد رینولدز بحرانی دوم را می‌توان از معادله زیر  $\delta / \delta$  بدست آورد.

$$Re_{Cr2} = 123 / 1233 + (-0.4333 \cdot \theta^0) \quad (3-5)$$

۵- با افزایش زاویه انبساطی، مقادیر اعداد رینولدز بحرانی اول ( $Re_{Cr1}$ ) برای انشعاب دوشاخه‌ای (تبدیل جریان متقارن به نامتقارن) و مقادیر اعداد رینولدز بحرانی دوم ( $Re_{Cr2}$ ) برای انشعاب سه - شاخه‌ای کاهش می‌یابد.

همچنین مقدار طول گردابه به همراه بیشترین ارتفاع آن و طول بیشترین ارتفاع در سه زاویه ۳۰، ۴۵ و ۶۰ بررسی شده است و تمام نتایج محاسباتی به صورت منظم در جداول ارائه شده است، که داده-

های موجود در جداول و نمودارهای منتج از آن مبین نتایج زیر می باشد:

۱- با افزایش اندازه زاویه انبساطی، نرخ افزایش بیشینه ارتفاع کاهش می یابد. به طوری که اختلاف ارتفاع ماکزیمم در هر دو گردابه مجاور دیوار بالا و پایین کم می شود.

۲- با بیشتر شدن عدد رینولدز از مقدار ۱۴۰، دیگر اندازه MHV برای گردابه بزرگتر به مقدار زاویه انبساطی بستگی ندارد.

۳- اندازه MHV برای هر دو گردابه مجاور دیوار بالا و پایین کانال تا قبل از عدد رینولدز بحرانی اول، یکسان می باشد و بعد از آن اندازه MHV برای گردابه کوچکتر ثابت می ماند.

۴- در اعداد رینولدز کوچک با افزایش مقدار زاویه انبساطی، بیشینه ارتفاع گردابه‌های اول در مجاور دیوار بالا و پایین از حالت یک نقطه تبدیل به یک خط می شود و در اعداد رینولدز بزرگ (بیشتر از عدد رینولدز بحرانی دوم)، بیشتر شدن زاویه انبساطی سبب افزایش طول این خط می شود.

۵- گردابه مجاور دیوار بالا و پایین کانال تا قبل از عدد رینولدز بحرانی اول کاملاً متقارن می باشد و با افزایش اندازه زاویه، طول گردابه هم از ابتدا و هم از انتهای آن گسترش می یابد؛ به عبارت دیگر با افزایش زاویه طول گردابه از دو طرف زیاد می شود. همچنین رشد انتهای گردابه سریعتر و بیشتر از ابتدای گردابه می باشد.

۶- با افزایش عدد رینولدز تا قبل از عدد رینولدز بحرانی دوم طول گردابه بزرگتر افزایش و طول گردابه کوچکتر کاهش (گردابه اول مجاور دیوار بالا) می یابد و بعد عدد رینولدز بحرانی دوم که منجر به ایجاد گردابه دوم در مجاور دیوار بالا می شود، طول گردابه بزرگتر کاهش و طول گردابه‌های کوچکتر (گردابه‌های اول و دوم مجاور دیوار بالا) افزایش می یابد.

برای جریان سیال ویسکوالاستیک نیز نتایج زیر بدست آمده است.

۱- برای جریان سیال ویسکوالاستیک در اعداد رینولدز بسیار کوچک و بسیار بزرگ میزان زاویه بر سرعت مرکزی روی خط مرکزی کانال تأثیر ندارد و در اعداد وایزنبرگ بزرگ سرعت ماکزیمم نیز ۱/۵

برابر سرعت متوسط می شود و در این اعداد طول در حال توسعه یافتگی کانال نیز بزرگ است و با افزایش عدد وایزنبرگ این طول افزایش می یابد.

۲- در اعداد رینولدز کم با افزایش عدد وایزنبرگ جریان سیال ویسکوالاستیک نامتقارن شده و طول یک گردابه کاهش و طول گردابه دیگر افزایش می یابد و با افزایش بیشتر عدد وایزنبرگ گردابه سوم نیز ظاهر شده و جای دو گردابه کوچک و بزرگ با یکدیگر عوض می گردد. افزایش بیشتر عدد وایزنبرگ باعث افزایش طول و قدرت گردابه می گردد.



## ۵-۶- پیشنهادات

می‌توان برای ادامه تحقیق در زمینه جریان سیال نیوتنی و غیر نیوتنی در تبدیلات واگرا، موضوعات زیر را مورد بررسی قرار داد:

- حل عددی جریان در تبدیلات تدریجی واگرا در حالت غیر دائم.
- حل عددی همزمان جریان و انتقال حرارت سیال ویسکوالاستیک در تبدیلات واگرا (اعمال وابستگی لزجت و تنش به دما)
- حل عددی جریان سیال ویسکوالاستیک در تبدیلات واگرا با استفاده از مدل‌های مختلف ویسکوالاستیک و مقایسه نتایج آن‌ها.

## منابع و مراجع

- [۱] شیخی نارانی (۱۳۷۱) "بررسی خواص، جریان، انتقال حرارت و اختلاط سیالات غیر نیوتنی"، چاپ اول، جهاد دانشگاهی صنعتی امیر کبیر، تهران.
- [2] Bird, B. R., Armstrong, R. C., and Hassager, O. (1987). "*Dynamics of Polymer Liquids*", Vol. 1, Second Edition, John Wiley & Sons.
- [3] Malkin, A. Y. (1994), "*Rheology Fundamentals*", First Edition, Chem. Tech. Publishing, Toronto.
- [4] Phan-Thien, N. (2002), "*Understanding Viscoelasticity*", First Edition, Springer, Berlin.
- [5] Tanner, R. I. (2000), "*Engineering Rheology*", Second Edition, Oxford University Press, London.
- [6] Shaw, M. T. and Macknight, W. J. (2005), "*Introduction to Polymer Viscoelasticity*", Third Edition, John Wiley & Sons.
- [۷] لی م، رابین د و کرمپل ا، مترجم، شعریاف غ ر، (۱۳۷۸) "مقدمه ای بر مکانیک محیط های پیوسته"، انتشارات دانشگاه تربیت مدرس، تهران.
- [8] Bird, R. B. and Wiest, J. M., (1995), "*Constitutive equations for polymeric liquids*", *Annu. Rev. Fluid Mech.*, 27, pp. 169-193.
- [9] Larson R. G. (1988), "*Constitutive Equations for Polymer Melts and Solutions*", Butterworths, Boston.
- [۱۰] نوروزی م، (۱۳۸۸)، پایان نامه دکتری: "بررسی جریان و انتقال حرارت سیال ویسکوالاستیک در مجاری خمیده دارای مقطع مستطیلی و در حالت های ایستا و چرخان"، دانشکده مهندسی مکانیک، دانشگاه صنعتی شاهرود.
- [11] Oldroyd, J. G. (1958), "*Non-Newtonian effects in steady motion of some idealized elasticoviscous fluids*", *Proc. Roy. Soc., London Ser A* 245, pp. 278-297.
- [12] Phan-Thien, N and Tanner, R. I. (1977), "*A new constitutive equation derived from network theory*", *J. Non-Newton. Fluid*, 2, pp. 353-365.
- [13] Giesekus, H. (1982), "*A simple constitutive equation for polymer fluids based on the concept of deformation-dependent tensorial mobility*", *J. Non-Newton. Fluid*, 11, pp. 69-109.
- [14] Wedgewood, L. E, Bird, R. B. (1988), "*From molecular models to the solution of flow problems*", *Ind. Eng. Chem. Res.*, 27, pp. 1313-1320.
- [15] Armstrong, R. C. and Ishikawa, S. (1980), "*A rheological equation of state for dilute solutions of nearly Hookean dumbbells*", *J. Rheol.*, 24, pp. 143-165.
- [16] Bird, R. B. and DeAguiar, J. R. (1983), "*An encapsulated dumbbell model for concentrated polymer solutions and melts*", *J. Non-Newtonian Fluid Mech.*, 13, pp. 149-160.

- [17] Wiest, J. M. (1989), "A differential constitutive equation for polymer melts", *Rheol. Acta*, 28, pp. 4-12.
- [18] Ng, R. C. Y. and Leal, L. G. (1993), "A study of the interacting FENE dumbbell model for semi-dilute polymer solutions in extensional flows", *Rheol. Acta*, 32, pp. 25-35.
- [19] Wiest, J. M. and Tanner, R. I. (1989), "Rheology of bead-nonlinear spring chain macro-molecules", *J. Rheol.*, 33, pp. 281-316.
- [20] Bird, B. R., Armstrong, R. C., and Hassager, O. (1987), "Dynamics of Polymer Liquids", Vol. 2, Second Edition, John Wiley & Sons.
- [21] Schieber, J. D, Curtiss, C. F, and Bird, R. B. (1986), "Kinetic theory of polymer melts. 7. Poly-dispersity effects", *Ind. Eng. Chem. Fundam.*, 24, pp, 471-475.
- [22] Schieber J. D. (1987), "Kinetic theory of polymer melts. VIII. Rheological properties of poly-disperse mixtures", *J. ChemP. hys.*, 87, pp. 4917-4927.
- [23] Durst F., Melling A., Whitelaw J. H., (1974), "Low Reynolds number flow over a plane symmetric sudden expansion", *J. Fluid Mechanics*, Vol. 64, pp. 111–128.
- [24] Cherdron W., Durst F., Whitelaw J. H., (1978), "Asymmetric flows and instabilities in symmetric ducts with sudden expansions", *J. Fluid Mechanics*, Vol. 84, pp. 13–31.
- [25] Ouwa Y., Watanabe M., Asawo H., (1981), "Flow visualization of a two-dimensional water jet in a rectangular channel", *Jpn. J. Appl. Phys*, Vol. 20, pp. 243–247.
- [26] Fearn R. M., Mullin T., Cliffe K. A. , (1990), "Nonlinear flow phenomena in a symmetric sudden expansion", *J. Fluid Mechanics*, Vol. 211, pp. 595–608.
- [27] Durst F., Pereira J. C. F., Cliffe K. A., (1993), "The plane symmetric sudden expansion flow at low Reynolds number", *J. Fluid Mechanics*, Vol. 248, pp. 567.
- [28] Battaglia F., Tavener S. J., Kulkarni A. K., Merkle C. L., (1997), "Bifurcation of low Reynolds number flows in symmetric channels", *J. AIAA*, Vo. 35, pp. 99–105.
- [29] Allerborn N., Nandakumar K., Raszillier H., Durst F., (1997), "Further contributions on the two-dimensional flow in a sudden expansion", *J. Fluid Mechanics*, Vol. 330, pp. 169.
- [30] Revuelta A., (2005), "On the two-dimensional flow in a sudden expansion with large expansion ratios", *Phys. Fluids* Vol. 17, No. 028102.
- [31] Abbott D. E., Kline S.J., (1962), "Experimental investigation of subsonic turbulent flow over single and double backward facing steps", *J. Basic Eng. Trans. ASME*, Vol. 84, No. 317.
- [32] Mizushima J., Shiotani Y., (2000), "Structural instability of the bifurcation diagram for two-dimensional flow in a channel with a sudden expansion", *J. Fluid Mechanics*, Vol. 420, No. 131.
- [33] Paulo J. Oliveira, (2003), "Asymmetric flows of viscoelastic fluids in symmetric planar expansion geometries", *J. Non-Newtonian Fluid Mech.* Vol. 114, pp. 33–63.

- [34] Ternik P., Marn J., Zunic Z., (2006), “ *Non-Newtonian fluid flow through a planar symmetric expansion: shear-thickening fluids*”, J. Non-Newtonian Fluid Mechanics, Vol. 135, pp. 136–148.
- [35] Drikakis D., (1997), “ *Bifurcation phenomena in incompressible sudden expansion flows*”, j. Phys. Fluids, Vol. 9, pp. 76–86.
- [36] Hawa T., Rusak Z., (2001), “ *The dynamics of a laminar flow in a symmetric channel with a sudden expansion*”, J. Fluid Mechanics, Vol. 436, pp. 283–320.
- [37] Mishra S., Jayaraman K., (2002), “ *Asymmetric flows in planar symmetric channels with large expansion ratio*”, Int. J. Numer. Methods Fluids, Vol. 38, pp. 945–962.
- [38] Dagtekin I., Unsal M., (2011), “ *Numerical analysis of axisymmetric and planar sudden expansion flows for laminar regime*”. Int J Numer Meth Fluids 65: 1133–1144.
- [39] Scott P.S., Mirza F.A., (1986), “ *A finite element analysis of laminar flows through planer and axisymmetric abrupt expansions*”. Computers & Fluids 14(4): 423-432.
- [40] Oliveira P.J., Pinho F.T., Schulte A., (1998), “ *A general correlation for the local loss coefficient in Newtonian axisymmetric sudden expansions*”. Int J of Heat and Fluid Flow 19: 655-660.
- [41] Schreck E., Schafer M., (2000), “ *Numerical study of bifurcation in hreedimensional sudden channel expansions*”. Comput. Fluids 29(583).
- [42] Shapira M., Degani D., Weihs D., (1990), “ *Stability and existence of multiple solutions for viscous flow in suddenly enlarged channels*”. Comp.Fluids 18: 239–258.
- [43] Durst F., Pereira J. C. F., Tropea C., (1993), “ *The plane symmetric sudden expansion flow at low Reynolds numbers*”. J Fluid Mech 248(567).
- [44] Fletcher D. F., Maskell S. J., Patrick M. A., (1985), “ *Heat and mass transfer computations for laminar flow in an axisymmetric sudden expansion*”. Comp Fluids 13: 207–221.
- [45] Pinho F. T., Oliveira P. J. , Miranda J. P., (2003), “ *Pressure losses in the laminar flow of shear-thinning power-law fluids across a sudden axisymmetric expansion*”. Int J of Heat and Fluid Flow 24: 747–761.
- [46] Hawa T., Rusak Z., (2000), “ *Viscous flow in a slight asymmetric channel with a sudden expansion*”. Phys Fluids 12: 22-57.
- [47] Bell B. C., Surana K. S., (1994), “ *p-Version least squares finite element formulation for two-dimensional incompressible non-Newtonian isothermal and nonisothermal fluid flow*”. Int J Numer Methods Fluids 18: 127–162.
- [48] Ternik P.,(2009), “ *Planar sudden symmetric expansion flows and bifurcation phenomena of purely viscous shear-thinning fluids*, J. Non-Newtonian Fluid Mech. Vol.157, pp. 15–25.
- [49] Ternik P., (2010), “ *New contributions on laminar flow of inelastic non-Newtonian rued in the two-dimensional symmetric expansion: Creeping and slowly moving flow conditions*”. J. Non-Newtonian Fluid Mech. Vpl. 165, pp. 1400–1411.

- [50] Manica R., De Bortoli A. L., (2004), "Simulation of sudden expansion flows for power-law fluids", J. Non-Newtonian Fluid Mech. Vol. 121, pp.35-40.
- [51] Neofytou P., (2006), "Transition to asymmetry of generalised Newtonian fluid flows through a symmetric sudden expansion", J. Non-Newtonian Fluid Mech. Vol. 133 pp. 132-140.
- [52] Ternik P., Marn J., Zuni Z., (2006), " Non-Newtonian fluid flow through a planar symmetric expansion: Shear-thickening fluids", J. Non-Newtonian Fluid Mech. Vol. 135, pp. 136-148.
- [53] Poole R.J., Pinho F.T., Alves M.A. and Oliveira P.J., (2009). "The effect of expansion ratio for creeping expansion flows of UCM fluids". J. Non-Newtonian Fluid Mech. 163, pp. 35-44.
- [54] Poole R. J., Alves M. A., Oliveira P. J., Pinho F. T., (2007), "Plane sudden expansion flows of viscoelastic liquids", J. Non-Newtonian Fluid Mech. Vol. 146, pp. 79-91.
- [55] Bloach A., Townsend P., Webster M. F.,(1996), "On vortex development in viscoelastic expansion and contraction flows", J. Non-Newtonian Fluid Mech., Vol. 65, pp. 133-149.
- [56] Rocha G. N., Poole J. R., Oliveira J., (2007), "Bifurcation phenomena in viscoelastic flows through a symmetric 1:4 expansion, J. Non-Newtonian Fluid Mech. Vol. 141, pp.1-17.
- [۵۷] مسیبه درچه س.، (۱۳۹۰)، پایان‌نامه کارشناسی ارشد: " بررسی عددی جریان و انتقال حرارت سیال ویسکوالاستیک در تبدیلات همگرا و واگرا"، دانشکده مهندسی مکانیک، دانشگاه صنعتی شاهرود.
- [58] Layek G.C., Mukhopadhyay S., (2008), "Laminar flow separation in an axisymmetric sudden smooth expanded circular tube". J. Appl Math Comput. 28, pp. 235-247.
- [59] Rosa S., Pinho F. T., (2006), " Pressure drop coefficient of laminar Newtonian flow in axisymmetric diffusers". International Journal of Heat and Fluid Flow. 27, pp. 319-328.
- [60] Pak B., Cho Y. I., and Choi S. U. S., (1990), "Seperation and reattachment of non-newtonian fluid flows in a sudden expansion pipe", Journal of Non-Newtonian Fluid Mechanics, Vol. 37, pp. 175-199.
- [61] Cruz D. O. A., Pinho F. T., (2007), "Fully-developed pipe and planar flows of multimode viscoelastic fluids". J. Non-Newtonian Fluid Mech, Vol. 141, pp. 85-98.
- [۶۲] واردی س. ر.، (۱۳۹۰)، پایان‌نامه کارشناسی ارشد: " بررسی عددی جریان سیال ویسکوالاستیک حول سیلندر"، دانشکده مهندسی مکانیک، دانشگاه صنعتی شاهرود.
- [63] Sibley D. N., (2010), for the degree of Doctor of Philosophy, " Viscoelastic Flows of PTT Fluids ", Department of Mathematical Sciences, University of Bath
- [64] Cross M. M., (1965), "Rheology of non-Newtonian Fluids: A New Flow Equation for Pseudoplastic Systems", Journal of Colloid Science, Vol. 20, pp. 417-437.

- [65] Darbandi, M., (1996), "A Momentum Variable Calculation Procedure for Solving Flow at All Speeds", PhD Dissertation, University of Waterloo, Ontario, Canada.
- [66] Harlow, F. M., and Welch, J. E., (1965), "Numerical Solution of Time Dependent Viscous Incompressible Flow with Free Surface", Physics of Fluids, Vol. 8, pp. 2182-2189.
- [67] Raithby, G. D., and Schneider, G. E., (1979), "Numerical Solution of Problems in Incompressible Fluid Flow; Treatment of the Velocity-Pressure Coupling", Numerical Heat Transfer, Vol. 2, pp. 417-440.
- [68] Patankar, S. V., (1981), "A Calculation Procedure for Two Dimensional Elliptic Situations", Numerical Heat Transfer, Vol. 4, pp.409-425.
- [69] Zedan, M., Schneider, G. E., (1985), "A Coupled Strongly Implicit Procedure for Velocity and Pressure Computation in Fluid Flow Problems", Numerical Heat Transfer, Vol. 8, pp.537-557.
- [70] Patankar, S. V., and Spalding, D. B., (1972), "A Calculation Procedure for Heat, Mass and Momentum Transfer in Three-Dimensional Parabolic Flows", Int. J. of Heat and Mass Transfer, Vol. 15, pp.1787-1806.
- [71] Baliga, B.R., and Patankar, S.V., (1983), "A Control-Volume Finite-Element Method for Two Dimensional Fluid Flow and Heat Transfer", Numerical Heat Transfer, Vol. 6, pp.245-261.
- [72] Prakash, C., and Patankar, S. V., (1985), "A Control-Volume Based Finite-Element Method for Solving the Navier-Stokes Equation Using Equal Order Variable Interpolation", Numerical Heat Transfer, Vol. 8, pp.259-280.
- [73] Vanka S., (1986), "Block-implicit multigrid solution of Navier-Stokes equations in primitive variables", J. of computational physics, no. 65, pp. 138-158.
- [74] The Open Source CFD Toolbox OpenFOAM, (2010), "User Guide", GNU Free Documentation License.
- [75] The Open Source CFD Toolbox OpenFOAM, (2009), "Programmers Guide", GNU Free documentation.

## **Abstract**

Subsonic flows are the major problems in expansion channels of fluid mechanics. They have many applications in diffuser, conversion of piping, heat exchangers, casting, forming and etc. Therefore, in recent decades, many researchers have examined the analytical, experimental and numerical flows. Unlike the previous studies which have been focused on the planar flow in sudden expansions, the flow instability in gradual expansions with different expansion angles is investigated which is the main innovation of current study.

In the present study, the ratio expansion 1:3 and extension angles of 30, 45, 60 and 90 degrees is considered. The main goal of this research is to better understand the effects of angles, Reynolds number and Weissenberg number on the structure and flow pattern at different angles. In order to modeling this process in open source software OpenFoam that is toolkit CFD software has used. First of all, the continuity and momentum equations are expressed in Cartesian coordinates and then the general form of fluid viscoelastic structural equation (MPTT model) and viscosity viscometric functions are used.

In this study, for explicit discretization of governing equations finite volume method is used. For marching in time, the PISO algorithm is used in the transient state so that the flow parameters in step time have been constant and steady. Furthermore, the time step is increased until convergence of the parameters to be reasonably accurate answers. The accuracy of numerical results is checked based on the results of sudden expansion (at 90 degree).

Finally, for a Newtonian fluid flow, all characterized are presented by transverse and longitudinal vortices in the vicinity of the upper and lower walls of the channel on a regular basis. Then the results classified in tables. Also results of numerical investigation for Newtonian fluid and viscoelastic fluid presented like streamline, velocity contour, velocity on the center line. At the final chapter, the results of the survey are presented in detail.

**Keywords:** Numerical investigation; Non-Newtonian fluid; Fluid flow; Gradual expansions



**Shahrood University of Technology**

**Engineering Department**

# **Numerical Investigation of Non-Newtonian Flow in Gradual Expansions**

A Thesis Submitted in Partial Fulfillment of the  
Requirements for the Degree of Master of Science

By:

**Amin Shahbani Zahiri**

Supervisor:

**Dr. Mohammad Mohsen Shahmardan**

Advisor:

**Dr. Mahmood Norouzi**

August 2012